

การประยุกต์ใช้หุ่นยนต์(แขนกล)
ROBOT APPLICATION

โดย

นาย อนุสรณ์ วิริยะพงศ์ไพบูลย์

นางสาว อติสรา จรรย์หาญ

นางสาว อุไรวรรณ บุญส่ง

อาจารย์ที่ปรึกษา

อาจารย์ มนัส ตั้งวรศิลป์

วัน เดือน ปี..... 24.คค.2541
เลขทะเบียน..... 039145
เลขเรียกหนังสือ..... 1.10381.0.2541ก

ปริญญาานิพนธ์สำหรับวิศวกรรมศาสตรบัณฑิต
สาขาวิชาอิเล็กทรอนิกส์
คณะวิศวกรรมศาสตร์
สถาบันเทคโนโลยีพระจอมเกล้าเจ้าคุณทหารลาดกระบัง
ปีการศึกษา 2540

ปริญญานิพนธ์ปีการศึกษา 2540


ภาควิชา วิศวกรรมอิเล็กทรอนิกส์

คณะวิศวกรรมศาสตร์ สถาบันเทคโนโลยีพระจอมเกล้าคุณทหารลาดกระบัง

เรื่อง การประยุกต์การใช้งานหุ่นยนต์ (แขนกล)

ผู้จัดทำ

- 1.นายอนุสรณ์ วิริยะพงศ์ไพบูลย์ 37014556
- 2.นางสาวอติสรา จรรยาหาญ 37014572
- 3.นางสาวอุไรวรรณ บุญส่ง 37014600



(อาจารย์มนัส สัจจวิเศษ)
อาจารย์ที่ปรึกษา


เอกสารนี้เป็นเอกสารที่สงวนไว้สำหรับการใช้งานเพื่อการศึกษาเท่านั้น ไม่อนุญาตให้นำไปใช้ประโยชน์ด้านการค้า
ไม่ว่ากรณีใดๆ ทั้งสิ้น อีกทั้งห้ามมิให้ตัดแปลงเนื้อหาและต้องอ้างอิงถึงเจ้าของเอกสารทุกครั้งที่มีการนำไปใช้

การประยุกต์การใช้งานหุ่นยนต์(แขนกล)

ROBOT APPLICATION

- | | | |
|-------------------|-------------------|----------|
| 1. นายอนุสรณ์ | วิริยะพงศ์ไพบูลย์ | 37014556 |
| 2. นางสาวอติสรา | จรรยาหาญ | 37014572 |
| 3. นางสาวอุไรวรรณ | บุญส่ง | 37014600 |

โครงการได้รับการตรวจสอบแล้ว พร้อมทั้งจะทำการสอบได้



(อาจารย์มนัส สังวรศิลป์)
อาจารย์ที่ปรึกษา

เอกสารนี้เป็นเอกสารที่สงวนไว้สำหรับการใช้งานเพื่อการศึกษาเท่านั้น ไม่อนุญาตให้นำไปใช้ประโยชน์ด้านการค้า
ไม่ว่ากรณีใดๆ ทั้งสิ้น อีกทั้งห้ามมิให้ตัดแปลงเนื้อหาและต้องอ้างอิงถึงเจ้าของเอกสารทุกครั้งที่มีการนำไปใช้

กิตติกรรมประกาศ

ในการทำโครงการครั้งนี้ทางคณะผู้จัดทำใคร่ขอกราบขอบพระคุณ รศ.ดร. มนัส สังวรศิลป์ เป็นอย่างสูง ที่ท่านคอยดูแลเอาใจใส่และให้คำปรึกษาอย่างใกล้ชิด และขอขอบคุณ พี่เป่าพี่ภาค วิชาวิศวกรรมเครื่องกลที่ให้คำแนะนำคำปรึกษาทางด้าน Mechanic ของตัวแขนกล , ขอขอบพระคุณ อาจารย์ จำลอง ปราบแก้ว อาจารย์ประจำภาควิชาวิศวกรรมเครื่องกลอำนวยความสะดวกทางด้านสถานที่ในการทำส่วน Mechanic และ คุณ มณฑา เจ้าหน้าที่ประจำ Shop Mechanic ที่คอยให้คำปรึกษาทางด้านเครื่องมือที่ใช้ในการทำ Mechanic และ เพื่อนๆ (อู๋ , ปิง) ที่ให้ยืมพาหนะในการซื้ออุปกรณ์ตลอดช่วงที่ทำโครงการ



.....
(นาย อนุสรณ์ วิริยะพงศ์ไพบุลย์)

.....
(นางสาว อลิศรา จรรยาเหตุ)

.....
(นางสาว อุไรวรรณ บุญส่ง)

ผู้จัดทำ

เอกสารนี้เป็นเอกสารที่สงวนไว้สำหรับการใช้งานเพื่อการศึกษาเท่านั้น ไม่อนุญาตให้นำไปใช้ประโยชน์ด้านการค้าไม่ว่ากรณีใดๆ ทั้งสิ้น อีกทั้งห้ามมิให้ดัดแปลงเนื้อหาและต้องอ้างอิงถึงเจ้าของเอกสารทุกครั้งที่มีการนำไปใช้

การประยุกต์การใช้งานหุ่นยนต์(แขนกล)

นาย อนุสรณ์ วิริยะพงศ์ไพบูลย์

นางสาว อลิศรา จรรยาหาญ

นางสาว อุไรวรรณ บุญส่ง

อ.มนัส สัจจวรศิลป์ (อาจารย์ที่ปรึกษา)

ภาคการศึกษาที่ 2 ปีการศึกษา 2540

บทคัดย่อ

ปัจจุบันนี้ความก้าวหน้าทางด้านเทคโนโลยีได้มีการพัฒนาไปอย่างรวดเร็วซึ่งในด้านอุตสาหกรรมในโรงงานส่วนใหญ่ได้มีการนำหุ่นยนต์(robot) มาใช้งานกันมากขึ้น เนื่องจากสามารถทำงานได้อย่างมีประสิทธิภาพ รวดเร็วและแม่นยำกว่ามนุษย์ ดังนั้นจึงได้มีการศึกษาจัดทำโครงการขึ้นนี้ขึ้นมาเพื่อตอบสนองความต้องการในปัจจุบัน ซึ่งหุ่นยนต์(แขนกล)ที่จัดทำขึ้นนี้ได้มีการนำ DC มอเตอร์ และ สเต็ปป์มอเตอร์ มาใช้งานในการ drive แขนกลในส่วนต่างๆ ให้สามารถทำงานได้ตามต้องการ ซึ่งจะทำการศึกษาการทำงานของ gripper ให้สามารถจับวัตถุได้ตามต้องการ

ROBOT APPLICATION

Mr. Anusorn Viriyapongphaibul

Miss. Alisara Jarnyaham

Miss. Uraiwan Boonsong

Mr. Manus Sungvorasilp (Advisor)

1st Semestor, Educational Year 1997

Abstract

Today technology has developed rapidly . In industrial has brought robot to use in their job . Due to it can work with efficiency , rapidly and accuracy so our group has made this project to response demand in the present . This project, Robot A rm is made by using d.c. motor and stepping motor for rotate parts of Robot Arm for it can work with efficiency and learn about work of gripper for catdhing object with efficiency

สารบัญ

เรื่อง	หน้า
กิตติกรรมประกาศ	I
บทคัดย่อ	II
Abstract	III
สารบัญ	IV
สารบัญรูป	
สารบัญตาราง	
บทที่ 1 บทนำ	1
บทที่ 2 แขนกล	2
2.1 ชนิดของหุ่นยนต์	2
2.2 มือของหุ่นยนต์ (Robot end effector)	3
2.2.1 เมคคานิกกริปเปอร์ (Mechanical gripper)	4
2.3 ความแม่นยำของการเคลื่อนที่	6
2.3.1 สเปเชียลโรบลูชั่น	6
2.3.1.1 ระบบควบคุม (Control system)	6
2.3.1.2 ความคลาดเคลื่อนเชิงกล (Mechanical inaccuracy)	6
2.3.2 แอคชูเอที	6
2.3.3 รีฟิทิบิลิตี	7
2.4 การเคลื่อนที่ของหุ่นยนต์	7
2.4.1 การเคลื่อนที่ของหุ่นยนต์สามารถแบ่งการเคลื่อนที่ออกได้เป็น	7
2.4.1.1 การเคลื่อนที่แบบเส้นตรง (Linear)	7
2.4.1.2 การเคลื่อนที่แบบหมุนรอบจุดหมุน (Rotational)	7
2.4.1.3 การเคลื่อนที่แบบบิดรอบจุดหมุน (Twisting)	7
2.4.1.1 การเคลื่อนที่แบบหมุนตั้งฉาก (Revolving)	7
2.4.2 การเคลื่อนที่ของมือ	8
2.4.2.1 หมุน (Roof)	8

เรื่อง	หน้า
2.4.2.2 บิด (Pitch)	8
2.4.2.3 สาย (Yaw)	8
บทที่ 3 การทำงานของสเตรปิ้งมอเตอร์และการทำงานของ DC มอเตอร์	9
3.1 การทำงานของสเตรปิ้งมอเตอร์	9
3.1.1 การกระตุ้นและควบคุมการหมุนของสเตรปิ้งมอเตอร์	11
3.2 การทำงานของมอเตอร์กระแสตรง (DC MOTOR)	14
3.1.2 PULSE WIDTH MODULATION	14
บทที่ 4 ส่วนประกอบของแขนกล	17
4.1 ส่วนฐาน (base part)	19
4.2 ส่วนเฟืองที่หัวไหล่ (shoulder part)	20
4.3 ส่วนข้อศอก (elbow part)	21
4.4 ส่วนข้อมือ (hand connecter part)	22
4.5 ส่วนมือจับ (gripper part)	23
บทที่ 5 โครงสร้างของโครงการ	25
5.1 อัลกอริทึมในการควบคุมแขนกล	25
5.2 สมการ Direct kinematic	26
5.2.1 การอ้างอิงมุมของแขนกล	27
5.3 สมการ Inverse kinematic	30
5.4 การประยุกต์ใช้งาน	34
บทที่ 6 การควบคุมและโปรแกรมการควบคุม	36
6.1 ส่วน serial port	36
6.1.1 การสื่อสารข้อมูล	36
6.1.2 การส่งข้อมูลแบบอนุกรม	37
6.1.3 อสมวารกับสมวาร	38
6.1.3.1 การส่งข้อมูลแบบอสมวาร	38
6.1.3.2 การส่งข้อมูลแบบสมวาร	38
6.1.4 รูปแบบการสื่อสาร	39
6.1.5 มาตรฐาน RS-232	40
6.1.6 การใช้งาน	41

เรื่อง	หน้า
6.1.7 ขั้วต่อแบบขั้ว	41
6.2 ส่วนประมวลผล(8031) และ output ที่ใช้ในการควบคุม	42
6.2.1 ไมโครคอนโทรลเลอร์แบบชิพเดี่ยวเบอร์ 8031	42
6.2.2 IC ขยายพอร์ตเบอร์ 8255	50
6.3 ส่วนที่เป็นวงจร drive motor ใช้ IC เบอร์ 18245 และ 18200	52
6.3.1 วงจร drive motor LMD 18245	52
6.3.2 วงจร drive motor LMD 18200	53
6.4 ส่วนโปรแกรมการควบคุม	55
6.4.1 ส่วนโปรแกรมแอสเซมบลี(8051)	55
6.4.2 ส่วนโปรแกรม delphi	55
6.4.2.1 ส่วนที่ใช้ในการคอนโทรล dc motor	55
6.4.2.2 ส่วนที่ใช้ในการคอนโทรล stepping motor	56
บทที่ 7 วงจรและส่วนที่ใช้ในการควบคุม	60
7.1 วงสแต็ปมอเตอร์	60
7.2 วงจรในส่วนมอเตอร์กระแสตรง	65
7.3 ส่วนที่ใช้ในการเชื่อมต่อกับส่วนต่างๆ	65
7.3.1 ส่วน connect led	65
7.3.2 ส่วน connect 8031	66
7.3.3 ส่วน connect supply and dc motor	67
7.3.4 ส่วน connect stepping motor	68
7.3.5 ส่วน connect supply microcontroller	68
7.3.6 ส่วน connect robot arm	69
7.3.7 ส่วน connect sensor	69
บทที่ 8 ผลการทดลอง	70
8.1 คำน mechanic	70
8.2 คำน hardware	70
8.3 คำน software	71
บทที่ 9 สรุปและวิจารณ์	72
ภาคผนวก ก	
ภาคผนวก ข	

เอกสารนี้เป็นเอกสารที่สงวนไว้สำหรับการใช้งานเพื่อการศึกษาเท่านั้น ไม่อนุญาตให้นำไปใช้ประโยชน์ด้านการค้า
ไม่ว่ากรณีใดๆ ทั้งสิ้น อีกทั้งห้ามมิให้ตัดแปลงเนื้อหาและต้องอ้างอิงถึงเจ้าของเอกสารทุกครั้งที่มีการนำไปใช้

สารบัญรูป

รูปที่	หน้า
รูปที่ 2.1 ชนิดของหุ่นยนต์ (a) โพลาร์ (b) ไชเลนครีคัลคาร์ทีเซียน(d) อาร์คิคูเลต	3
รูปที่ 2.2 มือจับที่ออกแบบนี้ให้มีรูปทรงคล้ายกับวัตถุ	5
รูปที่ 2.3 มือจับที่อาศัยแรงเสียดทานของนิ้วกับวัตถุ	5
รูปที่ 2.4 ความแม่นยำและความสามารถในการทำซ้ำของหุ่นยนต์	7
รูปที่ 2.5 ลักษณะการเคลื่อนที่ของแขนแบบต่างๆ	8
รูปที่ 2.6 การเคลื่อนที่ของมือ	8
รูปที่ 3.1(ก)แสดงสเตปป์ิงมอเตอร์ที่มีการต่อวงจรขดลวดภายในเพื่อกระตุ้นให้เกิดขั้วแม่เหล็กขึ้น 1 ขั้ว ในทิศทางตรงกันข้าม ส่วนขดลวดอื่นๆ จะไม่ถูกกระตุ้นเลย (ข) แสดงการต่อวงจรขดลวดแบบกระตุ้นให้เกิดขั้วแม่เหล็กพร้อมกัน 2 ขั้วที่อยู่ใกล้กันทำให้โรเตอร์เคลื่อนที่มาอยู่ระหว่างขั้วแม่เหล็กทั้งสอง	11
รูปที่ 3.2 แสดง PWM amplifier สำหรับมอเตอร์กระแสตรง	14
รูปที่ 4.1 แสดงโครงสร้างของแขนกล	17
รูปที่ 4.2 ภาพแสดงโครงสร้างส่วนฐานของแขนกล	19
รูปที่ 4.3 ภาพแสดงส่วนเฟืองที่หัวไหล่	20
รูปที่ 4.4 ภาพแสดงส่วนข้อศอก (elbow part)	21
รูปที่ 4.5 ภาพแสดงส่วนข้อมือ	22
รูปที่ 4.6 ภาพแสดงส่วน gripper	23
รูปที่ 5.1 บล็อกไดอะแกรมของแขนกล	24
รูปที่ 5.2 ไดอะแกรมการทำงานของแขนกลในรูปแบบ 5 ดีกรีออฟฟรียูม	26
รูปที่ 5.3 บล็อกไดอะแกรมของสมการ direct kinematic	26
รูปที่ 5.4 ตำแหน่งโอมิกของแขนกล	27
รูปที่ 5.5 แสดงตัวอย่างในการอ้างอิงมุม	27
รูปที่ 5.6 ตำแหน่งด้านของแขนกลชนิดอาร์คิคูเลตแบบ 5 ดีกรีออฟฟรียูม	28
รูปที่ 5.7 บล็อกไดอะแกรมของสมการ inverse kinematic	30

รูปที่	หน้า
รูปที่ 5.8 แสดงอัลกอริทึมของสมการ inverse kinematic	31
รูปที่ 5.9 แสดงการอ้างอิง q_{234}	31
รูปที่ 5.10 ตัวอย่างการอ้างอิง q_{234}	33
รูปที่ 6.1 การส่งข้อมูลแบบอนุกรม	37
รูปที่ 6.2 แสดงรูปแบบการสื่อสาร	39
รูปที่ 6.3 การเชื่อมต่อระหว่าง DTE กับ DCE	40
รูปที่ 6.4 ระบุตำแหน่งขาและหน้าที่ของขั้วต่อ DB-9	41
รูปที่ 6.5 แสดงหน้าที่ของพอร์ตเมื่อคอนโทรลเลอร์ทำงานกับหน่วยความจำภายนอก	43
รูปที่ 6.6 โครงสร้างภายในหน่วยความจำของ MCS 51	44
รูปที่ 6.7 แสดงวงจรการทำงานของตัวจับเวลา/ตัวนับที่ 1 โหมด 0 และ โหมด 1	46
รูปที่ 6.8 แสดงวงจรการทำงานของตัวจับเวลา/ตัวนับที่ 1 โหมด 1 ในโหมด 2	47
รูปที่ 6.9 วงจรการทำงานของตัวจับเวลา/ตัวนับที่ 0 ในโหมด 3	47
รูปที่ 6.10 แสดงพอร์ตที่ใช้ในการติดต่อกับส่วนฮาร์ดแวร์	51
รูปที่ 6.11 ลักษณะสัญญาณต่างๆ ในการทำงานแบบ PWM	54
รูปที่ 6.12 รูปแสดงส่วนของโปรแกรม DELPHI บริเวณที่แสดงบิตข้อมูลที่ไว้ส่ง	55
รูปที่ 6.13 รูปแสดงส่วนของโปรแกรม DELPHI ส่วนที่ใช้ปรับความเร็วสเตปป์มอเตอร์	56
รูปที่ 7.1 รูปแสดงการต่อวงจรสเตปป์มอเตอร์	61
รูปที่ 7.2 รูปแสดงการต่อวงจร SUPPLY เพื่อเป็นไฟเลี้ยงคงที่ให้กับส่วน DC มอเตอร์	62
รูปที่ 7.3 รูปแสดงการต่อวงจรควบคุม DC MOTOR โดยใช้ IC เบอร์ LMD 18245	63
รูปที่ 7.4 รูปแสดงการต่อวงจรควบคุม DC MOTOR โดยใช้ IC เบอร์ LMD 18200	64

บทที่ 1

บทนำ

คำว่า “หุ่นยนต์” นี้ค้นกำเนิดจริงๆ แล้วเกิดขึ้นจากนิยายวิทยาศาสตร์แบบเพื่อฝันหรือที่เราเรียกว่า แฟนตาซี (fantasy) ของชาวเชคโกสโลวาเกีย (CZECHOSLOVAKIA) ในปี 1920 โดยทั่วไปแล้วพอพูดถึงคำว่า “หุ่นยนต์” คนทั่วไปมักจะคิดถึงเครื่องยนต์ที่มีรูปร่างเหมือนมนุษย์สามารถที่จะคิดและทำงานได้ด้วยตัวเอง แต่ที่จริงแล้วตามคำนิยาม ROBOTICS หมายถึงเครื่องยนต์ที่ประกอบกันขึ้นมาเพื่อทำงานบางอย่างแทนมนุษย์ สามารถควบคุมได้โดยใช้โปรแกรมทางคอมพิวเตอร์ และสามารถที่จะเปลี่ยนการทำงานให้ทำงานอย่างอื่นๆ ได้(ตามคำนิยามของสมาคมหุ่นยนต์โรงงาน (Robotics Industrial Association,RIA) และสถาบันเทคโนโลยีเกี่ยวกับหุ่นยนต์ของอเมริกา (Robotics Institute of America,RIA)

จากคำนิยามนี้จะเห็นว่าหุ่นยนต์ก็คือเครื่องยนต์อัตโนมัติชนิดหนึ่งที่สามารถเปลี่ยน โปรแกรมการทำงานได้เท่านั้นเอง เครื่องยนต์อัตโนมัติ (Automatics) นี้แบ่งออกได้เป็น 3 ชนิดคือ

1. Fixed Automation คือเครื่องยนต์อัตโนมัติที่ทำงานอยู่กับที่และทำงานอย่างเดิมตลอด
2. Programmable Automation คือเครื่องยนต์อัตโนมัติที่สามารถเปลี่ยนการทำงานได้หลายอย่างแต่ต้องรองานที่ทำในตอนนั้นให้เสร็จก่อนจึงสามารถเปลี่ยนได้
3. Fiesible Automation คือเครื่องยนต์อัตโนมัติที่สามารถเปลี่ยนการทำงานได้และสามารถทำงานได้หลายๆอย่างได้ในวงรอบการทำงานเดียวกัน

ในรายงานฉบับนี้จะเน้นที่ หุ่นยนต์ในโรงงานอุตสาหกรรม (Industrial Robotics) ดังนั้นคำว่าหุ่นยนต์หรือ Robotics ที่กล่าวถึงจะหมายถึงหุ่นยนต์ในโรงงานอุตสาหกรรมเท่านั้น

บทที่ 2

แขนกล

2.1 ชนิดของหุ่นยนต์

หุ่นยนต์แบ่งตามลักษณะการเคลื่อนที่และลักษณะของแขนแบ่งได้เป็น 4 ชนิดใหญ่ๆ คือ

1. Poly Configuration.
2. Cylindrical Configuration.
3. Cartesian Configuration.
4. Articulated Confiuration.

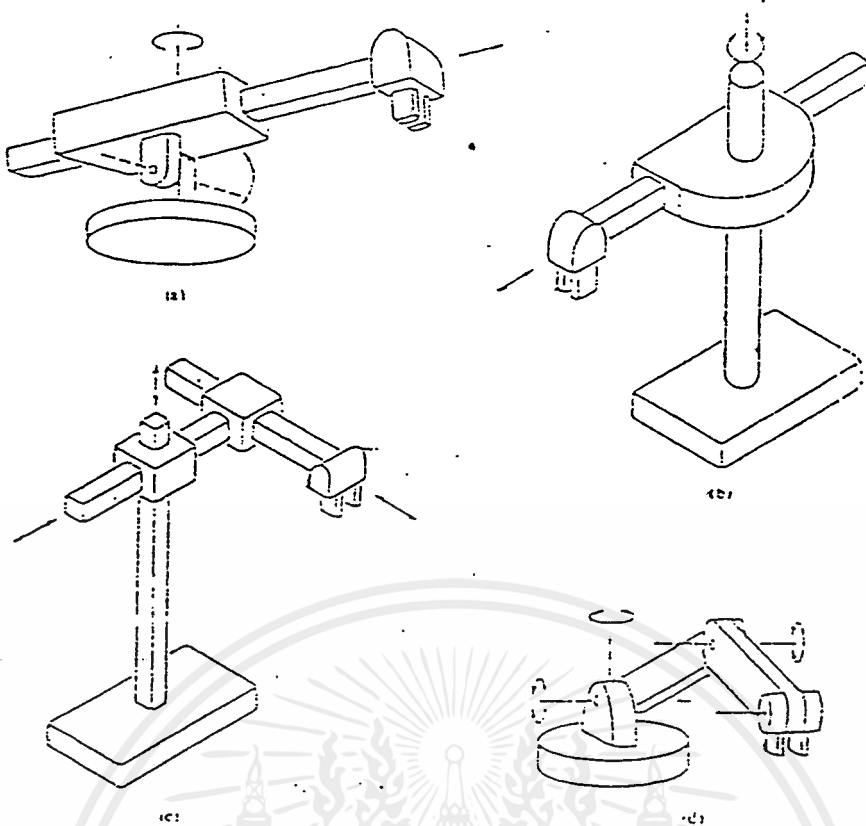
หุ่นยนต์ที่มีลักษณะเป็นแบบโพลาร์(Polar) นั้นลักษณะการเคลื่อนที่ของแขนจะสามารถยกขึ้นลงได้ในแนวตั้งโดยยกท่ามุมกับฐาน สามารถหมุนได้รอบตัว (รูป2.1a) พื้นที่การทำงานจะเป็นแบบทรงกลม ดังนั้นในบางครั้งจึงเรียกว่า “Spherical coordinate”

หุ่นยนต์ที่มีลักษณะเป็นแบบ ไซเลนดริคัล (Cylindrical) (รูป2.1b) เคลื่อนที่ขึ้นลงได้ตามแกนตั้งที่เป็นแกนหลัก และสามารถเคลื่อนที่ไปมาได้โดยใช้แกนนอน แกนตั้งสามารถที่จะหมุนได้ พื้นที่การทำงานจะเป็นแบบทรงกระบอก

หุ่นยนต์ที่มีลักษณะเป็นแบบ อาร์ติคูเลต(Articulated)(รูป2.1c) ลักษณะการเคลื่อนที่จะมีแกน 3 แกนเป็นเหมือนแกน X,Y,Z ดังนั้นในบางครั้งจึงเรียกว่าหุ่นยนต์เรคติลิเนียร์(Rectilinear Robot) พื้นที่การทำงานสามารถที่จะทำงานได้ในส่วนที่เป็นด้านของมือเพียงด้านเดียวเท่านั้นเพราะไม่มีการหมุนของฐาน

หุ่นยนต์ที่มีลักษณะเป็นอาร์ติคูเลต หุ่นยนต์แบบนี้จะมีลักษณะใกล้เคียงกับแขนของมนุษย์ มีข้อหมุนต่างๆ เหมือนกัน(รูป2.1d)ดังนั้นพื้นที่การทำงานจึงสามารถที่จะทำงานได้ในทุกตำแหน่งในระยะความยาวของแขน

ใน โครงงานนี้ได้เลือกเอาแบบ อาร์ติคูเลต เป็นต้นแบบในการทำทั้งนี้เพราะว่ามีลักษณะเหมือนแขนของมนุษย์ ซึ่งคนส่วนใหญ่ก็มีความคิดอยู่แล้วว่า หุ่นยนต์ต้องมีลักษณะเหมือนมนุษย์ และอีกอย่างในการพัฒนาหุ่นยนต์ชนิด อาร์ติคูเลตนี้สามารถที่จะพัฒนาไปสู่การทำงานได้ดีกว่าชนิดอื่นๆ



รูปที่ 2.1 ชนิดของหุ่นยนต์ (a) โพลาร์ (b) ไชเลนครีคัลคาร์ทีเซียน (d) อาร์ติคูลेट

ข้อดีข้อเสียของแต่ละชนิดนี้แตกต่างกันออกไป เพราะว่าลักษณะทางกายภาพแตกต่างกัน แต่ถ้ามองในแง่ของการทำงานที่เป็นแบบซ้ำๆ ที่เดิมตลอด ชนิดคาร์ทีเซียน จะสามารถทำงานได้ดีกว่า (สามารถเคลื่อนที่ไปหาเป้าหมายโดยมีความผิดพลาดน้อยที่สุด) แต่ถ้ามองในแง่การเข้าถึงวัตถุ ชนิดที่เป็นแบบ โพลาร์ และ อาร์ติคูลेट จะสามารถเข้าถึงวัตถุได้ดีกว่าชนิดอื่น และชนิดที่เป็นแบบ ไชเลนครีคัล จะมีข้อดีในแง่ที่สามารถยกวัตถุได้มากกว่าในงานทั่วไปแล้วใช้แบบโพลาร์ และ ไชเลนครีคัลเพราะ 2 ชนิดนี้สามารถที่จะทำงานเป็นแบบ Load และ Unload โดยมีการเคลื่อนที่ของแขนออกไปในด้านข้างได้ดีกว่าชนิดอื่นๆ

2.2 มือของหุ่นยนต์ (Robot end effector)

มือจับของหุ่นยนต์คือตัวที่ทำหน้าที่ขั้นสุดท้ายของหุ่นยนต์มือจับของหุ่นยนต์สามารถแบ่งตามลักษณะของการทำงานได้ดังนี้

1. ทำงานเป็นตัวจับ (Gripper)
2. ทำหน้าที่เป็นเครื่องมือ (Tool)

มือของหุ่นยนต์ชนิดที่เป็นตัวจับมีหน้าที่โดยทั่วไปคือ การจับและการยกวัตถุสามารถแบ่งออกอีกเป็น 2 ชนิด คือ Single gripper และ Double Gripper . Single gripper หมายถึงมือจับที่มีการ

เคลื่อนที่ของนิ้วเพียงข้างเดียวอีกข้างหนึ่งอยู่กับที่ และ Double gripper มีการเคลื่อนที่ของนิ้วทั้ง 2 ข้างเข้าหากัน

มือของหุ่นยนต์ชนิดที่เป็นตัวจับ สามารถแบ่งออกเป็นหลายๆ ชนิดตามลักษณะของตัวควบคุมได้ดังนี้

2.2.1 เมคคานิกกริปเปอร์ (Mechanical gripper)

เมคคานิกกริปเปอร์ คือมือจับที่มีกลไกทางเมคคานิกเป็นตัวควบคุมนิ้วบางครั้งเรียกว่าจอร์ส (jaws) หน้าที่พื้นฐานของมือจับแบบเมคคานิก คือการส่งถ่ายกำลังจากมือ ไปสู่วัตถุต้นกำลังอาจใช้ ไฟฟ้า, นิวเมติกส์, เชิงกลหรือไฮดรอลิก ลักษณะการจับของมือจับนี้สามารถที่จะออกแบบการจับได้ 2 อย่างคือ

1. ใช้ลักษณะทางกายภาพ เช่น ต้องการจับวัตถุเป็นทรงกลมตรงปลายมือก็ทำเป็นส่วนโค้งที่มีขนาดพอเหมาะกับวัตถุนั้น(รูป2.2)
2. ใช้ความเสียดทาน(รูป2.3)นิ้วไม่ได้ออกแบบให้มีลักษณะเหมือนกับรูปทรงของวัตถุแต่อาศัยแรงเสียดทานของนิ้วกับวัตถุ โดยมีสมการของแรงเสียดทานคือ

$$\mu n_r F_g = w$$

เมื่อ μ = สัมประสิทธิ์แรงเสียดทานของนิ้วมือกับวัตถุ

n_r = จำนวนนิ้วของมือจับ

F_g = แรงจับ

w = น้ำหนักของวัตถุ

สมการ 2.1 นี้ใช้ เมื่อแรงโน้มถ่วงมีทิศทางขนานกับพื้นที่สัมผัส ถ้าทิศทางของแรงโน้มถ่วงเปลี่ยนไปจะใช้สมการ 2.2 คือ

$$\mu n_r F_g = mg$$

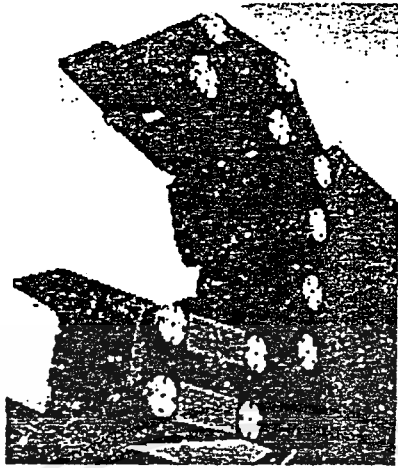
เมื่อ m = นวล

g คือ gravity factor และความเร่ง

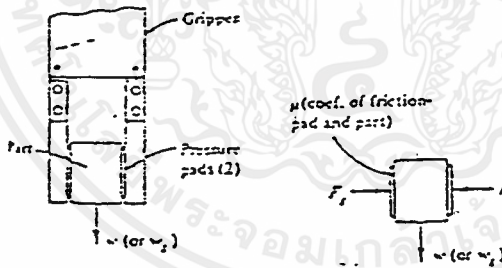
$g=1$ เมื่อความเร่งมีทิศทางตรงข้ามกับแรงโน้มถ่วง

$g=2$ เมื่อความเร่งมีทิศทางในแนวราบ(ตั้งฉากกับแรงโน้มถ่วง)

$g=3$ เมื่อความเร่งมีทิศทางเดียวกันกับแรงโน้มถ่วง



รูปที่ 2.2 มือจับที่ออกแบบมาให้มีรูปทรงคล้ายกับวัตถุ



รูปที่ 2.3 มือจับที่อาศัยแรงเสียดทานของนิ้วกับวัตถุ

เอกสารนี้เป็นเอกสารที่สงวนไว้สำหรับการใช้งานเพื่อการศึกษาเท่านั้น ไม่อนุญาตให้นำไปใช้ประโยชน์ด้านการค้า ไม่ว่าจะกรณีใดๆ ทั้งสิ้น อีกทั้งห้ามมิให้ตัดแปลงเนื้อหาและต้องอ้างอิงถึงเจ้าของเอกสารทุกครั้งที่มีการนำไปใช้

2.3 ความแม่นยำของการเคลื่อนที่

ความสำคัญอย่างหนึ่งของการสร้างหุ่นยนต์คือต้องการความแม่นยำในการทำงาน ความแม่นยำของหุ่นยนต์แต่ละตัวขึ้นกับตัวแปร 3 ประการคือ

1. สเปเชียลเรซิวชัน (Spatial resolution)
2. แอควเรซี (Accuracy)
3. รีพีทibility (Repeatability)

2.3.1 สเปเชียลเรซิวชัน

คือช่วงการเคลื่อนที่ที่มีระยะทางสั้นที่สุดที่หุ่นยนต์แต่ละตัวสามารถที่จะทำได้ สเปเชียลเรซิวชันขึ้นอยู่กับองค์ประกอบสำคัญ 2 ประการคือ

2.3.1.1 ระบบควบคุม (Control system) ระบบการควบคุมนี้จะรวมถึงการวัดสัญญาณป้อนกลับของหุ่นยนต์ด้วย ช่วงของการเคลื่อนที่ที่ระบบควบคุมสามารถที่จะทำได้ขึ้นอยู่กับหน่วยความจำหลักของเครื่องคอมพิวเตอร์เช่นเครื่องคอมพิวเตอร์ที่มีหน่วยความจำ 8 bit จะสามารถที่จะแบ่งช่วงการเคลื่อนที่ออกได้เป็น 256 ช่วง คือช่วงของการเคลื่อนที่ที่คอมพิวเตอร์แบ่งได้มีค่าเท่ากับ 2^n เมื่อ n คือหน่วยความจำหลักของเครื่อง

2.3.1.2 ความคลาดเคลื่อนเชิงกล (Mechanical inaccuracy) ความคลาดเคลื่อนเชิงกลของหุ่นยนต์แต่ละตัวขึ้นอยู่กับลักษณะของข้อหมุน (joint) และ ข้อต่อ (link) และระบบต้นกำลังของหุ่นยนต์ตัวนั้นด้วย

2.3.2 แอควเรซี

แอควเรซี คือ ตัวที่แสดงถึงความสามารถของหุ่นยนต์ในการที่เคลื่อนที่เข้าใกล้จุดเป้าหมายตามที่เราสั่ง แอควเรซี สามารถที่จะกำหนดให้อยู่ในเทอมของ สเปเชียลเรซิวชันได้ทั้งนี้เพราะว่าการเคลื่อนที่เข้าใกล้จุดเป้าหมายก็ต้องขึ้นอยู่กับช่วงของการเคลื่อนที่ที่มีความละเอียดมากน้อยเพียงใด ในการทำงานเราต้องวางจุดที่เราต้องการให้หุ่นยนต์ทำงานอยู่ระหว่างกลางของตำแหน่งการเคลื่อนที่ของหุ่นยนต์ทั้งนี้เพราะว่าความคลาดเคลื่อนเชิงกลมีผลต่อความแม่นยำของหุ่นยนต์

ความแม่นยำของ หุ่นยนต์กำหนดให้เท่ากับครึ่งหนึ่งของระยะทางการเคลื่อนที่ที่สั้นที่สุดของหุ่นยนต์ที่สามารถทำได้ความแม่นยำของหุ่นยนต์ขึ้นอยู่กับองค์ประกอบเหล่านี้คือ

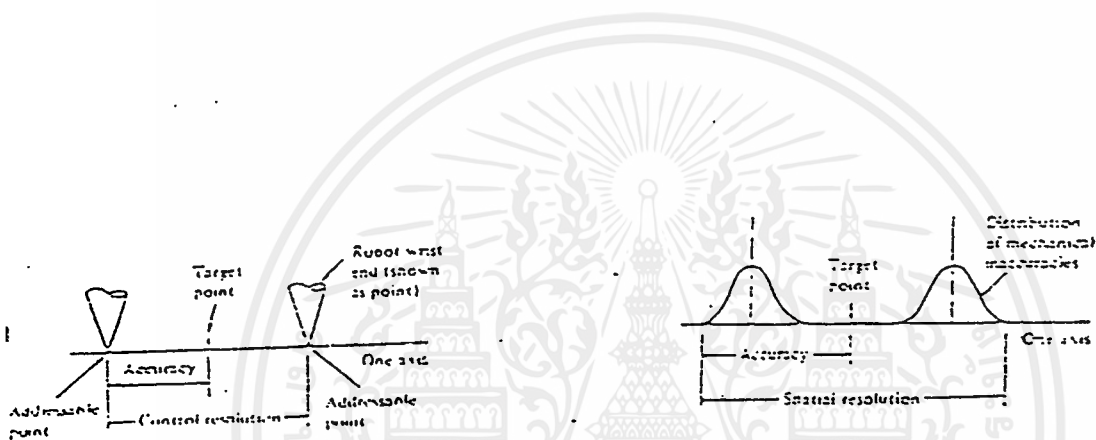
1. พื้นที่การทำงานของหุ่นยนต์ถ้าแขนทำงานในพื้นที่การทำงานจะมีความแม่นยำมากกว่าเมื่อแขนออกนอกพื้นที่การทำงาน
2. วงรอบการทำงาน ถ้าวงรอบการทำงานเป็นวงรอบที่แน่นอนความแม่นยำจะมีมากขึ้น

3. นำหนักที่ได้รับถ้าหุ่นยนต์ทำงาน โดยกำรับน้ำหนักมาก ๆ ความแม่นยำจะลดลง

2.3.3 รีพีททีบิลิตี

รีพีททีบิลิตี คือความสามารถของหุ่นยนต์ในการกลับมาทำงานซ้ำที่เดิมจากรูป 2.1 จุดเป้าหมายคือจุด T แต่เนื่องจากข้อจำกัดของหุ่นยนต์ หุ่นยนต์ไม่สามารถที่จะทำงานที่จุด T ได้ ดังนั้นจึงทำงานที่จุด P ระยะห่างระหว่างจุด P กับจุด T คือตัวแสดงถึงความแม่นยำของหุ่นยนต์ แต่เมื่อสั่งให้หุ่นยนต์กลับมาทำงานที่จุด P

อีกครั้งหนึ่ง หุ่นยนต์ไม่สามารถกลับมาทำงานที่จุด P ได้ จะทำงานที่จุด R แทน ระยะห่างระหว่างจุด P และจุด R คือค่าแสดงถึงรีพีททีบิลิตี



รูปที่ 2.4 ความแม่นยำและความสามารถในการทำซ้ำของหุ่นยนต์

2.4 การเคลื่อนที่ของหุ่นยนต์

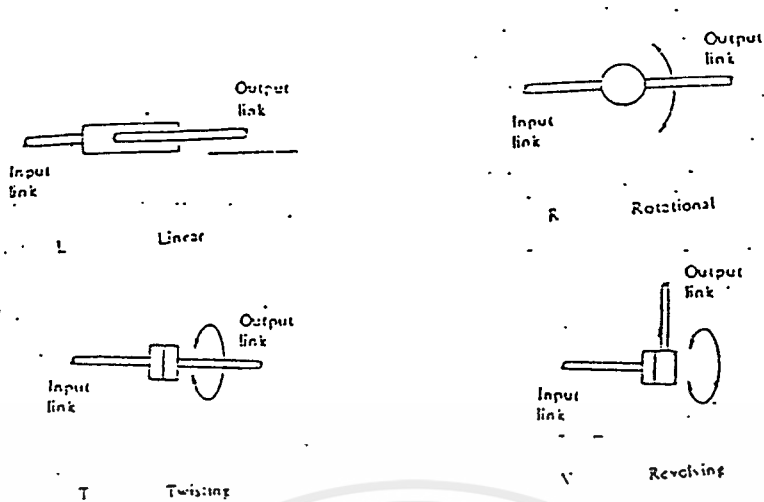
2.4.1 การเคลื่อนที่ของหุ่นยนต์สามารถแบ่งการเคลื่อนที่ออกได้ดังนี้คือ

2.4.1.1 การเคลื่อนที่แบบเส้นตรง (Linear)

2.4.1.2 การเคลื่อนที่แบบหมุนรอบจุดหมุน (Rotational)

2.4.1.3 การเคลื่อนที่แบบบิดรอบจุดหมุน (Twisting)

2.4.1.4 การเคลื่อนที่แบบหมุนตั้งฉาก (Revolving)



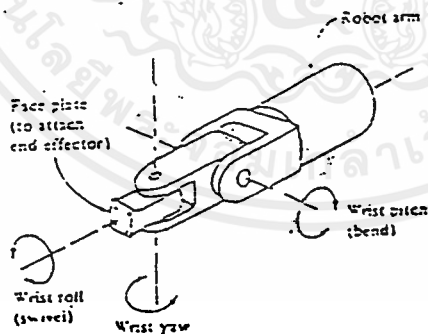
รูปที่ 2.5 ลักษณะการเคลื่อนที่ของแขนแบบต่างๆ

2.4.2 การเคลื่อนที่ของมือ

2.4.2.1 หมุน (Roll) บางครั้งเรียกว่า Swivel ข้อมือหมุนรอบแกนของแขน

2.4.2.2 บิด (Pitch) บางครั้งเรียกว่า Bend ข้อมือจะยกขึ้นลงในแนวตั้ง

2.4.2.3 สาย (Yaw) หมายถึงการบิดไปมาทางซ้ายและขวาของแกนมือ



รูปที่ 2.6 การเคลื่อนที่ของมือ

เอกสารนี้เป็นเอกสารที่สงวนไว้สำหรับการใช้งานเพื่อการศึกษาเท่านั้น ไม่นอนุญาตให้拿去ใช้ประโยชน์ด้านการค้า
ไม่ว่ากรณีใดๆ ทั้งสิ้น อีกทั้งห้ามมิให้ตัดแปลงเนื้อหาและต้องอ้างอิงถึงเจ้าของเอกสารทุกครั้งที่มีการนำไปใช้

บทที่ 3

การทำงานของสเตปป์มอเตอร์และการทำงานของ DC มอเตอร์

3.1 การทำงานของสเตปป์มอเตอร์

สเตปป์มอเตอร์มีความแตกต่างจากมอเตอร์ทั่วไป โดยเมื่อป้อนกำลังไฟฟ้าให้กับมัน จะหมุนเพียงเล็กน้อยตามเส้นรอบวงและหยุด ซึ่งแตกต่างจากมอเตอร์ทั่วไปซึ่งจะหมุนทันทีและตลอดเวลา สเตปป์มอเตอร์สามารถกำหนดตำแหน่งของการหมุนด้วยตัวเลขได้อย่างละเอียดโดยการใช้อิมพัลส์เป็นตัวกำหนดและจะเก็บตัวเลขเหล่านั้นไว้

สเตปป์มอเตอร์สามารถใช้งานในระบบเปิด (open loop system) นั่นก็คือมันทำงานได้โดยไม่ต้องมีการป้อนกลับ (feedback) แต่ทุกวิธีที่ต้องการกำหนดตำแหน่งได้อย่างถูกต้องจำเป็นต้องมีการป้อนกลับไปยังระบบให้รับรู้และอะไรจะเป็นตัวบอกได้ว่าตำแหน่งถูกต้องแล้วหรือเกิดการผิดพลาด (error)

วิธีหนึ่งที่ใช้กัน โดยทั่วไปกับสเตปป์มอเตอร์ก็คือการใช้สวิตช์ที่ติดตั้งไว้ที่ตำแหน่งที่ต้องการตรวจจับ (limit switch) เมื่อสเตปป์มอเตอร์เริ่มหมุนและหมุนจนกระทั่งถึงตำแหน่งของสวิตช์ตรวจจับสัญญาณก็จะถูกป้อนกลับเข้าสู่ระบบและทราบการทำงานของสเตปป์มอเตอร์ได้ตลอดเวลา ซึ่งโดยปกติในวงจรคอนโทรลเลอร์จะมีการกำหนดจุดอ้างอิง (reference point) ไว้ด้วยเพื่อให้เริ่มทำงานและอ้างอิงตำแหน่งได้อย่างถูกต้อง

มอเตอร์ทั่วไปการที่จะทำให้เกิดการหมุนของโรเตอร์ (rotor) ได้ต้องมีการกระทำของสนามแม่เหล็กที่เกิดขึ้นระหว่างโรเตอร์และสเตเตอร์ (stator) ซึ่งขึ้นอยู่กับการจัดวางขั้วแม่เหล็ก (pole) การหมุนทำได้ทั้งแบบต่อเนื่องและกลับทิศทางไปมา โดยกระบวนการทางไฟฟ้าสลับหรือการจัดวางแปรงถ่าน และการจัดแยกคอมมิวเตเตอร์ และทำการสวิตซ์ซึ่งกำลังไฟฟ้าให้เกิดแรงดึงดูดของแม่เหล็ก (magnetic) ที่ขั้วแม่เหล็กสร้างและหยุดสลับกัน ผลก็คือเกิดสนามแม่เหล็กหมุนขึ้นบนสเตเตอร์โดยการจ่ายกำลังไฟฟ้าที่ละคู่ของขั้วแม่เหล็กในทิศทางตรงกันข้ามไปตลอดเวลา และเมื่อต้องการหยุดหมุนทำได้โดยหยุดการเกิดขั้วแม่เหล็กที่จุดหนึ่งโดยหยุดการสวิตซ์ซึ่งในลำดับต่อไปเสีย การหมุนกลับทิศทางก็ทำได้เช่นเดียวกับที่กล่าวมาแล้วเพียงแต่ทำการสวิตซ์ซึ่งกำลังไฟฟ้าให้เกิดสนามแม่เหล็กหมุนในทิศทางกลับกัน หรือกลับลำดับการสวิตซ์ของมัน

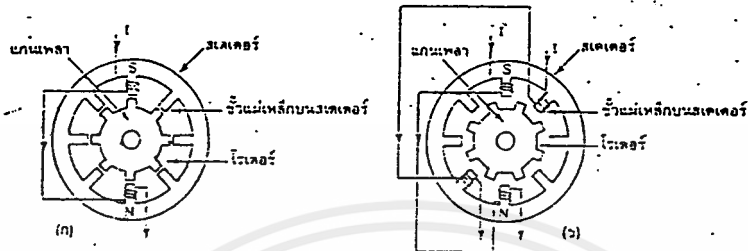
โครงสร้างของขั้วแม่เหล็กบนสเตเตอร์ประกอบขึ้นจากแผ่นเหล็กวงแหวนที่มีซี่ยื่นออกมา แต่ละซี่เหล่านั้นจะมีคอยล์พันสวมอยู่ ดังนั้นเมื่อป้อนกระแสไฟฟ้าผ่านคอยล์ทำให้เกิดสนามแม่เหล็ก

ไฟฟ้า (electromagnetic) ขึ้น ด้านตรงข้ามของแต่ละขั้วแม่เหล็กจะได้รับกระแสไฟฟ้าในขณะเดียวกัน แต่ว่าจะไหลวนในทิศทางตรงกันข้ามทำให้เกิดสนามแม่เหล็กไฟฟ้าทิศทางตรงข้ามขึ้น ดังแสดงในรูปที่ 1 (ก) ดังนั้นถ้าเพิ่มจำนวนของขั้วแม่เหล็กมากขึ้นจะเพิ่มจำนวนของสเตปต์อวรอบมากขึ้นตามไปด้วย

อย่างไรก็ตามผู้ใช้งานสามารถเพิ่มจำนวนของสเตปต์ได้อีกวิธีหนึ่งโดยไม่ต้องปรับเปลี่ยนโครงสร้างภายใน โดยทำการจ่ายกำลังไฟฟ้าไปยังขั้วแม่เหล็ก 2 ขั้วที่อยู่ใกล้กันในเวลาเดียวกัน ซึ่งจะทำให้โรเตอร์หยุดหมุนอยู่ระหว่างกลางของ 2 ขั้วแม่เหล็กนั้นหรือเคลื่อนที่ไปครึ่งสเตปต์เท่านั้น และวิธีการนี้ยังช่วยให้เกิดแรงบิด (torque) มากขึ้นด้วย ดังแสดงในรูปที่ 1(ข)

สเตปต์มอเตอร์โดยทั่วไปมีจำนวนของขั้วแม่เหล็กหรือจำนวนสเตปต์อวรอบเป็นจำนวนมาก ปกติอยู่ที่ประมาณ 100-400 สเตปต์อวรอบ การมีจำนวนสเตปต์มากเช่นนี้ ไม่ได้เพิ่มที่จำนวนขั้วแม่เหล็กไฟฟ้าที่สเตเตอร์ แต่ทำได้โดยเพิ่มจำนวนขั้วแม่เหล็กที่โรเตอร์ จำนวนสเตปต์อวรอบทั้งหมดจะได้จากการคูณจำนวนขั้วแม่เหล็กบนสเตเตอร์และจำนวนขั้วที่โรเตอร์ ดังเช่นถ้ามีขั้วแม่เหล็ก 3 ขั้วบนสเตเตอร์ และ 8 ขั้วแม่เหล็กบนโรเตอร์ สเตปต์มอเตอร์ตัวนี้ จะทำงานที่ 24 สเตปต์อวรอบ หรือ หมุนเป็นมุม 15 องศา ต่อสเตปต์

การใช้วงจรดิจิตอลคอนโทรลเลอร์กำหนดการจ่ายกำลังไฟฟ้าเข้าสู่ขดลวดบนสเตเตอร์แบบซีเวนเซียวลทำให้สามารถควบคุมการเคลื่อนที่ทุกสเตปต์ได้ เช่นเดียวกับการควบคุมในวงจรดีซีเซอร์โว (DC servo) แต่การควบคุมด้วยดิจิตอลไม่จำเป็นต้องมีการป้อนกลับ การเคลื่อนที่ทุกสเตปต์ได้จากการคำนวณจำนวนรอบหรือมุมในกรณีที่ต้องการ แล้วจึงส่งข้อมูลที่เข้าไปควบคุมการหมุนของมอเตอร์ พิกัดในการทำงานอาทิความเร็ว, มุมในการเคลื่อนที่, ตำแหน่งของเพลาถูกกำหนดจากข้อมูลที่ส่งมาควบคุมสเตปต์มอเตอร์



รูปที่ 3.1(ก) แสดงสเตปป์ังมอเตอร์ที่มีการต่อวงจรขดลวดภายในเพื่อกระตุ้นให้เกิดขั้วแม่เหล็กขึ้น 1 ขั้ว ในทิศทางตรงกันข้าม ส่วนขดลวดอื่น ๆ จะไม่ถูกกระตุ้นเลย

(ข) แสดงการต่อวงจรขดลวดแบบกระตุ้นให้เกิดขั้วแม่เหล็กพร้อมกัน 2 ขั้วที่อยู่ใกล้กันทำให้โรเตอร์เคลื่อนที่มาอยู่ระหว่างขั้วแม่เหล็กทั้งสอง

3.1.1 การกระตุ้นและควบคุมการหมุนของสเตปป์ังมอเตอร์

การกระตุ้นและควบคุมการหมุนของมอเตอร์ให้เคลื่อนที่ไปแต่ละสเตปทำได้โดยจ่ายกำลังไฟฟ้าไปยังขดลวดแต่ละขดบนสเตเตอร์ซึ่งต้องป้อนเป็นแบบซีควเอนเชียลในรูปแบบที่ถูกต้องด้วย แบ่งออกได้เป็น 3 รูปแบบ คือ แบบเวฟ , แบบ 2 เฟส และแบบครึ่งสเตป ทั้ง 3 แบบต่างก็มีข้อดีและข้อเสียแตกต่างกันออกไป

แบบเวฟเป็นแบบที่ง่ายที่สุดโดยทำการกระตุ้นขดลวดทีละขดในเวลาหนึ่งเรียงถัดกันไป ดังเช่น ขดที่ 1,2,3,4,1 หรือ 1,4,3,2,1 ซึ่งอยู่กับทิศทางที่ต้องการหมุนดังนั้นจึงมีขดลวดเพียงขดเดียวที่ถูกกระตุ้นเท่านั้น วงจรกระตุ้นแบบเวฟจึงมีราคาถูกและง่าย ขั้นตอนการทำงานต่างๆ แสดงดังตารางที่ 3.1

ตารางที่ 3.1 แสดงขั้นตอนการกระตุ้นขดลวดแต่ละเฟสแบบเวฟ

สเตปที่	เฟสที่ 1	เฟสที่ 2	เฟสที่ 3	เฟสที่ 4
1	ทำงาน	—	—	—
2	—	ทำงาน	—	—
3	—	—	ทำงาน	—
4	—	—	—	ทำงาน

แบบ 2 เฟสเป็นการกระตุ้นอีกรูปแบบหนึ่งซึ่งคล้ายกับแบบเวฟ แต่การกระตุ้นแบบนี้จะทำการกระตุ้นโดยจ่ายกำลังไฟฟ้าไปที่ขดลวด 2 ขดที่อยู่ใกล้กันในเวลาเดียวกันและเรียงถัดกัน ไปเช่นเดียวกับแบบเวฟ คือ ขดลวดที่ถูกกระตุ้น 12,23,34,41,12 หรือ 14,43,32,21,14 ขึ้นอยู่กับทิศทางการหมุน การเพิ่มจำนวนของขดลวดที่ถูกกระตุ้นนี้ทำให้เพิ่มแรงบิดได้มากกว่าแบบเวฟ โรเตอร์จะเคลื่อนที่ด้วยแรงดึงอย่างเต็มแรงจาก 2 ขดลวดที่ถูกกระตุ้นพร้อมกันและต่อไปด้วยแรงดึงจากอีก 2 ขดลวดถัดไป สำหรับข้อเสียก็คือการกระตุ้นแบบนี้ต้องใช้แหล่งจ่ายกำลังไฟฟ้ามากขึ้นขั้นตอนการทำงานต่างๆ แสดงดังตารางที่ 3.2

ตารางที่ 3.2 แสดงขั้นตอนการกระตุ้นขดลวดแต่ละเฟสแบบ 2 เฟส

สเตปที่	เฟสที่ 1	เฟสที่ 2	เฟสที่ 3	เฟสที่ 4
1	ทำงาน	ทำงาน	—	—
2	—	ทำงาน	ทำงาน	—
3	—	—	ทำงาน	ทำงาน
4	ทำงาน	—	—	ทำงาน

แบบครึ่งสเตปเป็นรูปแบบที่เกิดขึ้นจากการผสมผสานระหว่างการกระตุ้นแบบเวฟและแบบ 2 เฟส เพื่อเพิ่มจำนวนของสเตปต่อรอบอีกเท่าตัวหนึ่ง ในระบบนี้จะทำการกระตุ้นขดลวดเรียงกันไปตามลำดับดังนี้ ขดลวดที่ถูกกระตุ้น 1,12,2,23,3,34,4,41,1

หรือในการหมุนอีกทิศทางหนึ่งจะได้เป็น 1,14,4,43,3,32,2,21,1 แรงบิดที่ได้จากการกระตุ้นแบบนี้จะเพิ่มมากขึ้นอีกเพราะช่วงสเตปมีระยะสั้นลงและแต่ละสเตปเกิดแรงดึงจากขดลวด 2 ขด ที่ถูกกระตุ้นพร้อมกัน ความถูกต้องของตำแหน่งมีมากขึ้นแต่ต้องพึงระวังไว้อีกประการหนึ่งว่าเมื่อกระตุ้นให้ทำงานในรูปแบบนี้จะต้องทำการหมุนถึง 2 สเตปจึงจะได้เท่ากับ 1 สเตปเต็ม เหมือนกับในการควบคุม

เอกสารนี้เป็นเอกสารที่สงวนไว้สำหรับการใช้งานเพื่อการศึกษาเท่านั้น ไม่อนุญาตให้นำไปใช้ประโยชน์ด้านการค้าไม่ว่ากรณีใดๆ ทั้งสิ้น อีกทั้งห้ามมิให้ดัดแปลงเนื้อหาและต้องอ้างอิงถึงเจ้าของเอกสารทุกครั้งที่มีการนำไปใช้

2 แบบแรก สำหรับแหล่งจ่ายกำลังไฟฟ้าต้องใช้เทียบเท่ากับแบบ 2 เฟส จึงจะเพียงพอ ขั้นตอนการทำงานต่างๆ แสดงได้ดังตารางที่ 3.3

ตารางที่ 3.3 แสดงขั้นตอนการกระตุ้นขลวดแต่ละเฟสแบบครึ่งสเตป

สเตปที่	เฟสที่ 1	เฟสที่ 2	เฟสที่ 3	เฟสที่ 4
1	ทำงาน	—	—	—
2	ทำงาน	ทำงาน	—	—
3	—	ทำงาน	—	—
4	—	ทำงาน	ทำงาน	—
5	—	—	ทำงาน	—
6	—	—	ทำงาน	ทำงาน
7	—	—	—	ทำงาน
8	ทำงาน	—	—	ทำงาน

เอกสารนี้เป็นเอกสารที่สงวนไว้สำหรับการใช้งานเพื่อการศึกษาเท่านั้น ไม่อนุญาตให้นำไปใช้ประโยชน์ด้านการค้า
ไม่ว่ากรณีใดๆ ทั้งสิ้น อีกทั้งห้ามมิให้ตัดแปลงเนื้อหาและต้องอ้างอิงถึงเจ้าของเอกสารทุกครั้งที่มีการนำไปใช้

3.2 การทำงานของ DC มอเตอร์

ในโครงงานนี้มีการใช้งาน DC มอเตอร์อยู่ 4 ตัวด้วยกัน คือ มอเตอร์ขนาด 20 volts 2.5 amp 80 rpm 2 ตัว, มอเตอร์ขนาด 24 volts 1 ตัว และ มอเตอร์ 12 volts (มอเตอร์ปั้มน้ำฝน) ดังนั้นการควบคุม DC มอเตอร์จึงเป็นส่วนสำคัญอีกส่วนหนึ่งในโปรเจกต์นี้ หลักการทำงานในการคอนโทรลความเร็ว DC มอเตอร์ที่ใช้ทั่วไปจะเป็นแบบ PWM (pulse width modulation)

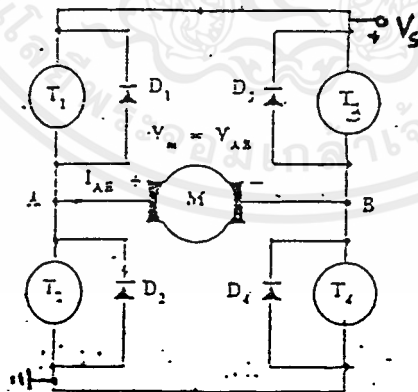
3.2.1 PULSE WIDTH MODULATION

ระบบ PWM ปกติจะใช้แหล่งจ่ายไฟกระแสตรงและ amplifier เป็นตัวสวิทช์ซึ่งซัพพลาย โวลต์แดงให้ on และ off ที่ความถี่คงที่และมีช่วงเวลาของการ on ที่ปรับค่าได้ในหนึ่งคาบหรือที่เรียกว่า การปรับ duty cycle การปรับ duty cycle นั้นเป็นการปรับค่าเฉลี่ยของ voltage ที่จ่ายให้แก่ โหลดได้ในที่นี้ก็คือ DC มอเตอร์นั่นเอง

เมื่อโหลดเพิ่มขึ้นความถี่ของ PWM amplifier จะคงที่แต่จะเปลี่ยนค่า duty cycle ตาม โหลด สวิตซ์ซึ่ง amplifier สามารถควบคุมความเร็วต่างๆ โดยมีแรงบิดสูงอยู่โดยไม่สิ้นเปลืองพลังงาน เหมือนพวก amplifier เชิงเส้น amplifier แบบ PWM สามารถทำงานได้ 3 ลักษณะ คือ

1. ไบโพลาร์
2. ยูนิโพลาร์
3. ลิมิตยูนิโพลาร์

สำหรับแบบ ไบโพลาร์เป็นแบบที่ง่ายที่สุดดูการทำงานตามรูปที่ 3.2



รูปที่ 3.2 แสดง PWM amplifier สำหรับมอเตอร์กระแสตรง

ซึ่งส่วนประกอบของรูป 3.1 นั้นจะประกอบอยู่ในส่วนของ IC เบอร์ LMD 18245 ที่เลือกใช้ในการคอนโทรล DC มอเตอร์ในโครงงาน

โดยที่เราจะกำหนดให้มีความถี่การสวิตช์ให้เป็น f_s โดยให้ t_{on} เกิดขึ้นในช่วงแรก
ของคาบและ t_{off} เกิดขึ้นในช่วงหลัง

$$t_{on} \text{ เมื่อ } 0 \leq t \leq t_1$$

$$t_{off} \text{ เมื่อ } t_1 \leq t \leq t_f$$

ไบโพลาร์จะมี T_1 และ T_4 นำกระแสระหว่างเฟส on และส่วน T_2 และ T_3 จะนำ
กระแสขณะเฟส off จะได้ function ตกคร่อมมอเตอร์เป็น

$$V_{\text{motor}} = V_{AB} = \begin{cases} V_s; 0 < t < t_1 \\ V_s; t_1 < t < t_f \end{cases}$$

ยูนิโพลาร์จะลดจำนวนทรานซิสเตอร์ในการสวิตช์ลง การสวิตช์ขึ้นกับ V_{in} เป็น
บวก หรือ ลบ เมื่อ V_{in} เป็น บวก T_4 จะนำกระแสตลอดคาบในขณะที่ T_1 นำกระแสในช่วง
เฟส on และ T_2 จะนำกระแสในช่วงเฟส off เมื่อ V_{in} เป็นลบ T_2 จะนำกระแสตลอดโดยมี T_3
และ T_4 สลับกันทำงาน ถ้า V_{in} เป็นบวกจะได้

$$V_{in} = \begin{cases} V_s \text{ เมื่อ } t_{on} \\ 0 \text{ เมื่อ } t_{off} \end{cases}$$

การแสดงค่าในทางลบจะเหมือนกันเพียงแต่เป็นลบเท่านั้น

จากลักษณะของ 2 แบบ ที่กล่าวมานั้นเป็นประโยชน์เหมือนกันซึ่งในแต่ละกรณีจะ
มีทรานซิสเตอร์คู่หนึ่ง T_1, T_2 หรือ T_3, T_4 จะหยุดนำกระแสขณะที่อีกคู่หนึ่งนำกระแส ซึ่ง
มีเวลาเก็บสะสมและเวลาที่ปล่อยออกของทรานซิสเตอร์เกิดขึ้นและมันอาจเป็นไปได้ที่
ทรานซิสเตอร์ทั้งหมดนำกระแสในเวลาเดียวกัน ซึ่งจะทำให้เกิดการลัดวงจรของแหล่งจ่าย
ไฟ เราจำเป็นต้องหลีกเลี่ยงสภาวะดังกล่าวซึ่งสามารถทำได้โดยการสร้างช่วงเวลาหน่วง
delay time ระหว่างการหยุดและนำกระแสของทรานซิสเตอร์และด้วยเหตุผลดังกล่าวความ
ถี่ของการสวิตช์จะถูกจำกัดในวงที่แคบลง

ลิมิตยูนิโพลาร์ จะแสดงให้เห็นคือมีความจำเป็นต้องมีช่วงเวลาหน่วงซึ่งการสวิตช์
ขึ้นกับค่า V_{in} เมื่อ V_{in} เป็น บวก T_4 จะนำกระแสตลอด โดย T_1 จะเป็นสวิตช์ on ในช่วง
เฟส on ดังนั้นในช่วงเฟส on ทั้ง T_1 และ T_4 จะ on ยังผลแก่โวลต์เดจของมอเตอร์ V_m คือ

$$V_{\text{motor}} = V_s \text{ เมื่อ } t_{on}$$

ระหว่างเฟส off จะมี T_4 นำกระแสเพียงตัวเดียวเป็นผลให้ V_{in} ขึ้นกับ I_{AB} トラบ
 โดที่ $I_{AB} > 0$ ซึ่งเป็นสภาวะปกติเมื่อ $V_{AB} > 0$ กระแส I_{AB} จะไหลผ่าน D_2 และ T_4
 เป็นผลให้ $V_A = 0$ และ

$$V_{motor} = V_{AB} \text{ เมื่อ } t_{off} \text{ และ } I_{AB} > 0$$

ในกรณีที่ I_{AB} เป็นลบกระแสจะไหลผ่าน D_1 และ D_4 เป็นผลให้

$$V_A = V_S \text{ และ}$$

$$V_{motor} = V_{AB} = V_S \text{ เมื่อ } t_{off} \text{ และ } I_{AB} < 0$$

ซึ่งจะเกิดขึ้นภายหลังเปลี่ยนขั้ว V_{in}

ในที่สุด ถ้าเราสามารถทำให้ $I_{AB} = 0$ (เข้าใกล้ศูนย์จนถึงว่าเป็นศูนย์) จะทำให้ ทั้ง D_1 และ D_4 ไม่
 นำกระแสและโวลต์เตจ V_{in} จะอยู่ระหว่างค่าศูนย์และ V_S ดังต่อไปนี้

$$0 < V_{motor} < V_S \text{ เมื่อ } t_{off} \text{ และ } I_{AB} = 0$$

อย่างไรก็ตาม ถ้า $I_{AB} > 0$ เป็นสภาวะปกติ เมื่อ $V_{in} > 0$ แบบยูนิโพลาร์และแบบลิมิตยูนิโพลาร์จะ
 แสดงคุณสมบัติคล้ายกันมาก ซึ่งเราสามารถสรุป mode การทำงานและผลของโวลต์เตจ

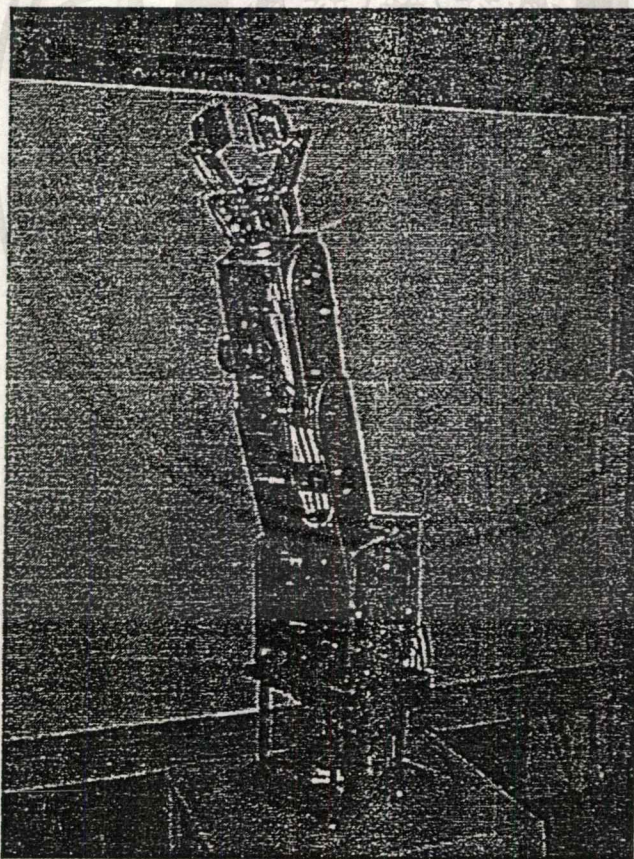
บทที่ 4

การประกอบแขนกล

แขนกลที่ประกอบขึ้นเป็นแขนกลแบบอาร์ติคูลेट ซึ่งมีการเคลื่อนที่ 5 ดีกรีออฟฟรีดอม (ไม่รวม gripper) ใช้ DC มอเตอร์ 4 ตัว และสเตปปีงมอเตอร์ 2 ตัวในการ drive ในแต่ละส่วนของแขนกล

วัสดุที่ใช้ในการประกอบแขนกลนี้ใช้อลูมิเนียมและทองเหลืองเพื่อความแข็งแรงของโครงสร้างของแขนกลเอง และขนาดในแต่ละส่วนได้ออกแบบตามความเหมาะสมของโครงสร้าง

การ design แขนกลเน้นที่มอเตอร์ต้นกำลังทั้งหมดซึ่งจะอยู่ตรงบริเวณส่วนฐานของแขนกลเพื่อไม่ให้เกิด moment ที่บริเวณแขนท่อนบนของแขนกลขึ้น และ ช่วยลด load ที่จะเกิดขึ้นกับตัว motor โดยการส่งกำลังระหว่าง motor กับข้อต่อส่วนต่างๆ ของแขนจะใช้สายพานและเฟืองสายพานเป็นตัวช่วยในการส่งกำลังไปยังส่วนต่างๆ ของข้อต่อแต่ละที่



รูปที่ 4.1 แสดงโครงสร้างของแขนกล

จากรูปที่ 4.1 แสดงโครงสร้างของแขนกลซึ่งประกอบด้วยส่วนต่างๆ ดังนี้

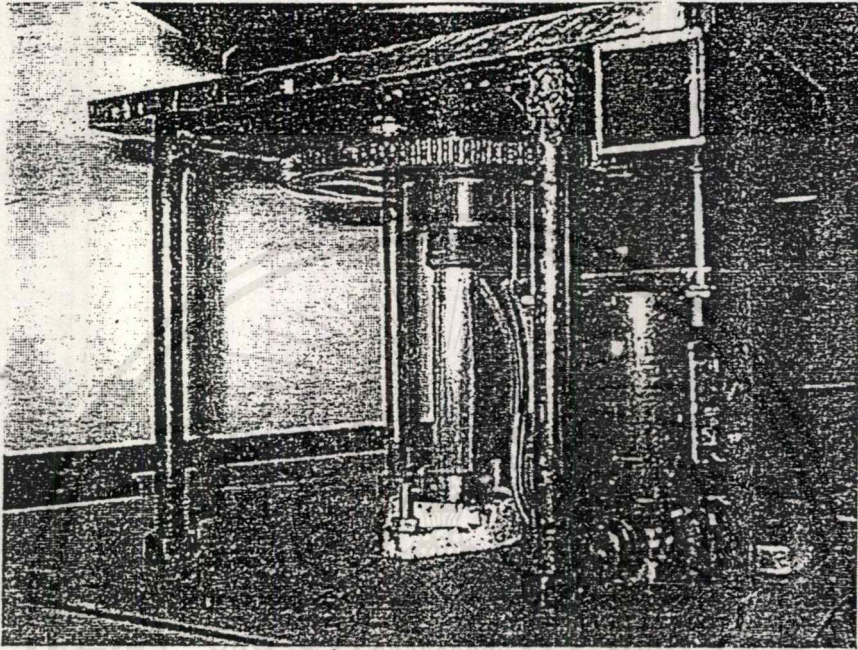
1. ส่วนฐาน (base part)
2. ส่วนชุดเฟืองที่หัวไหล่ (shoulder part)
3. ส่วนข้อศอก (elbow part)
4. ส่วนข้อมือ (hand - connector part)
5. ส่วน gripper (gripper part)

โดยทั้ง 5 ส่วนจะต้องทำงานสัมพันธ์กันเพื่อที่จะทำให้แขนกลทำงานได้อย่างมีประสิทธิภาพ





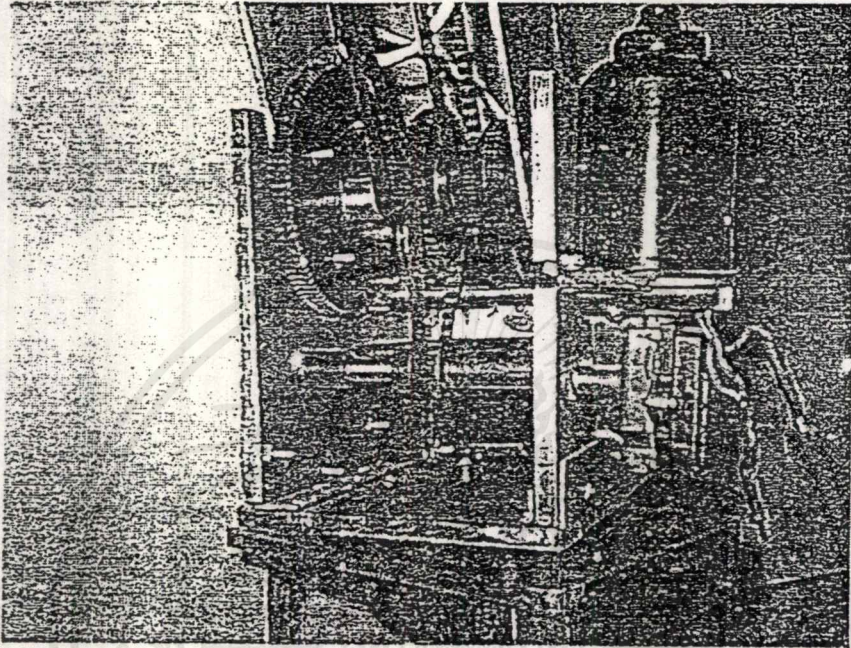
4.1 ส่วนฐาน (base part)



รูปที่ 4.2 ภาพแสดงโครงสร้างส่วนฐานของแขนกล

จากรูปที่ 4.2 จะประกอบด้วย DC มอเตอร์ 1 ตัวซึ่งมีขนาด 20 โวลต์ 2.5 แอมป์ 80 RPM DC มอเตอร์ตัวนี้จะมีเพียงขนาดเล็กติดอยู่เพื่อทำการทดกำลังไปยังเฟืองตัวใหญ่เพื่อทำหน้าที่ในการหมุนแขนกลทั้งชุดโดยสามารถหมุนได้ 360 องศา ซึ่งส่วนฐานนี้ต้องสามารถรับน้ำหนักของแขนกลทั้งชุดได้

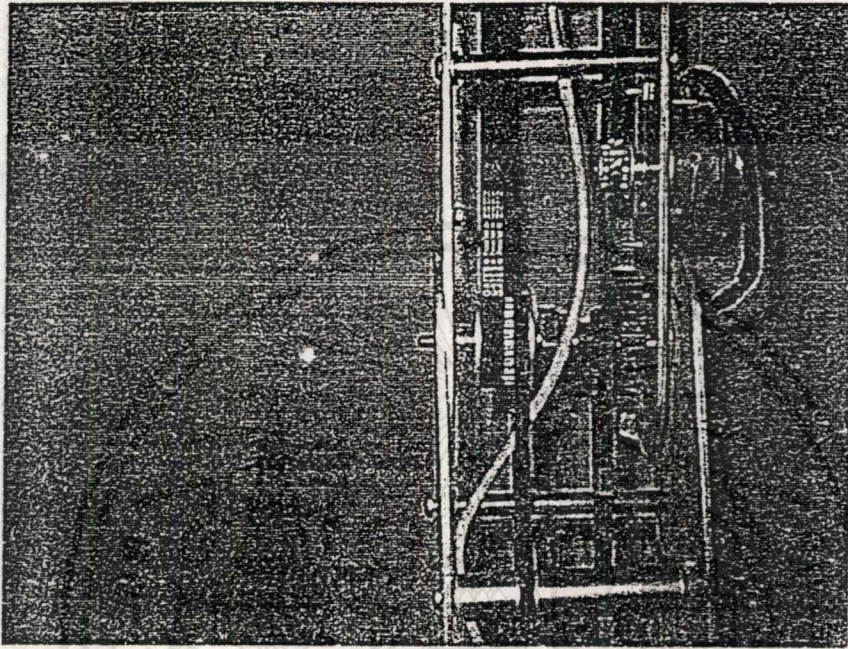
4.2 ส่วนเฟืองที่หัวไหล่ (shoulder part)



รูปที่ 4.3 ภาพแสดงส่วนเฟืองที่หัวไหล่

จากรูปที่ 4.3 ประกอบด้วย DC MOTOR 2 ตัวซึ่งประกอบด้วยขนาดต่างๆ ดังนี้ DC MOTOR ขนาด 20 โวลต์ 2.5 แอมป์ 80 rpm ซึ่งมีการทดเฟือง 3 ชุดเพื่อทำหน้าที่ในการขับเคลื่อนก่อนบน(แขนส่วนที่ติดอยู่กับส่วนหัวไหล่) ในลักษณะขึ้นลง มอเตอร์กระแสตรงตัวต่อมา มีขนาด 12 โวลต์ ทำหน้าที่ในการขับเคลื่อนข้อศอกและประกอบด้วยสเตปป์มอเตอร์ 1 ตัวขนาด 5.4 โวลต์ 1.5 amp/phase 1.8 deg/step ทำหน้าที่ในการขับเคลื่อนข้อมือ ให้สามารถเคลื่อนที่ขึ้นลงได้

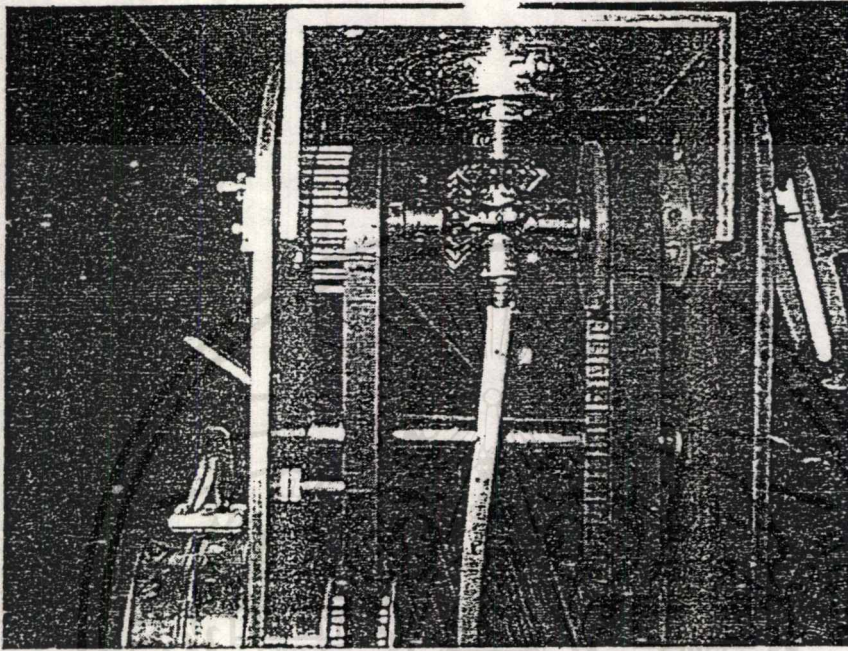
4.3 ส่วนข้อศอก (elbow part)



รูปที่ 4.4 ภาพแสดงส่วนข้อศอก (elbow part)

จากรูปที่ 4.4 ประกอบด้วยชุดเฟือง 2 ชุด ชุดแรกทำหน้าที่ในการหมุนข้อศอกขึ้นลง ส่วนชุดที่สองเป็นชุดเฟืองที่ทำหน้าที่ส่งผ่านสายพาน โดยชุดเฟืองชุดนี้จะไม่ลือคติดอยู่กับเพลาบริเวณข้อต่อที่ข้อศอก ซึ่งสายผ่านชุดนี้จะส่งผ่านกำลังไปยังชุดเฟืองบริเวณข้อมือ

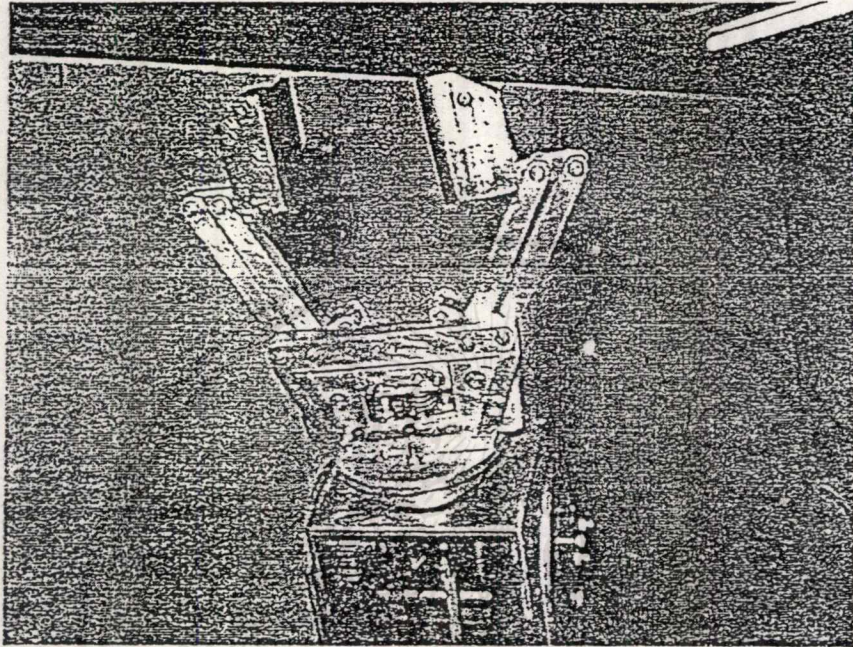
4.4 ส่วนข้อมือ (hand connecter part)



รูปที่ 4.5 ภาพแสดงส่วนข้อมือ

จากรูปที่ 4.5 จะประกอบด้วย สเตปปีงมอเตอร์ 1 ตัว และ สายพานเฟือง 2 ชุด ซึ่งสเตปปีงมอเตอร์มีขนาด 12 volts 30 ohm/coil จะส่งกำลังผ่านสายพานเฟืองชุดแรกเพื่อทำหน้าที่ในการหมุนส่วนข้อมือไปทางซ้ายและทางขวา และสายพานเฟืองชุดที่ 2 ทำหน้าที่รับกำลังจากสายพานเฟืองส่วนข้อศอกไปหมุนส่วนข้อมือในการขึ้นลง

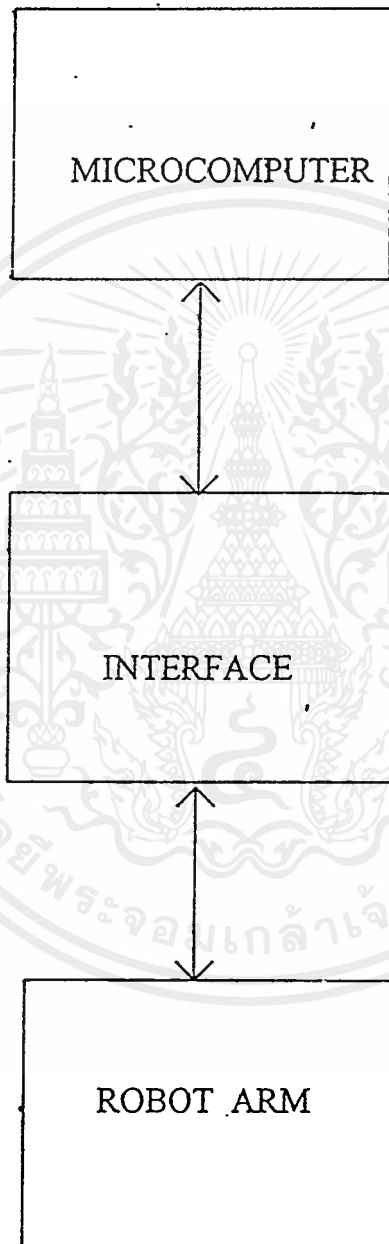
4.5 ส่วน gripper (gripper part)



รูปที่ 4.6 ภาพแสดงส่วน gripper

จากรูปที่ 4.6 ประกอบด้วยส่วนฐานใช้ในการหมุนส่วนของมือจับได้ 360 องศา และมีมอเตอร์กระแสตรง 1 ตัวใช้ในการบีบจับวัตถุ โดยจะใช้ IC เบอร์ LMD 18245 ซึ่งมีความสามารถในการจำกัดกระแสได้ในการควบคุมการทำงานของมอเตอร์กระแสตรงตัวนี้

บทที่ 5
โครงสร้างของโรงงาน



รูปที่ 5.1 บล็อกไดอะแกรมของแขนกล

เอกสารนี้เป็นเอกสารที่สงวนไว้สำหรับการใช้งานเพื่อการศึกษาเท่านั้น ไม่อนุญาตให้นำไปใช้ประโยชน์ด้านการค้า
ไม่ว่ากรณีใดๆ ทั้งสิ้น อีกทั้งห้ามมิให้ตัดแปลงเนื้อหาและต้องอ้างอิงถึงเจ้าของเอกสารทุกครั้งที่มีการนำไปใช้

ไมโครคอมพิวเตอร์ (Microcomputer) ใช้สำหรับส่งค่าข้อมูลที่ใช้ในการควบคุมแขนกลไปยังระบบอินเทอร์เฟซ (Interface) และรับค่าฟีดแบค (feedback) จากระบบอินเทอร์เฟซ กลับเข้ามาและแสดงผลการทำงานของแขนกล

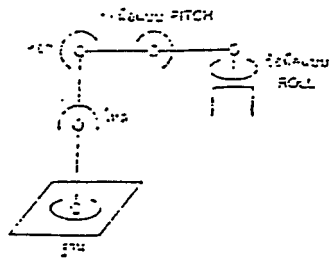
แขนกล (Robot Arm) เคลื่อนที่โดยใช้สเตปปีงมอเตอร์ 1 ตัว และ DC มอเตอร์ 4 ตัว ใช้ควบคุมการเคลื่อนไหวของจุดหมุนต่างๆ 5 จุดและสเตปปีงมอเตอร์อีก 1 ตัวใช้สำหรับการทำงานของมือจับ (gripper)

5.1 อัลกอริทึมในการควบคุมแขนกล

กลวิธีและขั้นตอนในการควบคุมแขนกลทำงานตามจินตนาการ

สิ่งที่บ่งบอกถึงประสิทธิภาพในการทำงานของแขนกล คือความแม่นยำและเที่ยงตรงซึ่งการเคลื่อนไหวขณะการทำงานของแขนกลจะประกอบด้วยการเคลื่อนไหวของฐาน, ไหล่, ข้อศอก, ข้อมือ เป็นต้น การเคลื่อนไหวตามส่วนต่างๆ นี้จะส่งผลให้ตำแหน่งของมือเคลื่อนที่ไปตามตำแหน่งต่างๆ ที่ปฏิบัติงาน ฉะนั้น ถ้าส่วนต่างๆ นี้มีการควบคุมที่ไม่ดีพอจะส่งผลถึงความแม่นยำและความเที่ยงตรงในการทำงานนั้นลดน้อยลง

ดังนั้นมือของแขนกลจะเคลื่อนที่ไปตามตำแหน่งใดๆ ได้นั้นขึ้นอยู่กับข้อต่อต่างๆ จะเคลื่อนไปในตำแหน่งที่เหมาะสมและสอดคล้องกันด้วย ซึ่งการควบคุมก็ต้องควบคุมตำแหน่งของข้อต่อต่างๆ ให้เหมาะสมกันซึ่งสามารถแสดงได้ด้วยสมการคณิตศาสตร์ สำหรับสมการที่กล่าวถึงในที่นี้มี สอง ลักษณะด้วยกันคือ สมการ direct kinematic และสมการ inverse kinematic ซึ่งสมการทั้งสองลักษณะใช้แสดงความสัมพันธ์ของข้อต่อต่างๆ และตำแหน่งปลายมือ ก่อนที่จะกล่าวถึงสมการของแขนกลมาทราบถึงศัพท์บางคำที่ใช้กันบ่อย ในแขนกลหรือแขนหุ่นยนต์ คำแรกคือดีกรีออฟฟรียดอม (degree of freedom) หรือ DOF หมายถึงจำนวนข้อต่อหรือจุดต่อที่เคลื่อนที่เป็นอิสระต่อกัน ส่วนอีกคำคือก้าน (link) หมายถึงสิ่งที่เชื่อมต่อระหว่างข้อต่อกับข้อต่อ ตัวอย่างเช่น แขนกลชนิดอาร์ติกูเลตที่แสดงในรูปที่ 5.2 เป็น ไคอะแกรมแสดงแขนกลที่มีการเคลื่อนที่แบบ 5 คพหรือออฟฟรียดอม

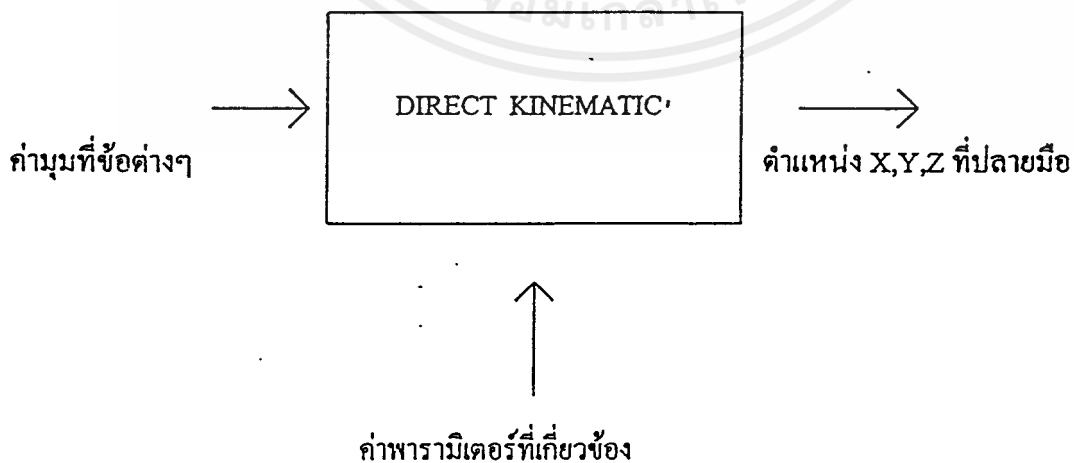


รูปที่ 5.2 ไคอะแกรมการทำงานของแขนกลในรูปแบบ 5 คีกรีโออฟฟรีดอม

โดยทั่วไปในการควบคุมแขนกล ให้เคลื่อนที่ไปตามต้องการนั้น จะต้องมีตำแหน่งเริ่มต้นของแขน โดยเป็นตำแหน่งอ้างอิงในการเคลื่อนที่ เรียกว่าตำแหน่ง โฮม (home) ซึ่งก็ขึ้นอยู่กับชนิดของแขนกล และผู้ควบคุมว่าต้องการให้ตำแหน่งนี้อยู่ในลักษณะใด สำหรับบทความในตอนนี้จะอ้างอิงตำแหน่ง โฮม ในลักษณะดังรูปที่ 5.2 เป็นหลักรวมทั้งชนิดของแขนกลที่ใช้ในการอ้างอิงสมการหรือสูตรต่างๆ เป็นชนิดอาร์ติคูลेट แบบ 5 คีกรีโออฟฟรีดอม

5.2 สมการ Direct kinematic

ความหมายของสมการ Direct kinematic คือสมการของแขนกลที่แสดงความสัมพันธ์ของการเคลื่อนที่ของข้อต่อต่างๆ โดยผลลัพธ์ของสมการคือ ตำแหน่งปลายมือในพื้นที่ 3 มิติ (ตำแหน่ง X,Y,Z) บล็อกไดอะแกรมแสดงการควบคุมแสดงดังรูปที่ 5.3

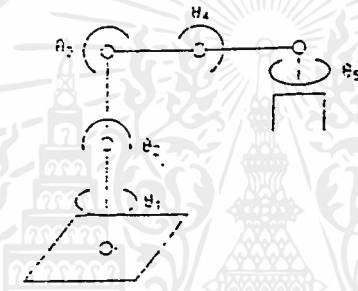


รูปที่ 5.3 บล็อกไดอะแกรมของสมการ direct kinematic

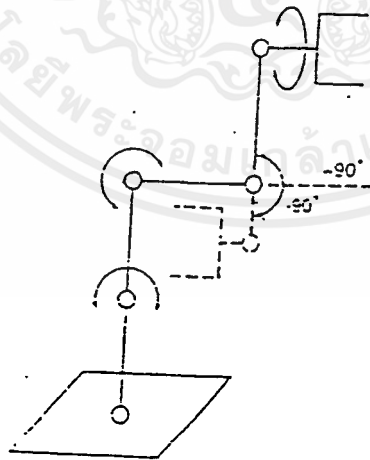
จากบล็อกโคอะแกรมจะพบว่าส่วนที่เป็นอินพุทของสมการ คือค่าของมุมที่ข้อต่อต่างๆ ซึ่งจะขึ้นอยู่กับแกนกลว่ามีกี่ข้อต่อ ส่วนค่าพารามิเตอร์ที่เกี่ยวข้อง จะเป็นค่าคงที่ประจำตัวแกนกล เช่น ความยาวของแต่ละก้านจากข้อต่อหนึ่ง เป็นต้น และเมื่อผ่านสมการนี้ผลลัพธ์ที่ได้ออกมาจะเป็นตำแหน่งของปลายมือที่แกนกลเคลื่อนที่ไปบนพื้นที่ 3 มิติ (X,Y,Z)

5.2.1 การอ้างอิงมุมของแกนกล

สำหรับค่าของมุมของแต่ละข้อต่อที่ป้อนให้กับสมการ Direct kinematic จะถูกอ้างอิงจากตำแหน่งโฮม คั้งนั้น ในการป้อนค่ามุมของแต่ละข้อต่อจำเป็นต้องรู้ขนาดและทิศทางของมุมที่จะป้อนด้วยโดยปกติจะกำหนดให้ที่ตำแหน่งโฮม ของทุกข้อต่อมีมุมเป็น 0 องศา ตัวอย่างการอ้างอิงมุมดังรูปที่ 5.4

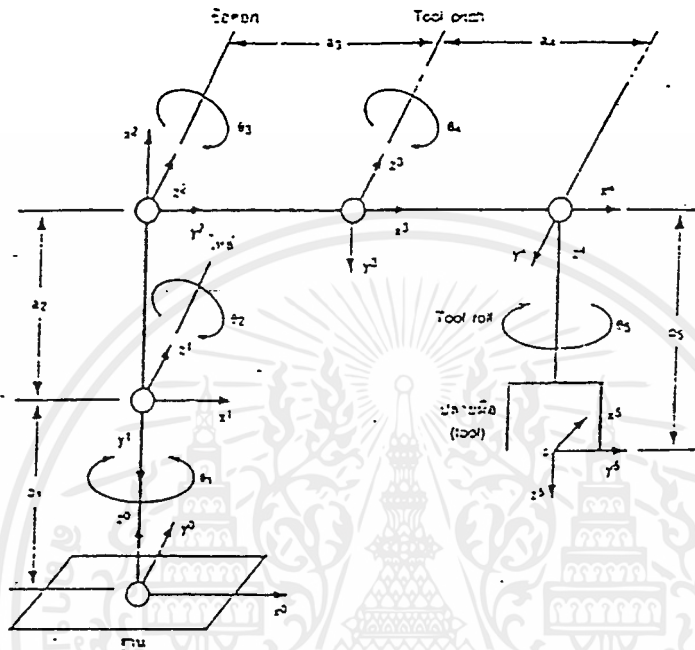


รูปที่ 5.4 ตำแหน่งโฮมของแกนกล



รูปที่ 5.5 แสดงตัวอย่างในการอ้างอิงมุม

ซึ่งเป็นลักษณะตำแหน่งโฮม อีกรูปแบบหนึ่ง ค่าของมุมของทุกข้อต่อในตำแหน่งนี้จะเป็น 0 องศา $\theta_1, \theta_2, \theta_3, \theta_4$ และ θ_5 กำหนดให้เป็น องศา สมมติต้องการเคลื่อนเฉพาะไป +90 องศา รูปแขนกลที่ได้จะเป็นดังรูปที่ 5.5



รูปที่ 5.6 ตำแหน่งด้านของแขนกลชนิดอาร์ตีกูเลต แบบ 5 ดีกรีออฟฟร็ดอม

จากรูปที่ 5.5 ค่าของมุมอื่นๆ ยังคงเป็น 0 องศา มีเฉพาะค่า θ_4 เท่านั้นที่เปลี่ยนแปลง ซึ่งถ้าเป็นค่าลบมุมก็จะตรงข้ามกับทิศทางบวก โดยเริ่มนับจากตำแหน่งที่กำหนดให้เป็นตำแหน่งอ้างอิง ดังนั้นมุมที่ข้อต่ออื่นๆ ก็จะมีวิธีการอ้างอิงมุมในลักษณะเหมือนกัน

ในรูปที่ 5.6 จะแสดงทิศทางของเวกเตอร์ในแต่ละข้อต่อรวมทั้งแสดงค่าพารามิเตอร์ต่างๆที่เกี่ยวข้องซึ่งสามารถที่จะอธิบายแยกเป็นส่วนๆ ดังนี้

θ_1 คือ มุมในการกวาดแขนไปมารอบฐาน

θ_2 คือ ในการหมุนไหล่ขึ้นลง

θ_3 คือ มุมในการหมุนข้อศอก

θ_4 คือ มุมในการหมุนข้อมือแบบหักขึ้นลง (toll pitch)

θ_5 คือ มุมในการหมุนข้อมือในลักษณะหน้ามือไปหลังมือ (toll roll)

การหมุนข้อมือ มีการหมุนอยู่ใน 3 ลักษณะ คือ YAW ,PITCH และ ROLL สำหรับแขนกลที่ใช้อ้างอิงนี้เป็นแบบ 5 ดีกรีออฟฟรีดอม โดยการตัดการเคลื่อนที่ของข้อมือแบบ YAW ไปดังนั้น ถ้าแขนกลชนิดอาร์คิคูเลต แบบ 6 ดีกรีออฟฟรีดอม ก็จะมีการเคลื่อนที่แบบ YAW นี้ด้วย ซึ่งจะทำให้แขนกลมีลักษณะการเคลื่อนที่ของข้อต่อทุกข้อคล้ายกับแขนของมนุษย์มากที่สุด

สำหรับความจำเป็นของการมีจำนวน ดีกรีออฟฟรีดอม เนื่องจากดีกรีออฟฟรีดอมเป็นการเคลื่อนที่อิสระของแต่ละข้อต่อถ้ามีจำนวนดีกรีออฟฟรีดอมมากแขนกลก็สามารถเคลื่อนไหวได้ ซับซ้อนขึ้น แต่การสร้างและการควบคุมก็จะซับซ้อนขึ้นเป็นเงาตามตัวด้วย

สำหรับเวกเตอร์ X_0, Y_0, Z_0 จนถึง X_5, Y_5, Z_5 เป็นเวกเตอร์ที่แสดงแนวการเคลื่อนที่ ส่วนค่าพารามิเตอร์ที่เป็นค่าคงที่ของแขนกลมีดังนี้

d_1 คือ ระยะระหว่างฐานไปยังจุดหมุนที่ใหญ่

a_2 คือ ระยะห่างจากจุดหมุนที่ใหญ่ไปยังจุดหมุนที่ศอก

a_3 คือ ระยะห่างจากจุดหมุนที่ศอกไปยังจุดหมุนที่ข้อมือหมุนแบบ PITCH

a_4 คือ ระยะห่างจากจุดหมุนที่ข้อมือแบบ PITCH ไปยังจุดหมุนข้อมือหมุนแบบ ROLL

d_5 คือ ระยะห่างจากจุดหมุนที่ข้อมือหมุนแบบ ROLL ไปยังจุดปลายมือ

จากนั้นทำการป้อนค่ามุม $\theta_1, \theta_2, \theta_3, \theta_4, \theta_5$ และค่าพารามิเตอร์ d_1, a_2, a_3, a_4, d_5 ให้สมการ direct kinematic จะได้ตำแหน่ง $P(X, Y, Z)$ ในพื้นที่ 3 มิติ ที่มีมือไปวางอยู่เนื่องจากที่มาสมการได้มาจากการวิเคราะห์ทางด้านเวกเตอร์ ฉะนั้นถ้าผู้ใดสนใจ สามารถค้นคว้าเพิ่มเติมได้จากหนังสืออ้างอิงโดยสมการมีดังนี้

$$X = C_1(a_2 C_2 + a_3 C_2 + a_4 C_{234} - d_5 S_{234})$$

$$Y = S_1(a_2 C_2 + a_3 C_{23} + a_4 C_{234} - d_5 S_{234})$$

$$Z = d_1 - a_2 S_2 + a_3 S_{23} - a_4 S_{234} - d_5 C_{234}$$

จากสมการมีการใช้สัญลักษณ์เพื่อย่อความหมายให้สมการดูง่ายขึ้นความหมายของตัวย่อเหล่านี้คือ

S_k คือ $\sin k$

C_k คือ $\cos k$

S_{ijk} คือ $\sin (i+j+k)$

C_{ijk} คือ $\cos (i+j+k)$ คือมุมค่าใดๆ

ตัวอย่างเช่น $C_1 = \cos \theta_1$ หรือ $S_{234} = (\theta_2 + \theta_3 + \theta_4)$ เป็นต้น

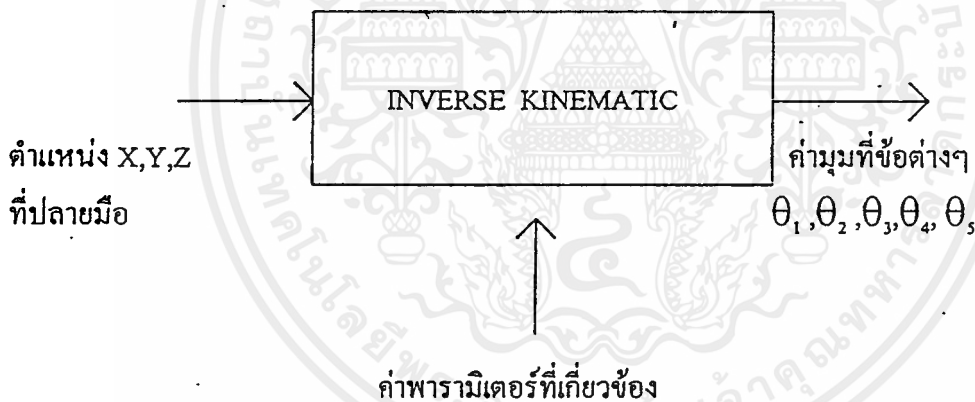
เอกสารนี้เป็นเอกสารที่สงวนไว้สำหรับการใช้งานเพื่อการศึกษาเท่านั้น ไม่อนุญาตให้นำไปใช้ประโยชน์ด้านการค้าไม่ว่ากรณีใดๆ ทั้งสิ้น อีกทั้งห้ามมิให้ตัดแปลงเนื้อหาและต้องอ้างอิงถึงเจ้าของเอกสารทุกครั้งที่มีการนำไปใช้

สำหรับแขนกลชนิดกลชนิดอาร์ตีกูเลตอื่นๆ ที่ไม่ใช่แขนกลชนิดแบบ 5 ดีกรีออฟฟรีคอมก็มีในสมการเช่นกัน

5.3 สมการ Inverse kinematic

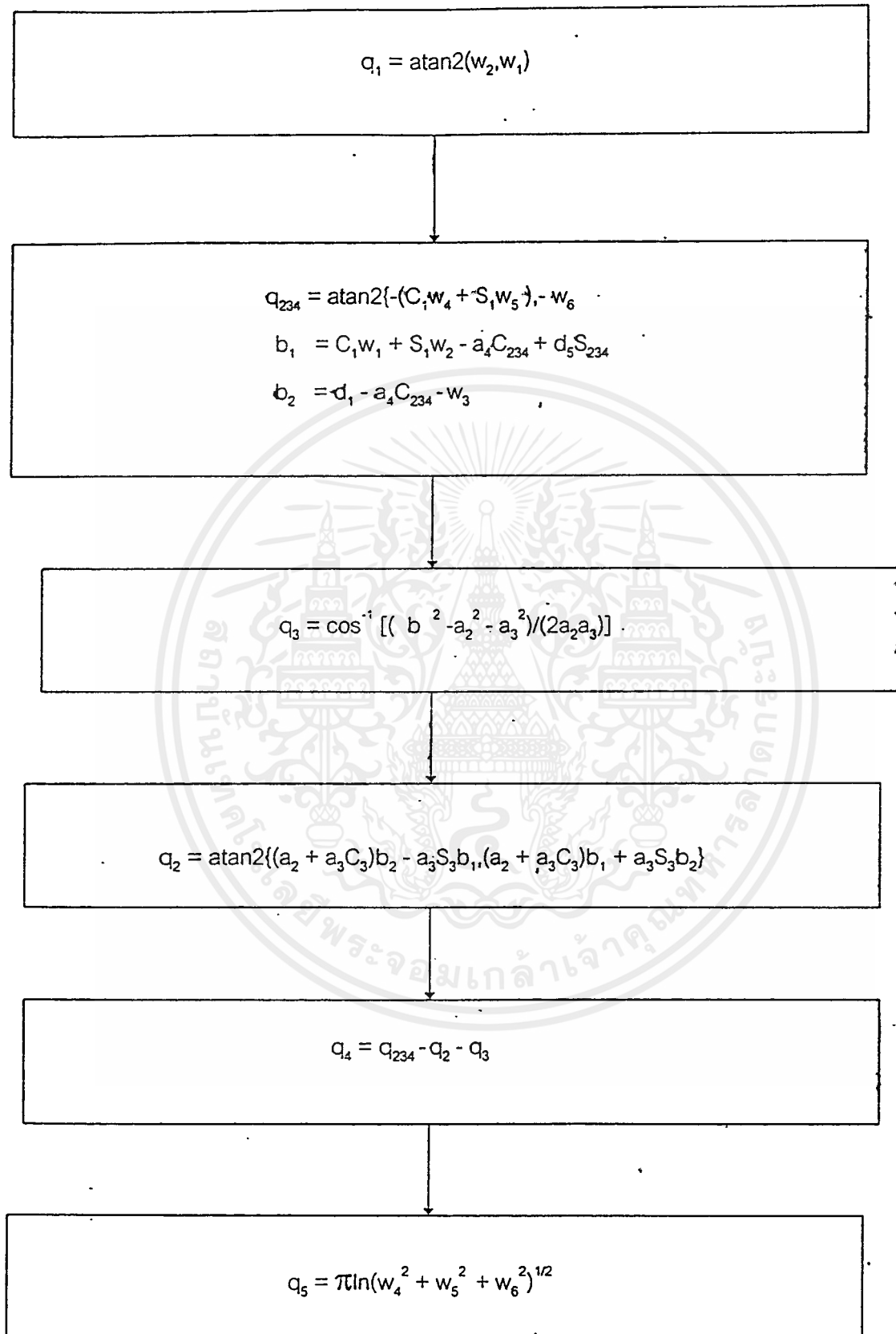
จากที่ผ่านมามีพหุคูณความหมายของสมการกันไปแล้วในส่วนต่อมากจะได้อีกกล่าวถึงสมการในอีกลักษณะหนึ่ง ซึ่งอาจกล่าวได้ว่าเป็นหัวใจในการควบคุมแขนกลอีกแบบหนึ่งสมการชุดนี้คือสมการ inverse kinematic

ความหมายของสมการจะมีความหมายที่ตรงข้ามกับสมการคือจากเดิมป้อนค่าของมุมที่ข้อต่อต่างๆ เข้าไปในสมการผลลัพธ์ที่ได้จะเป็นตำแหน่ง X,Y,Z ที่ปลายมือเคลื่อนไป แต่สมการนี้จะเปลี่ยนเป็นการป้อนตำแหน่ง X,Y,Z ของปลายมือเข้าไปแล้วจะได้ผลลัพธ์เป็นมุมของข้อต่อว่าต้องเคลื่อนไปที่องศาจากตำแหน่งโฮม ปลายมือจึงจะไปอยู่ตำแหน่งที่ต้องการ บล็อกไดอะแกรมแสดงการทำงานจะแสดงดังในรูปที่ 5.7



รูปที่ 5.7 บล็อกไดอะแกรมของสมการ inverse kinematic

จากรูปที่ 5.7 โดยค่าพารามิเตอร์ต่างๆ ยังคงใช้ค่าเหมือนเดิมทุกประการจากความหมายของสมการ inverse kinematic เมื่อป้อนตำแหน่ง X,Y,Z ที่ปลายมือและค่าพารามิเตอร์ที่เกี่ยวข้อง ผลลัพธ์จะได้เป็นมุมของข้อต่อต่างๆ คือ θ_1 ถึง θ_5 โดยสามารถเขียนเป็นอัลกอริทึมของสมการได้ดังรูปที่ 5.8



รูปที่ 5.8 แสดงอัลกอริทึมของสมการ inverse kinematic

เอกสารนี้เป็นเอกสารที่สงวนไว้สำหรับการใช้งานเพื่อการศึกษาเท่านั้น ไม่อนุญาตให้นำไปใช้ประโยชน์ด้านการค้า
ไม่ว่ากรณีใดๆ ทั้งสิ้น อีกทั้งห้ามมิให้ตัดแปลงเนื้อหาและต้องอ้างอิงถึงเจ้าของเอกสารทุกครั้งที่มีการนำไปใช้

จากรูปที่ 5.8 แสดงลำดับการหาค่ามุมตามข้อต่อต่างๆ ซึ่งสามารถอธิบายความหมายของค่าตัวแปรต่างๆ ดังนี้

q_1 ซึ่ง θ_1 เป็นมุมในการหมุนฐาน

atan2 คืออาร์คแทน 4 ควอดแดนต์

q_2 คือ θ_2 เป็นมุมที่ไหล่

q_3 คือ θ_3 เป็นมุมที่ศอก

q_4 คือ θ_4 เป็นมุมการหมุนข้อมือคน แบบ PITCH

q_5 คือ θ_5 เป็นมุมการหมุนข้อมือแบบ PITCH โดยอ้างอิงจากระนาบพื้น (X_0, Y_0, Z_0)

w_1 คือตำแหน่งปลายมือที่ X

w_2 คือตำแหน่งปลายมือที่ Y

w_3 คือตำแหน่งปลายมือที่ Z

w_4, w_5, w_6 คือค่าในการหมุนข้อมือ

C_1 คือ $\cos\theta_1$

S_1 คือ $\sin\theta_1$

C_3 คือ $\cos\theta_3$

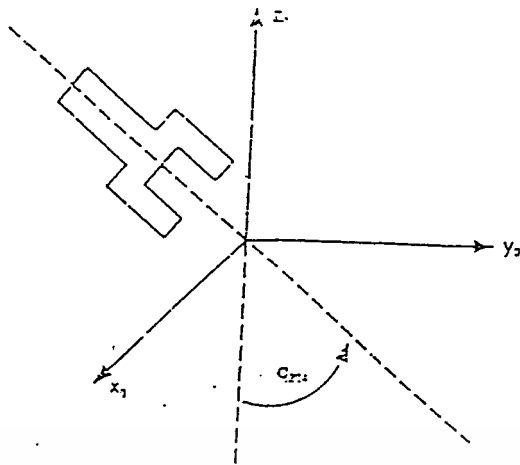
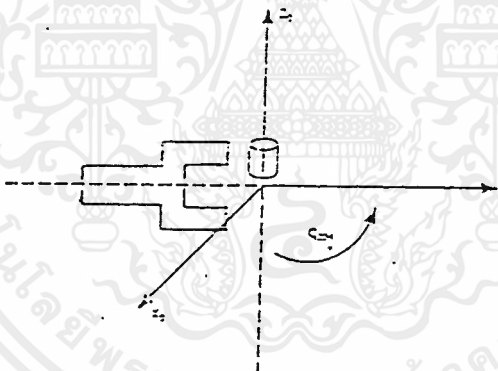
S_3 คือ $\sin\theta_3$

C_{234} คือ \cos ของมุม q_{234}

S_{234} คือ \sin ของมุม q_{234}

$$\|b\| = b_1^2 + b_2^2$$

สำหรับ q_{234} นั้นสามารถอธิบายรายละเอียดโดยรูปที่ 5.9 ประกอบจากความหมายของ q_{234} เป็นมุมการหมุนข้อมือแบบ PITCH โดยอ้างอิงจากระนาบพื้น (X_0, Y_0, Z_0) ในการวัดมุมจะวัดเปรียบเทียบกับแกน Z_0

รูปที่ 5.9 แสดงการอ้างอิง q_{234} รูปที่ 5.10 ตัวอย่างการอ้างอิง q_{234}

สังเกตได้ว่า q_{234} เป็นมุมที่มีผลกระทบต่อระนาบพื้น ในที่นี้คือ รูปแบบในการวางมือในการเคลื่อนที่ไปยังตำแหน่งที่ต้องการ ซึ่งที่มาของ q_{234} มาจากเวกเตอร์ w_4, w_5, w_6 ตัวอย่างเช่น ต้องการเคลื่อนมือไปจับวัตถุทางด้านข้างแสดงดังรูปที่ 5.10 มุมซึ่งเป็นมุมในการวางมือเมื่อเทียบกับระนาบพื้นของวัตถุจะมีค่าเป็น -90 องศา

เอกสารนี้เป็นเอกสารที่สงวนไว้สำหรับการใช้งานเพื่อการศึกษาเท่านั้น ไม่อนุญาตให้นำไปใช้ประโยชน์ด้านการค้าไม่ว่ากรณีใดๆ ทั้งสิ้น อีกทั้งห้ามมิให้ตัดแปลงเนื้อหาและต้องอ้างอิงถึงเจ้าของเอกสารทุกครั้งที่มีการนำไปใช้

โดยทั่วไปค่าอินพุตที่ป้อนให้กับอัลกอริทึมของสมการ inverse kinematic จะเป็นค่า w_1, w_2, q_{234} และ q_5 (ตำแหน่งของวัตถุ, มุมในการวางมือ, มุมในการหมุนข้อมือแบบ ROLL) ตามลำดับ ดังนั้นในการทำงานจริงๆ จะพบว่าอัลกอริทึมของสมการ inverse kinematic ในรูปที่ 5.8 จะมีบางส่วนที่สามารถตัดออกไปได้เพื่อลดความซับซ้อนของสมการ เนื่องจากในการควบคุมแขนกลโดยใช้อัลกอริทึมของสมการ inverse kinematic ค่า q_{234} ซึ่งเป็นมุมในการวางมือเมื่อเทียบกับระนาบของวัตถุและมุมในการหมุนข้อมือแบบ ROLL ผู้ควบคุมจะเป็นผู้กำหนดลงไปเองโดยไม่ต้องผ่านอัลกอริทึมของสมการ inverse kinematic ซึ่งสมการส่วนที่สามารถตัดออกไปได้คือ

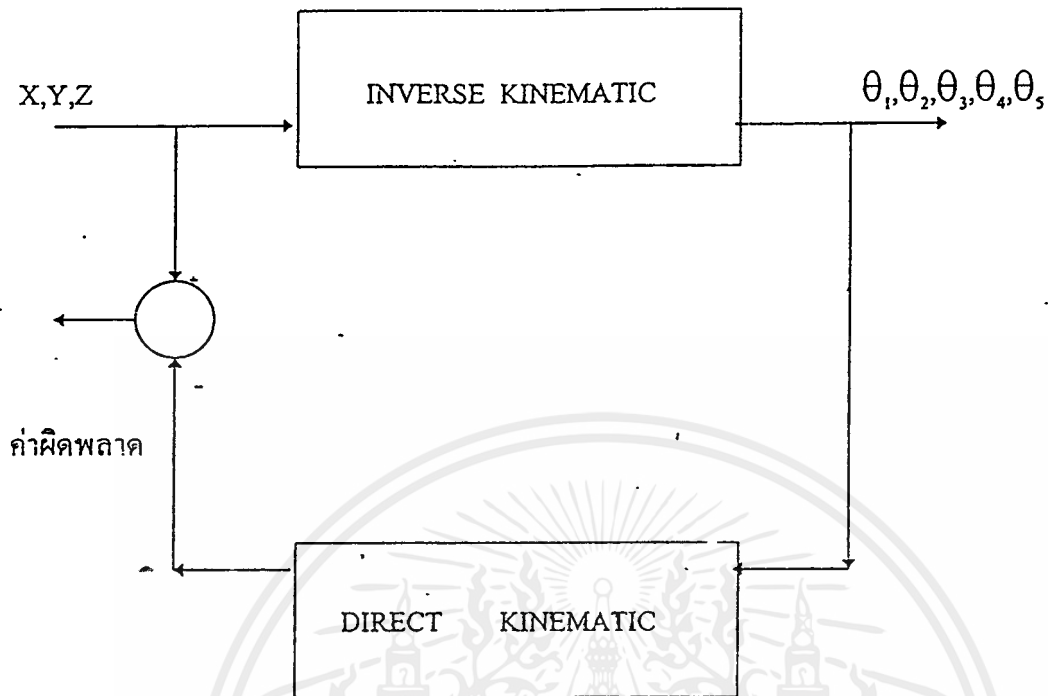
$$q_{234} = \text{atan2}(-(C_1 w_4 + S_1 w_5), -w_6) \text{ และ } q_5 = \pi \ln(w_4^2 + w_5^2 + w_6^2)^{1/2}$$

เอาท์พุทที่ได้จะเหลือเพียงมุม $\theta_1, \theta_2, \theta_3$ และ θ_4 นอกจากอัลกอริทึมของสมการ inverse kinematic ของแขนกลชนิดอาร์ตีกูเลต แบบ 5 ดีกรีออฟฟรีดอม นี้แล้วยังมีของแขนกลชนิดอื่นๆ อีก รวมทั้งที่มาของสมการนี้ด้วย สามารถค้นคว้าเพิ่มเติมได้จากหนังสืออ้างอิงได้เช่นกัน

5.4 การประยุกต์ใช้งาน

สำหรับการประยุกต์ใช้งานอัลกอริทึมของสมการ inverse kinematic อันดับแรกที่เราเห็นได้ชัดคือ ควบคุมการจับวัตถุที่ตำแหน่ง X,Y,Z ดันทางให้ไปวางที่ตำแหน่ง X,Y,Z ปลายทาง โดยคอมพิวเตอร์จะเป็นตัวคำนวณค่าของมุมที่ข้อต่อต่างๆ เมื่อคำนวณเสร็จ คอมพิวเตอร์จะส่งค่ามุมต่างๆ ไปให้กับชุดขับเคลื่อน ชุดขับเคลื่อนก็จะทำการขับเคลื่อนข้อต่อต่างๆ ไปตามมุมที่ได้มาจากอัลกอริทึมของสมการ inverse kinematic ผลลัพธ์ที่ปลายทางจะอยู่ที่ตำแหน่งที่ต้องการ จากนั้นก็เป็นหน้าที่ของผู้เขียน โปรแกรมควบคุมว่าจะให้ทำอะไรต่อไป

สำหรับสมการ direct kinematic ที่ใช้งานอยู่บางส่วนใช้ในการตรวจสอบตำแหน่งในการเขียนโปรแกรมจำลองหรือซิมูเลต การทำงานของแขนกล โดยจะใช้สมการ direct kinematic เป็นชุดป้อนกลับแสดงดังรูปที่ 5.11



รูปที่ 5.11 บล็อกไดอะแกรมในการตรวจสอบตำแหน่งด้วยสมการ direct kinematic

จากบล็อกไดอะแกรมค่าเอาต์พุทของอัลกอริทึมของสมการ inverse kinematic จะถูกสมการ direct kinematic นำมาเป็นอินพุทเพื่อป้อนกลับไปหาค่าผิดพลาดในการเคลื่อนที่ ค่าผิดพลาดที่ได้จะถูกส่งไปยังโปรแกรมอีกชุดหนึ่ง ซึ่งทำหน้าที่เป็นตัวควบคุม ถ้าเปรียบเทียบแขนกลจริงๆ กับ โปรแกรมจำลองการทำงานนั้น สมการ direct kinematic ก็คือตัวตรวจจับนั่นเอง

บทที่ 6

การควบคุมและโปรแกรมการควบคุม

ในการทำงานของ ROBOT ARM ในเทอมนี้จะเป็นการทำงานโดยทำการส่งข้อมูลที่ใช้ในการควบคุม ROBOT ARM โดยจะเป็นการส่งแบบอนุกรม จากส่วน PC ไปยังส่วนประมวลผล(8031) และ ทำการ OUT ค่าที่ได้จากการประมวลผลออกทาง OUT PUT ของ 8255 เพื่อไปควบคุมให้แขนกลทำงานตามคำสั่ง โดยจะใช้ IC เบอร์ 18245 และ 18200 ในการควบคุมการทำงานของแขนกลในส่วนที่เป็น DC มอเตอร์ ส่วนสเตปป์มอเตอร์ก็ทำงานตามปกติ

ในการควบคุมการทำงานสามารถแบ่งได้เป็น 3 ส่วน

- 1 ส่วน SERIAL PORT หรือ การส่งข้อมูลแบบอนุกรม
2. ส่วนประมวลผล(8031)และ OUT PUT ที่ใช้ในการควบคุม
3. ส่วนที่เป็นวงจร drive motor ใช้ IC เบอร์ 18245 และ 18200
4. ส่วนโปรแกรมการควบคุม

ในที่นี้จะไม่กล่าวถึงการทำงานของสเตปป์มอเตอร์เพราะได้กล่าวไว้แล้วในบทที่ 3

6.1 ส่วน SERIAL PORT

ความต้องการพื้นฐานในการส่งข้อมูลก็คือ เราต้องการสื่อสารข้อมูลที่มีอยู่หรือใช้ข้อมูลที่มีอยู่ร่วมกัน เพราะฉะนั้นก่อนที่เราจะรู้การทำงานจริงในส่วน SERIAL PORT เราก็ควรจะต้องรู้ถึงทฤษฎีพื้นฐานบางอย่างเพื่อความเข้าใจที่ถูกต้องร่วมกันก่อน ซึ่งจะขอกล่าวตามลำดับดังต่อไปนี้

6.1.1 การสื่อสารข้อมูล

การสื่อสาร (communication) คือการกระทำ หรือ กระบวนการในการแลกเปลี่ยนข้อมูล (exchanging information) หรือการใช้ข้อมูลร่วมกัน (sharing information) ในการสื่อสารนั้นต้องประกอบด้วย 3 สิ่งด้วยกันคือ ตัวส่ง (sender), ตัวรับ (reciever), และตัวกลาง (medium)

การสื่อสารข้อมูล คือ กระบวนการแลกเปลี่ยน หรือ การใช้ร่วมกัน ของข้อมูลที่ผ่านการเข้ารหัส (encode information) ระหว่างอุปกรณ์ 2 เครื่องหรือมากกว่านั้น สำหรับการสื่อสารข้อมูลนั้น ตัวส่งและตัวรับจะเป็นเครื่องจักรเท่านั้น

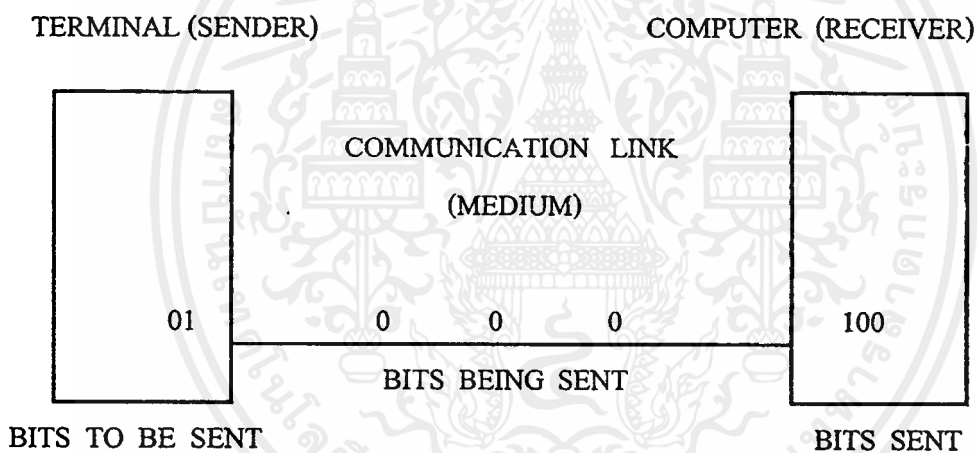
ข้อมูลที่ผ่านการเข้ารหัส หมายถึง การที่ข้อมูลถูกส่งเป็นลำดับของสัญญาณไฟฟ้า เช่น เมื่อคอมพิวเตอร์ปฏิบัติการรับการกดแป้นอักษร D จากแป้นพิมพ์ ลำดับของสัญญาณไฟฟ้าก็จะถูกส่งมาที่คอมพิวเตอร์ ถ้าสัญญาณไฟฟ้านั้น แสดงในรูป ลอจิก 1 และ 0 อักษร D ก็จะสามารถแทนได้ด้วย "01000100" รหัสเลขฐานสองนี้จะถูกส่งจากแป้นพิมพ์ (ตัวส่ง) ผ่านสายสัญญาณ (ตัวกลาง) มายังคอมพิวเตอร์ (ตัวรับ) คอมพิวเตอร์จะทำการแปล รหัสเลขฐานสองให้เป็นอักษร D ซึ่งสัญญาณ

ไฟฟ้า หรือ รหัสเลขฐานสองแบบนี้ เราจะเรียกว่า การเข้ารหัสข้อมูล และสามารถส่งได้ทั้งแบบอนาล็อก และ แบบดิจิทัล แต่ไม่ว่าจะเป็นแบบใด ตัวส่งและตัวรับ ล้วนเป็นอุปกรณ์อิเล็กทรอนิกส์ทั้งสิ้น

ระวัง การสับสนระหว่าง การสื่อสารข้อมูล กับ การส่งข้อมูลแบบ ดิจิตอล เพราะการสื่อสารข้อมูลจะหมายถึง การส่งข้อมูลที่ผ่านการเข้ารหัส ระหว่างอุปกรณ์อิเล็กทรอนิกส์ ในรูปของ อนาล็อก หรือ ดิจิตอลก็ได้ แต่การส่งข้อมูลแบบดิจิทัลนั้น ข้อมูลไม่ว่าจะเป็น ภาพ หรือ เสียง จะต้องถูกแปลงเป็นสัญญาณดิจิทัลก่อนทำการส่ง แต่ส่วนใหญ่ในปัจจุบันนี้จะนิยมการส่งข้อมูลเป็นแบบดิจิทัลมากขึ้น

6.1.2 การส่งข้อมูลแบบอนุกรม

การส่งข้อมูลแบบอนุกรมจะใช้สายเพียง 2-3 เส้น แล ที่เวลาหนึ่งๆ จะมีการส่งข้อมูลเพียง 1 บิตเท่านั้น ดังแสดงในรูปที่ 6.1



รูปที่ 6.1 การส่งข้อมูลแบบอนุกรม

เมื่อเราพิจารณา เปรียบเทียบกับการส่งข้อมูลแบบขนาน แล้วก็จะเห็นได้ว่า ถึงแม้การส่งแบบขนานนั้นจะรวดเร็วกว่าเพราะสามารถที่จะส่งข้อมูลได้พร้อมกัน หลายๆ บิต แต่การที่ต้องใช้สายจำนวนมากนั้นจะทำให้เกิดความยุ่งยาก รุงรัง ราคาแพง และอ่อนไหวต่อสัญญาณรบกวน ดังนั้น ส่วนใหญ่แล้วจึงนิยมใช้การส่งแบบอนุกรม ทั้งนี้เนื่องจาก IC ที่ใช้ในการแปลงข้อมูลจากแบบขนานให้เป็นอนุกรม เพื่อส่งออก และรับข้อมูลแบบอนุกรม มาแปลงให้เป็นขนานเพื่อประมวลผลนั้น สามารถหาได้ง่ายมาก ดังนั้น การสื่อสารข้อมูลที่ใช้ระหว่างเครื่องคอมพิวเตอร์ด้วยกัน หรือ กับ อุปกรณ์ภายนอก จึงนิยมใช้แบบอนุกรมมากกว่า

6.1.3 อสมวาร กับ สมวาร (Asynchronous Versus Synchronous)

วิธีการรับ-ส่งข้อมูลแบบอนุกรมนั้น จะมี 2 วิธีด้วยกัน คือ การส่งข้อมูลแบบอสมวาร และแบบสมวาร เครื่องส่งและเครื่องรับนั้น จะต้องใช้วิธีการรับ-ส่งข้อมูลแบบเดียวกัน สำหรับแบบอสมวาร เครื่องรับจะสามารถตรวจสอบ ตัวเริ่มและสิ้นสุดได้ และในแบบสมวาร จะสามารถตรวจสอบกลุ่มของตัวเริ่มและสิ้นสุดได้

6.1.3.1 การส่งข้อมูลแบบอสมวาร

การส่งแบบอสมการ จะใช้ได้กับการส่งข้อมูล ด้วยอัตราที่ไม่เร็วนัก (น้อยกว่า 19,200 บิตต่อ วินาที {bps}) และใช้กับอุปกรณ์ที่ราคาไม่แพง วิธีนี้เป็นที่นิยมเพราะวงจรที่ใช้เป็นแบบพื้นฐาน ไม่ซับซ้อน ทำให้ราคาถูก แต่ก็มีโอกาสเกิดความผิดพลาดของข้อมูล จากการคลาดเคลื่อนของเวลาได้ เนื่องจากเครื่องส่งและเครื่องรับ ไม่เข้าจังหวะกัน ดังนั้น จึงมักออกแบบให้ ตัวรับทำการเข้าจังหวะทุกๆ ครั้งที่มีตัวอักษรเข้ามา โดยใช้บิตเริ่มต้น (start bit) เป็นตัวบอกหรือจะทำการแบ่งส่วนออกเป็น 4 ส่วน ในแต่ละชุดข้อมูลประกอบด้วย บิตเริ่มต้น (start bit) ,บิตข้อมูล (data bit) , บิตแสดงภาวะเสมอมูล (parity bit) , และ บิตสิ้นสุด (stop bit) ถึงแม้ว่า บิตแสดงภาวะเสมอมูล จะเป็นส่วนเสริมขึ้นมา แต่ก็เป็นที่นิยมใช้ในระบบทั่วไป

แม้ว่าการส่งข้อมูลแบบอสมการ จะง่ายในการออกแบบ การสร้างและการใช้งาน แต่ก็ให้ประสิทธิภาพในการส่งที่ต่ำ เพราะอย่างอย่างน้อยที่สุด จะต้องส่งบิตเริ่มต้น และบิตสุดท้าย รวมไปถึงข้อมูลด้วยเสมอ

6.1.3.2 การส่งข้อมูลแบบสมวาร

เป็นการส่งที่มีประสิทธิภาพสูงกว่า การส่งข้อมูลแบบสมวารนั้น ไม่จำเป็นต้องมีบิตเริ่มต้น และบิตสิ้นสุดในทุกๆ ชุดของข้อมูลแต่ละตัว แต่จะมีการส่งข้อมูลชุดใหญ่ไปเพียงครั้งเดียว

จากที่ได้กล่าวไปแล้วว่า การส่งแบบอสมวาร จะใช้บิตเริ่มต้นเป็นตัวบอกว่ามีข้อมูลเข้ามา เพื่อให้ภาครับเข้าจังหวะได้ตรงกัน แต่สำหรับการส่งแบบสมวารนั้น เครื่องรับจะสามารถระบุข้อมูลใหม่ได้ เหมือนกับระบุข้อมูลแต่ละบิตข้างในกรอบนั้น ซึ่งมีด้วยกัน 2 แบบ คือ แบบกรอบที่ใช้ตัวอักษรในการกำหนด (Character oriented frame) และกรอบที่ใช้บิตในการกำหนด (Bit oriented frame) ซึ่งแบบที่ใช้ตัวอักษรนั้นจะเริ่มด้วย ตัวอักษรพิเศษ สำหรับเข้าจังหวะ (special synchronization [SYN] character) หนึ่งตัวหรือมากกว่า ซึ่งตัวอักษรเข้าจังหวะนี้จะประกอบด้วย เลขฐานสอง ที่เหมือนกัน และเปลี่ยนแปลงไปตาม ข้อความสำหรับควบคุม (control information) ข้อมูล อักษรควบคุม (control information) และตัวอักษรที่จะเสริมเข้าไปด้วย อาจจะเป็นจำนวนข้อมูลที่ส่งในตอนต้นของข้อมูลทั้งหมด เพื่อให้ภาครับรับตามจำนวนนี้ก็ได้

ส่วนแบบที่ใช้บิตในการกำหนดนั้น จะมีรูปแบบพิเศษของบิตในตอนเริ่มต้นและสิ้นสุดของแต่ละกรอบข้อมูลประกอบด้วยข้อมูล 8 บิต ที่เราเรียกว่า แฟล็ก (flag) ถ้าดูคร่าวๆ จะเห็นได้ว่าการส่งทั้ง 2 แบบ นี้ คล้ายกัน คือ ต่างก็มี ข้อความพิเศษสำหรับแสดงกรอบข้อมูล มิฉะนั้นอาจเกิดการเลื่อน (drifting) ระหว่างเครื่องส่งกับเครื่องรับ เนื่องจากสัญญาณนาฬิกาของ 2 เครื่อง ไม่ตรงกันได้ ทางแก้หนึ่งก็คือ เพิ่มเส้นสัญญาณนาฬิกาในการส่งข้อมูลด้วย เพื่อให้มั่นใจได้ว่า สัญญาณนาฬิกาของทั้ง 2 ตรงกัน แต่ในทางปฏิบัติแล้ว คงเป็นไปได้ ถ้าเราต้องการส่งข้อมูลผ่านสายโทรศัพท์ ดังนั้น ระบบส่วนใหญ่จึงทำการเข้ารหัสสัญญาณนาฬิกา เพื่อเป็นส่วนสำหรับการเข้าจังหวะ ก็จะทำให้เครื่องส่งและเครื่องรับ ทำงานสัมพันธ์กันได้อย่างถูกต้อง

6.1.4 รูปแบบการสื่อสาร

โดยทั่วไปแล้ว จะมี 3 แบบด้วยกันคือ แบบส่งทางเดียว (simplex) , แบบเลือกส่งหรือรับอย่างใดอย่างหนึ่ง (half-duplex) และแบบส่ง-รับได้พร้อมกัน (full-duplex)



Always in the same direction

(a)



One direction at a time

(b)



Both direction simultaneously

©

รูปที่ 6.2 แสดงรูปแบบการสื่อสาร (a) Simplex (b) Half-duplex © Full-duplex

จากรูป 6.2 (a) ข้อมูลจะถูกส่งจาก จุด A ไปยังจุด B โดยที่ไม่มีเส้นทางย้อนกลับ ดังนั้นจุด B จะไม่มีทางส่งสัญญาณมายังจุด A ได้เลย

เอกสารนี้เป็นเอกสารที่สงวนไว้สำหรับการใช้งานเพื่อการศึกษาเท่านั้น ไม่อนุญาตให้นำไปใช้ประโยชน์ด้านการค้าไม่ว่ากรณีใดๆ ทั้งสิ้น อีกทั้งห้ามมิให้ตัดแปลงเนื้อหาและต้องอ้างอิงถึงเจ้าของเอกสารทุกครั้งที่มีการนำไปใช้

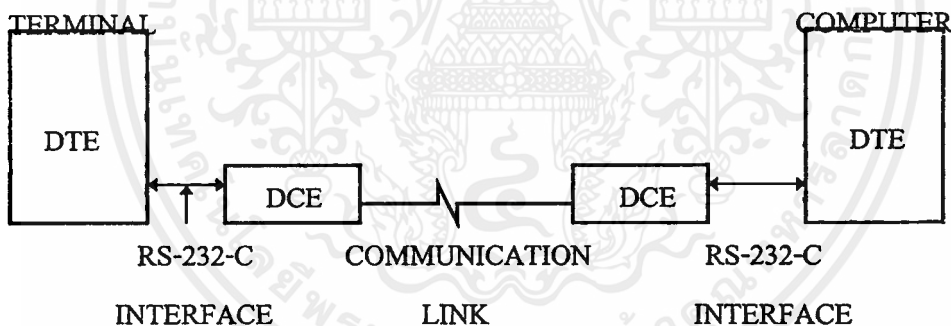
รูป 6.2 (b) เป็นแบบเลือกส่งอย่างใดอย่างหนึ่ง จะยอมให้ส่งข้อมูลจากจุด A ไป B หรือ จากจุด B ไป A ก็ได้ แต่ว่าต้องไม่ใช่ในเวลาเดียวกัน ในการใช้งานนั้นช่องสัญญาณจะต้องมีการวนกลับ (turned around) ซึ่งเป็นการไม่สะดวกมากในหลายๆ งานเพราะอุปกรณ์ที่จุด A อาจจะหยุดส่งก่อนที่ อุปกรณ์ที่จุด B พร้อมจะส่งก็ได้

รูปที่ 6.2© ซึ่งเป็นแบบสองทางนั้น จะสามารถส่งข้อมูลจาก A ไป B หรือจาก B ไป A ในขณะเดียวกันได้

6.1.5 มาตรฐาน RS-232

ในการส่งข้อมูลแบบอนุกรมในครั้งนี้ได้ใช้มาตรฐาน RS-232 ตัวอักษร RS แทน "Recommended Standard" 232 แทน หมายเลขของมาตรฐาน

การเชื่อมต่อตามมาตรฐาน RS-232 นั้นจะหมายถึง การเชื่อมต่อระหว่าง อุปกรณ์ข้อมูลปลายทาง (Data terminal Equipment [DTE]) กับอุปกรณ์สื่อสารข้อมูล (Data Communication Equipment [DCE]) (แต่ในปัจจุบันตัวย่อ DCE จะแทน data circuit termination equipment)) โดย ใช้การแลกเปลี่ยนข้อมูลแบบอนุกรม ซึ่งโครงสร้างคร่าวๆแสดงดังรูป 6.3



รูปที่ 6.3 การเชื่อมต่อระหว่าง DTE กับ DCE

คำจำกัดความของ DCE และ DTE พอสังเขป

DCE : เป็นอุปกรณ์ที่มีฟังก์ชันการทำงานต่างๆ ที่ทำให้เกิดการเชื่อมต่อ ทำให้การเชื่อมต่อยังคงดำรงต่อไป และยุติการเชื่อมต่อ นอกจากนี้ยังใช้เปลี่ยนลักษณะของสัญญาณและสร้างรหัสสัญญาณต่างๆ ที่จำเป็นต้องใช้ในการสื่อสารข้อมูลระหว่าง DTE และ Data circuit โดย DCE อาจเป็นส่วนใดส่วนหนึ่งของคอมพิวเตอร์หรือไม่ก็ได้

DTE : 1. เป็นอุปกรณ์ที่ประกอบไปด้วยตัวส่งข้อมูล (data source) หรือเป็นทั้งตัวส่งและตัวรับข้อมูลก็ได้

2. เป็นอุปกรณ์ที่ประกอบด้วยส่วนทำงานต่อไปนี้ ส่วนควบคุม (control logic) , ส่วนคงค่า (buffer store) และอุปกรณ์อินพุทหรือเอาต์พุทจำนวนหนึ่งตัวหรือมากกว่าก็ได้ หรือรวมเครื่องคอมพิวเตอร์เข้าไปด้วยก็ได้ DTE อาจจะรวมส่วนควบคุมความผิดพลาด (error control) , ส่วนเข้าจังหวะ (synchronization) และความสามารถในการบ่งหรือระบุความต้องการเกี่ยวข้องกับอุปกรณ์ตัวใด(STATION IDENTIFICATION CAPACITY) เข้าไปด้วยก็ได้

6.1.6 การใช้งาน

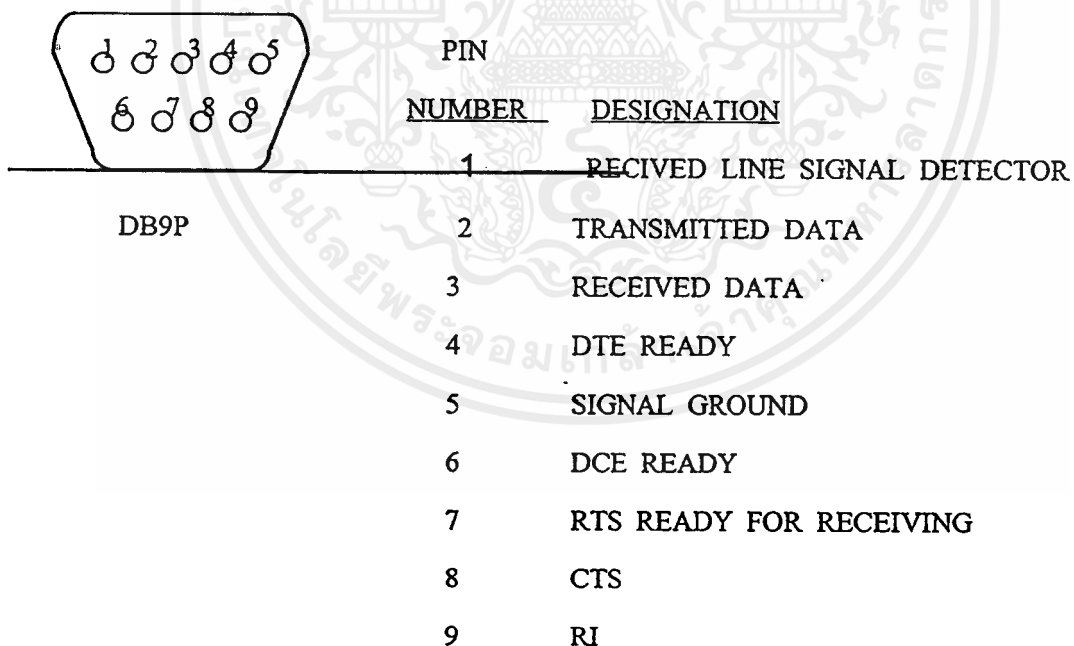
ในแต่ละวงจรใช้ลวดนำในการนำสัญญาณ 1 เส้น และมีสายกราวด์รวมของทุกวงจรเพียงเส้นเดียว

อัตราเร็วในการส่งข้อมูลมีค่าเท่ากับ 9,600 bps

ระยะทางที่ใช้สูงสุดที่ใช้ในการส่งข้อมูลมีค่า < 15m

6.1.7 ขั้วต่อแบบย่อ (miniature connects) -

ขั้วต่อแบบย่อที่ใช้ใน project นี้ถือว่าเป็น ขั้วต่อแบบย่อ คือเป็นขั้วต่อแบบ DB-9 ที่ใช้เพราะสามารถใช้งานได้ง่าย ใช้พื้นที่น้อย และสามารถตอบสนองความต้องการของไมโครคอมพิวเตอร์ได้อย่างเพียงพอ รูปที่ 6.5 แสดงรูปร่างและระบุตำแหน่งขาต่างๆ ของขั้วต่อทั้ง 2 แบบ



รูปที่ 6.5 ระบุตำแหน่งขาและหน้าที่ของ ขั้วต่อ DB-9

6.2 ส่วนประมวลผล(8031) และ output ที่ใช้ในการควบคุม

6.2.1 ไมโครคอนโทรลเลอร์แบบชิพเดี่ยว เบอร์ 8031

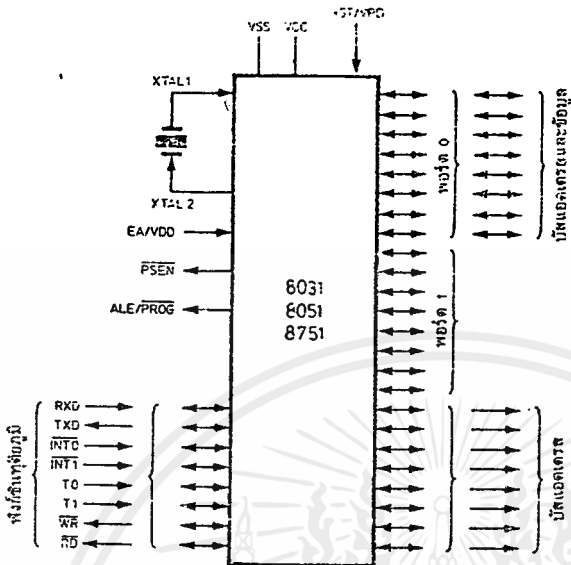
ในปัจจุบันมีไมโครคอนโทรลเลอร์เอ็มซีเอส 51 (ตระกูล 51) ซึ่งเป็นไมโครคอมพิวเตอร์แบบชิพเดี่ยว (ไม่ต้องต่อกับอุปกรณ์ภายนอกก็สามารถทำงานได้) 8031 ก็ถือเป็นไมโครคอนโทรลเลอร์ตระกูล 51 ด้วย มีความสะดวกในการใช้งานและเขียนโปรแกรมควบคุมด้วยภาษาเบสิกได้ โดยไม่ต้องศึกษาการทำงานของวงจรเหมือนกับภาษาแอสเซมบลี

MCS 51 นี้เป็นอุปกรณ์ที่ออกแบบมาสนองความต้องการของผู้ใช้คือมีสายอินพุตและเอาต์พุตภายในตัวเองพอร์ตของอินพุตและเอาต์พุตพีเพอร์อินเตอร์เฟซ และสายควบคุมอื่นๆ ที่ใช้สำหรับแยกข้อมูลกับแอดเดรสและยังมีชุดคำสั่งเพิ่มขึ้นเป็นพิเศษเพื่อจัดการข้อมูลแถมท้ายด้วยวงจรตั้งเวลากับวงจรมับด้วย (ปกติวงจรมับจะสามารถทำงานเป็นวงจรตั้งเวลาได้ด้วย จึงเรียกควบคู่กันไปคือ วงจรตั้งเวลา/ วงจรมับ)

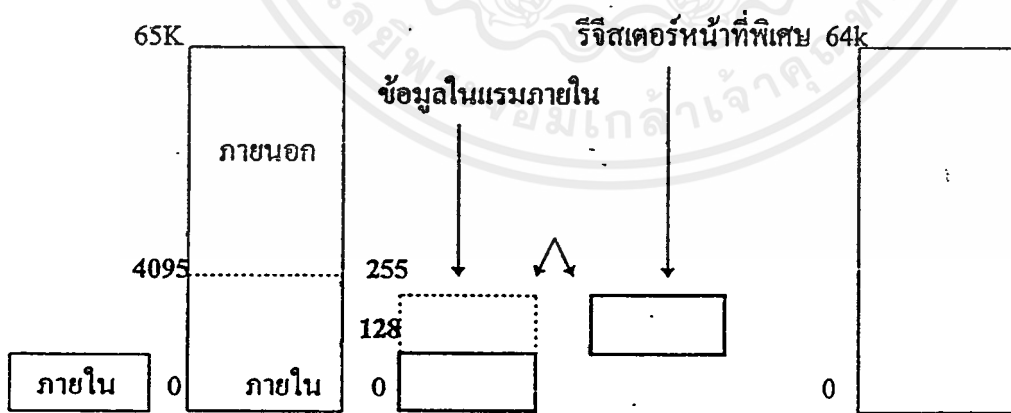
คุณสมบัติของไมโครคอนโทรลเลอร์ MCS 51

- ซีพียู 8 บิต ที่ควบคุมได้ง่าย
- เพิ่มการทำงานลอจิกครั้งละ 1 บิต
- สายอินพุตและเอาต์พุตมีจำนวน 32 เส้น ใช้เลือกแอดเดรสแยกต่างหากจากกันได้
- มีแรมบรรจุไว้ในขนาด 128 ไบต์หรือ 256 ไบต์
- วงจรตั้งเวลา/ วงจรมับมีขนาด 2,3 หรือ 16 บิต
- กำหนดเป็น UART (Universal Synchronous Asynchronous Receiver Transmitter) ที่รับส่งข้อมูลอนุกรมได้ สองทิศทาง
- อินเทอร์รัพต์ แบ่งออกเป็น 2 ระดับจาก 5 หรือ 6 แหล่ง
- มีสัญญาณนาฬิกาอยู่ภายในตัว
- มีหน่วยความจำสำหรับเก็บข้อมูลภายในขนาด 4 หรือ 8 กิโลไบต์(อีพ롬 8751และ 8752)
- มีแอดเดรสของหน่วยความจำสำหรับเก็บโปรแกรม จำนวนทั้งหมด 64 กิโลไบต์
- มีแอดเดรสของหน่วยความจำสำหรับเก็บข้อมูล จำนวนทั้งหมด 64 กิโลไบต์
- คำสั่งทั้งหมดมี 111 คำสั่ง (64 รอบ)
- ทำงานด้วยเลขฐานสิบ และฐานสิบหก
- ตัวแปลภาษาเบสิกมีขนาด 8 กิโลไบต์(8025 AH-BASIC)
- ควบคุมอีพ롬ภายในตัวด้วยภาษาเบสิก(8052 AH-BASIC)

■ มีคำสั่งเฉพาะของภาษาเบสิกที่ใช้สำหรับอินพุตและเอาต์พุต วงจรนับ และอินเทอร์เฟสแบบอนุกรม(8052 AH-BASIC)



รูปที่ 6.6 แสดงหน้าที่ของพอร์ตเมื่อคอนโทรลเลอร์ทำงานกับ หน่วยความจำภายนอก จากรูปที่ 6.6 ไมโครคอนโทรลเลอร์เบอร์ 8031 AH ที่ใช้แทน 8051 ได้โดยไม่ต้องส่งให้โรงงานโปรแกรมให้ เพราะเราจะเขียนและทดสอบโปรแกรมด้วยหน่วยความจำภายนอกแทน(ไม่มีรอมภายใน) และข้อมูลในหน่วยความจำภายในมีขนาด 128x8RAM ส่วนตั้งเวลา/นับ เท่ากับ 2x16-Bit และใช้อินเตอร์รัพท์หมายเลข 5 ภายในหน่วยความจำ



โปรแกรม หน่วยความจำ
เคาน์เตอร์ เก็บโปรแกรม หน่วยความจำเก็บข้อมูลที่อยู่ภายใน หน่วยความจำ
หน่วยความจำเก็บข้อมูลที่อยู่ภายนอก

INTERNAL หน่วยความจำภายใน

EXTERNAL หน่วยความจำภายนอก

PROGRAM COUNTER วงจรนับลำดับโปรแกรม

PROGRAM MEMORY หน่วยความจำสำหรับเก็บโปรแกรม

INTERNAL DATA RAM แรมภายในที่เก็บข้อมูล

SPECIAL FUNCTION REGISTERS รีจิสเตอร์หน้าที่พิเศษ

INTERNAL DATA MEMORY หน่วยความจำภายในสำหรับเก็บข้อมูล

EXTERNAL DATA MEMORY หน่วยความจำภายนอกสำหรับเก็บข้อมูล

รูปที่ 6.6 โครงสร้างภายในหน่วยความจำของ MCS 51

จากรูปที่ 6.6 เป็นหน่วยความจำภายในตัวเอ็มซีเอส 51 หน่วยความจำนี้แบ่งได้ 2 กลุ่ม คือ หน่วยความจำสำหรับเก็บโปรแกรม และหน่วยความจำสำหรับเก็บข้อมูล หน่วยความจำแรกมีแอดเดรสที่ต่ำกว่า 4 หรือ 6 กิโลไบต์บรรจุอยู่ในรอม ส่วน MCS 51 ที่ไม่มีรอมภายในจะใช้หน่วยความจำภายนอกซึ่งอาจเป็นรอม , แรม หรือ อีพรอมแทนก็ได้

MCS 51 จะอ่านหน่วยความจำสำหรับเก็บโปรแกรม เข้ามาเป็นภาษาเครื่องตามลำดับ ส่วนหน่วยความจำสำหรับเก็บข้อมูล จะใช้เป็นที่เก็บตัวแปร, การคำนวณหาผลลัพธ์ทันที, การจัดการกับข้อมูลที่มีขนาด 16 บิต (word)

หน่วยความจำสำหรับเก็บข้อมูลใช้ร่วมกับหน่วยความจำภายนอกได้ถึง 640 กิโลไบต์ ซึ่งเลือกใช้รอมหรือ แรมก็ได้ และยังมีรีจิสเตอร์พิเศษที่ใช้หน่วยความจำภายนอกของแรมได้ 128 หรือ 256 กิโลไบต์ ส่วนของไมโครคอนโทรลเลอร์เบอร์ 8031 นั้นจะประกอบด้วยส่วนหน่วยความจำสำหรับเก็บข้อมูลแต่จะไม่มีหน่วยความจำเก็บโปรแกรม ซึ่งเป็นข้อแตกต่างจาก MCS-51 ส่วนหน้าที่ในส่วนอื่นๆ จะเหมือนกับ MCS-51

รีจิสเตอร์ภายใน MCS

MCS มีรีจิสเตอร์ที่อำนวยความสะดวกในการทำงานตามคำสั่งต่างๆ ประกอบด้วยแอดเดรสรีจิสเตอร์สถานะ สแต็กพอยน์เตอร์ คิวพอยน์เตอร์(2x8 บิต หรือ 1x6 บิต) พอร์ตหมายเลขศูนย์ถึงพอร์ตหมายเลขสามรีจิสเตอร์แบบคู่ ซึ่งใช้ส่งและรับข้อมูลขนานอนุกรม รีจิสเตอร์ 16 บิต ที่เป็นวงจรถ่วงเวลาและวงจรรัน รีจิสเตอร์ซึ่งจองไว้สำหรับใช้สำหรับนับคีย์ที่ 3 รีจิสเตอร์คำสั่ง สำหรับหน้าที่พิเศษ (เช่น การอินเตอร์รัพต์ RTC : Read Time Clock) และอินพุต,เอาต์พุตแบบอนุกรม

เมื่อทำงานเป็นวงจรตั้งเวลา

รีจิสเตอร์ที่ทำหน้าที่ตั้งเวลาจะเพิ่มค่าขึ้นหนึ่งของทุกๆ รอบคำสั่งของเครื่อง และจะนับด้วยอัตราสูงสุดที่ $1/12$ ของความเร็วสัญญาณนาฬิกาของโปรแกรมเซสเซอร์

เมื่อทำงานเป็นวงจรรนับ

รีจิสเตอร์วงจรรนับจะเพิ่มขึ้นหนึ่งเมื่อมีสัญญาณป้อนให้อินพุต T0, T1 หรือ T2 (T2 มีเฉพาะ 8052) เป็นขอบสัญญาณขาลง อัตราการนับสูงสุดคือ $1/25$ ของความเร็วสัญญาณนาฬิกาของโปรเซสเซอร์ วงจรรนับและวงจรตั้งเวลา 0 และ 1 มีวิธีโปรแกรมให้ทำงานได้ต่างกันถึง 4 แบบ รวมทั้งการทำงานเป็น 8 บิต และการบรรจุค่าพีรีเซตหนึ่งค่าได้อย่างอัตโนมัติ

วงจรรนับและวงจรตั้งเวลาที่ 1 เลือกโปรแกรมให้ทำหน้าที่ เป็นตัวกำเนิดสัญญาณของอัตราการส่งบิตออกไปอย่างอนุกรม สำหรับใช้ในการอินเตอร์เฟสได้

วงจรรนับและวงจรตั้งเวลาที่ 2 (เฉพาะ 8052 เท่านั้น) มีการทำงานย่อยๆ อีก 3 ชนิด

1. วงจรรนับ 16 บิตที่สามารถโหลดค่ากลับคืนเองอย่างอัตโนมัติ
2. วงจรรนับที่จองไว้ ชนิด 16 บิต
3. วงจรกำเนิดสัญญาณของการส่งบิตเพื่อใช้อินเตอร์เฟส

พอร์ตชนิดอนุกรมอยู่ใน

ไมโครคอนโทรลเลอร์ทั้งหมดในตระกูล MCS 51 เป็นชิปที่มีอินเตอร์เฟสอนุกรมชนิดสองทิศทาง ทำให้รับและส่งข้อมูลพร้อมกัน ตัวรับข้อมูลชนิดอะซิงโครนัส (asynchronous receiver) มีบัฟเฟอร์สำหรับข้อมูลเป็นพิเศษเพื่อเพิ่มความเร็วในการสื่อสาร

พอร์ตชนิดอนุกรมนี้เราสามารถเลือกโปรแกรม เพื่อเลือกใช้การทำงานแบบใดแบบหนึ่งใน 4 แบบ ด้วยการใส่โปรแกรมควบคุมอัตราการส่งข้อมูลและรูปแบบของข้อมูล

อัตราการส่งข้อมูลที่เลือกใช้ได้จะสูงถึง 19,200 บิต / วินาที ด้วยความเร็วของสัญญาณนาฬิกา 1

เมกะเฮิร์ตซ์ สำหรับใช้ในระบบการสื่อสารของโปรเซสเซอร์หลายตัวร่วมกัน เราจะเลือกความเร็วของสัญญาณนาฬิกาด้วยวงจรรนับและวงจรตั้งเวลา

อินเทอร์รัพต์และชุดคำสั่ง

8051 รับการอินเทอร์รัพต์ได้ 5 แหล่ง ส่วน 8052 รับอินเทอร์รัพต์จากอุปกรณ์อื่นๆ ได้ถึง 6 แหล่ง คือ ขา INTO และขา INT1 (กำหนดให้ใช้ระดับพัลส์หรือขอบขาพัลส์ก็ได้) วงจรรนับและวงจรตั้งเวลาที่ 0 และ 1 (สำหรับ 8052 เพิ่มวงจรตั้งเวลา / วงจรรนับตัวที่ 2) และสุดท้ายจากพอร์ตอนุกรม เราสามารถกำหนด ลำดับความสำคัญของอินเทอร์รัพต์ได้ 2 ระดับ โดยไม่ต้องอาศัยวงจรภายนอกช่วย แต่ละแหล่งของอินเทอร์รัพต์ 5 หรือ 6 แหล่งนั้นจะกำหนดเป็นเวกเตอร์เฉพาะ (ตัวชี้แอดเดรส)

ดังนั้นเมื่อมีอินเทอร์รัพต์เข้ามาแล้วตัวโปรเซสเซอร์จะกระโดดไปที่ส่วนของโปรแกรมที่ทำงานตามวัตถุประสงค์ของอินเทอร์รัพต์นั้น หลังจากเก็บข้อมูลต่างๆ ของโปรแกรมเคาน์เตอร์ลงในสแต็ก ชุดคำสั่งทั้งหมดของตัวคอนโทรลเลอร์ในตระกูล MCS

ตัวจับเวลา/ ตัวนับ (Timer/Counter)

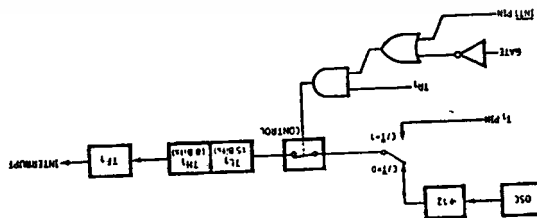
ในเบอร์ 8031 นี้ จะมีตัวจับเวลา/ตัวนับขนาด 16 บิต จำนวน 2 ตัว คือ ไทเมอร์/เคาน์เตอร์ 0 และ ไทเมอร์/เคาน์เตอร์ 1 โดยแต่ละตัวสามารถที่จะกำหนดให้ทำงานเป็นตัวจับเวลาหรือตัวนับได้โดยการเซตหรือเคลียร์บิต C/T ที่ตัวรีจิสเตอร์ควบคุม TMOD ซึ่งอยู่ในกลุ่มรีจิสเตอร์ฟังก์ชันพิเศษ

ในการกำหนดให้ทำงานเป็นตัวจับเวลา ตัวรีจิสเตอร์ TH1 และ TL1 ซึ่งทำหน้าที่เป็นตัวเก็บค่าจำนวนพัลส์ที่เข้ามาจะเพิ่มค่าทุกๆ แมกซ์ไซเคิล โดยแต่ละแมกซ์ไซเคิลจะประกอบด้วย 12 คาบของสวิตชเลเตอร์ ดังนั้นอัตราการนับแต่ละครั้งจะใช้เวลาเท่ากับ $1/12$ ของความถี่ของสวิตชเลเตอร์ ซึ่งส่วนใหญ่จะใช้ในงานอินเทอร์รัพต์ RTC (Real Time Clock)

และถ้าให้ทำงานเป็นตัวนับ รีจิสเตอร์ตัวนับจะเพิ่มค่าทุกครั้งที่มีการเปลี่ยนแปลงสถานะจาก “1” เป็น “0” ที่ขา T0 หรือ T1 โดยอัตราความถี่สูงสุดที่สามารถนับได้ต้องไม่เกิน $1/24$ ของความถี่ของสวิตชเลเตอร์

ตัวจับเวลา/ตัวนับ สามารถโปรแกรมให้มันทำงานได้ต่างกันถึง 4 โหมด โดยการตั้งค่าในรีจิสเตอร์ TMOD ซึ่งจะกล่าวถึงการทำงานของแต่ละโหมดดังนี้

โหมด 0 รีจิสเตอร์ตัวนับจะถูกกำหนดให้มี 13 บิต ประกอบด้วยรีจิสเตอร์ TH1 8 บิต และ TL1 อีก 5 บิตอันดับต่ำ ซึ่งสามารถกำหนดให้เป็นตัวจับเวลา หรือ ตัวนับได้โดยเซตหรือเคลียร์ที่บิต C/T ในตัวรีจิสเตอร์ TMOD การทำงานของรีจิสเตอร์ตัวนับจะนับขึ้นครั้งละ 1 เมื่อมีสัญญาณเข้ามา 1 ลูกและเมื่อนับจนเป็น “1” หมดทุกบิต ก็จะกลับมาเป็น “0” หมดทุกบิตใหม่ ซึ่งจะเป็นการเกิดโอเวอร์โฟลว์ (Overflow) ไปทศแฟล็กอินเทอร์รัพต์ TF1 ให้เป็น “1” ลักษณะวงจรเป็น ดังรูปที่ 6.7

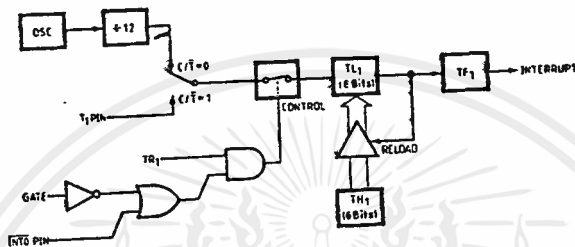


รูปที่ 6.7 แสดงวงจรการทำงานของตัวจับเวลา/ตัวนับที่ 1 ในโหมด 0 และโหมด 1

เอกสารนี้เป็นเอกสารที่สงวนไว้สำหรับการใช้งานเพื่อการศึกษาเท่านั้น ไม่อนุญาตให้นำไปใช้ประโยชน์ด้านการค้า ไม่ว่ากรณีใดๆ ทั้งสิ้น อีกทั้งห้ามมิให้ตัดแปลงเนื้อหาและต้องอ้างอิงถึงเจ้าของเอกสารทุกครั้งที่มีการนำไปใช้

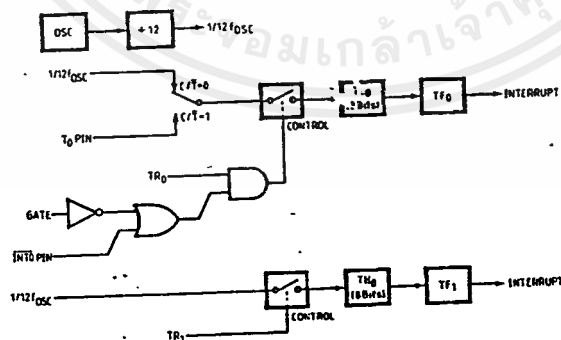
โหมด 1 การทำงานจะเหมือนกับโหมด 0 ทุกอย่างยกเว้นรีจิสเตอร์ตัวนับจะเป็นขนาด 16 บิต

โหมด 2 จะใช้รีจิสเตอร์ TL1 เป็นตัวนับเพียงตัวเดียวและเมื่อ TL1 นับจนเป็น "1" หมดทุกบิต ก็จะมีการโหลดค่าจากรีจิสเตอร์ TH1 เข้าไปไว้ใน TL1 โดยอัตโนมัติและทำการทดเฟล็กอินเตอร์รัพต์ TF1 ให้เป็น "1" ค่าใน TH1 นี้เราสามารถตั้งค่าได้ด้วยซอฟต์แวร์ ลักษณะ วงจรแสดงในรูปที่ 6.9



รูปที่ 6.9 แสดงวงจรการทำงานของตัวจับเวลา/ตัวนับ ที่ 1 ในโหมด 2

โหมด 3 เป็นการเพิ่มตัวจับเวลาขึ้นอีก 1 ตัว แต่จะเป็นขนาด 8 บิตทั้งคู่ ซึ่งลักษณะการทำงานอื่นๆ จะเหมือนกับโหมด 0 การทำงานแสดงในรูปที่ 6.10



รูปที่ 6.10 วงจรการทำงานของตัวจับเวลา/ตัวนับที่ 0 ในโหมด 3

เอกสารนี้เป็นเอกสารที่สงวนไว้สำหรับการใช้งานเพื่อการศึกษาเท่านั้น ไม่อนุญาตให้นำไปใช้ประโยชน์ด้านการค้า ไม่ว่ากรณีใดๆ ทั้งสิ้น อีกทั้งห้ามมิให้ตัดแปลงเนื้อหาและต้องอ้างอิงถึงเจ้าของเอกสารทุกครั้งที่มีการนำไปใช้

สำหรับรายละเอียดบิตควบคุมในรีจิสเตอร์ TMOD และ รีจิสเตอร์ TCON มีดังต่อไปนี้

แสดงบิตควบคุมที่อยู่ในรีจิสเตอร์ TMOD

TIMER/COUNTER1				TIMER/COUNTER 0			
GATE	C/T	M1	M0	GATE	C/T	M1	M0

GATE : เซตเป็น “1” จะเป็นการอินเวิลต์ตัวจับเวลา/ตัวนับให้ถูกควบคุมด้วยขา INTx ต้องมีสถานะสูงและบิต TRX ใน TCON ต้องเซตเป็น “1” จึงจะเริ่มทำงาน แต่ถ้า GATE เป็น “0” ตัวจับเวลา/ตัวนับจะถูกควบคุมให้เริ่มทำงานด้วยบิต TRX เท่านั้น

C/T : เป็นบิตควบคุมในการเลือกทำงานเป็นตัวจับเวลาหรือตัวนับ ถ้าเป็น “0” จะทำงานเป็นตัวจับเวลา ถ้าเป็น “1” ทำงานเป็นตัวนับ

M1,,M0: เป็นตัวเลือกโหมดการทำงานดังนี้

M1	M0	โหมดการทำงาน
0	0	โหมด 0
0	1	โหมด 1
1	0	โหมด 2
1	1	โหมด 3

แสดงบิตควบคุมที่อยู่ภายในรีจิสเตอร์ TCON

TF ₁	TR ₁	TF ₀	TR ₀	IE ₁	IT ₁	IE ₀	IT ₀
-----------------	-----------------	-----------------	-----------------	-----------------	-----------------	-----------------	-----------------

TFx : เป็นแฟล็กอินเตอร์รัพต์จะถูกเซตด้วยฮาร์ดแวร์เมื่อเกิดโอเวอร์โวลท์ของตัวจับเวลา/ตัวนับ และ จะเคลียร์ตัวเองโดยอัตโนมัติเมื่อทำงานอินเตอร์รัพต์นั้นเสร็จเรียบร้อยแล้ว

TRx : เป็นบิตควบคุมให้ตัวจับเวลา/ตัวนับเริ่มทำงานโดยการเซตให้เป็น “1” และให้หยุดทำงานด้วยการเคลียร์ให้เป็น “0” โดยซอฟต์แวร์

IEx : เป็นแฟล็กอินเตอร์รัพต์จากสัญญาณภายนอก เซตด้วยฮาร์ดแวร์เมื่อมีสัญญาณขอการอินเตอร์รัพต์ปรากฏที่ขา INTx และจะเคลียร์ตัวเองโดยอัตโนมัติเมื่อกระโดดไปทำงานบริการอินเตอร์รัพต์ที่ขอมาเรียบร้อยแล้ว

ITx : เป็นบิตควบคุมรูปแบบสัญญาณอินเตอร์รัพต์ภายนอกจะเซต/เคลียร์ด้วยซอฟต์แวร์ โดยถ้าเซตเป็น “1” จะถูกอินเตอร์รัพต์ด้วยสัญญาณขอบขาและ ถ้าเคลียร์เป็น “0” จะถูก

อินเทอร์รัพต์ด้วยสัญญาณของขาลงและถ้าเก็ลียร์เป็น “0” จะถูกอินเทอร์รัพต์ด้วยสัญญาณระดับแรงดันต่ำ

หมายเหตุ x หมายถึงเลข 1 หรือเลข 0

**** ซึ่งในที่นี้ใช้โหมด 2 รีจิสเตอร์ TMOD ถูกเซตให้มีค่าเท่ากับ B7H**

พอร์ตอนุกรม

MCS-51 จะมีพอร์ตอนุกรมเป็นแบบฟูลดูเพล็กซ์ (full duplex) สามารถที่จะส่งและรับข้อมูลได้พร้อมกันเพราะมีบัฟเฟอร์ 2 ตัว ใช้ในการรับตัวหนึ่งและส่งตัวหนึ่ง โดยโครงสร้างของรีจิสเตอร์บัฟเฟอร์ทั้ง 2 ตัวนี้จะแยกกันแต่การติดต่อจะใช้ชื่อเดียวกันคือ SBUF พอร์ตอนุกรมของ MCS-51 สามารถที่จะโปรแกรมให้ทำงานได้แตกต่างกัน 4 โหมด

โหมด 0 ข้อมูลจะเข้าและออกทางขา RXD โดยการเลื่อนสัญญาณนาฬิกาออกที่ขา TXD ข้อมูลจะเป็น 8 บิต โดยจะส่งบิตนัยสำคัญต่ำ (LSB) ก่อน อัตราบอดจะคงที่ที่ $1/12$ ของความถี่ออสซิลเลเตอร์

โหมด 1 เป็นการรับ/ส่งข้อมูลขนาด 10 บิต โดยการส่งออกทางขา TXD และรับเข้าทางขา RXD รูปแบบบิตจะประกอบด้วย 1 บิตสตาร์ทเป็น “0”, 8 บิตข้อมูล และ 1 บิตอ็อปบิตเป็น “1” อัตราบอด (baud rate) แปรผันได้ตามการตั้งตัวจับเวลาตัวที่ 1 โดยมีสูตรดังนี้

$$\text{อัตราบอด} = \frac{2^{\text{SMOD}}}{32} \times \frac{\text{ความถี่ออสซิลเลเตอร์}}{12 \times (256 - \text{TH1})}$$

โหมด 2 เป็นการรับส่งข้อมูลขนาด 11 บิต เข้าทางขา RXD และส่งออกทางขา TXD ประกอบด้วย 1 บิต สตาร์ทมีค่า “0”, 9 บิตข้อมูล และ บิตสต็อป โดยการรับข้อมูลบิตที่ 9 จะถูกนำมาเก็บที่บิต RB8 ใน SCON ส่วนการส่งจะต้องใส่บิตที่ 9 ไว้ใน TB8 ของ SCON ส่วนการส่งจะต้องเลือกได้ 2 อัตราคือ $1/32$ หรือ $1/64$ ของความถี่ออสซิลเลเตอร์ขึ้นอยู่กับเซตบิต SMOD ในรีจิสเตอร์ PCON

โหมด 3 จะเหมือนกับโหมด 2 ทุกอย่าง ยกเว้นอัตราบอด จะแปรผันตามการตั้งตัวจับเวลา 1 ซึ่งจะใช้สูตรเดียวกับโหมด 1

แสดงบิตควบคุมที่อยู่ในรีจิสเตอร์ SCON

SM0	SM1	SM2	REN	TB8	RB8	T1	R1
-----	-----	-----	-----	-----	-----	----	----

SM0, SM1 : เป็นตัวกำหนดโหมดการใช้งานของพอร์ตอนุกรมดังนี้

SM0	SM1	โหมด
0	0	0
0	1	1
1	0	2
1	1	3

SM2 : ควบคุมอีนามิลการใช้โปรเซสเซอร์หลายตัวในการสื่อสารซึ่งกันและกัน

REN : ตัวอีนามิลอนุกรมการรับเมื่อเซตเป็น "1" และถ้าเป็น "0" เป็นการดิสเอเบิล

TB8 : เป็นตัวเก็บข้อมูลบิตที่ 9 ที่จะส่งในโหมด 2 และ 3

RB8 : เป็นตัวรับข้อมูลบิตที่ 9 ในโหมด 2 และ 3 ส่วนในโหมด 1 จะเป็นสตอปบิต

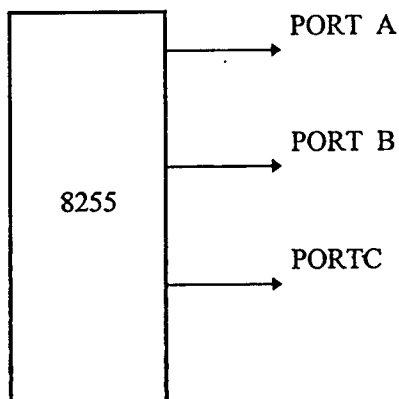
T1 : เป็นแฟลกอินเตอร์รัพต์การเซตด้วยฮาร์ดแวร์ที่ปลายช่วงของบิตที่ 8 ในโหมด 0 หรือที่จุดเริ่มต้นของบิตสตอปในโหมดอื่น ในการส่งแบบอนุกรมของทุกโหมดจะต้องเคลียร์บิตนี้ด้วยโปรแกรมหลังการส่ง

R1 : เป็นแฟลกอินเตอร์รัพต์การรับ เซตด้วยฮาร์ดแวร์ที่ปลายช่วงของบิตที่ 8 ในโหมด 0 หรือจุดครึ่งของช่วงบิตสตอปในโหมดอื่น ในการรับแบบอนุกรมจะต้องเคลียร์บิตนี้ด้วยโปรแกรมหลังการรับทุกครั้ง

****ซึ่งในที่นี้ใช้โหมด 0 ในการทำงานและ รีจิสเตอร์ SCON ถูกเซตค่าให้มีค่าเท่ากับ 10H**

6.2.2 IC ขยายพอร์ตเบอร์ 8255

ทำหน้าที่ในการติดต่อระหว่างไมโครคอนโทรลเลอร์เบอร์ 8031 กับ ส่วน ฮาร์ดแวร์ ซึ่งจะมีพอร์ตที่ใช้ในการติดต่อกับส่วนฮาร์ดแวร์ต่างๆ ดังแสดงในรูปที่ 6.11



รูปที่ 6.10 แสดงพอร์ตที่ใช้ในการติดต่อกับส่วนฮาร์ดแวร์

จากรูป PORT A จะประกอบด้วย bit ทั้งหมด 8 bit แต่ละ bit ทำงานดังต่อไปนี้

A0 : DIRECTION BASE

A1 : DIRECTION SHOULDER

A2 : DIRECTION ELBOW

A3 : DIRECTION GRIPPER

A4 : BREAK BASE

A5 : BREAK SHOULDER

A6 : BREAK ELBOW

A7 : BREAK GRIPPER

PORT B จะประกอบด้วย บิตทั้งหมด 8 บิต แต่ละบิตทำงานดังต่อไปนี้

B0 : HOME BASE

B1 : HOME SHOULDER

B2 : HOME ELBOW

B3 : HOME HANDUP-DOWN

B4 : HOME HANDRIGHT-LEFT

B5 : PULSE BASE

B6 : PULSE SHOULDER

B7 : PULSE ELBOW

PORT C จะประกอบด้วยบิตทั้งหมด 8 บิต แต่ละบิตทำงานดังต่อไปนี้

C0 : PHASE A

เอกสารนี้เป็นเอกสารที่สงวนไว้สำหรับการใช้งานเพื่อการศึกษาเท่านั้น ไม่อนุญาตให้นำไปใช้ประโยชน์ด้านการค้า
ไม่ว่ากรณีใดๆ ทั้งสิ้น อีกทั้งห้ามมิให้ตัดแปลงเนื้อหาและต้องอ้างอิงถึงเจ้าของเอกสารทุกครั้งที่มีการนำไปใช้

C1 : PHASE B

C2 : PWM

C3 : SELECT STEP

C4 : HIGHT/LOW VOLTAGE

C5 : BUZZER

C6 : _____

C7 : _____

6.3 ส่วนที่เป็นวงจร drive motor ใช้ IC เบอร์ 18245 และ 18200

ในโปรเจกต์ครั้งนี้จะใช้ IC เบอร์ 18245 ในการควบคุมการ drive motor ในส่วน gripper ซึ่งเป็น DC MOTOR และใช้ IC เบอร์ 18200 ในการ drive motor ในส่วนอื่นๆ ที่เป็น DC MOTOR

6.3.1 วงจร DRIVE MOTOR LMD 18245

รายละเอียดของ IC เบอร์ LMD 18245 มีขาสัญญา ดังต่อไปนี้

ขาที่ 1 เป็นขาที่ใช้ต่อเข้ากับมอเตอร์

ขาที่ 4 เป็นขาที่กำหนดการลิมิตกระแสที่จ่ายให้กับมอเตอร์(M4)

ขาที่ 5 เป็นขากราวด์

ขาที่ 6 เป็นขาที่กำหนดค่าลิมิตกระแสที่จ่ายให้กับมอเตอร์(M3)

ขาที่ 7 เป็นขาที่กำหนดค่าลิมิตกระแสที่จ่ายให้กับมอเตอร์(M2)

ขาที่ 8 เป็นขาที่กำหนดค่าลิมิตกระแสที่จ่ายให้กับมอเตอร์(M1)

ขาที่ 9 เป็นขาที่เป็น VCC ของชุด DMOS H-BRIDGE ภายในตัว LMD 18245

ขาที่ 10 เป็นขาที่ใช้ในการ break มอเตอร์

ขาที่ 14 เป็นขา voltage reference ของชุด DAC (M1-M4)

ขาที่ 15 เป็นขาที่ใช้ต่อกับมอเตอร์

ส่วนที่ได้นำมาใช้ในการทำงานอีกส่วนหนึ่งของ LMD 18245 อีกส่วนหนึ่งก็คือ ส่วนทำหน้าที่ในการกำหนดค่า LIMIT CURRENT ที่จ่ายให้กับ มอเตอร์

ในการกำหนดค่าลิมิตกระแสของ LMD 18245 สามารถกำหนดได้จากขา M1-M4 โดยคำนวณจากสูตร

$$\text{LIMIT CURRENT} = \text{VDAC}_{\text{REF}} * D/16$$

เอกสารนี้เป็นเอกสารที่สงวนไว้สำหรับการใช้งานเพื่อการศึกษาเท่านั้น ไม่อนุญาตให้นำไปใช้ประโยชน์ด้านการค้า ไม่ว่าจะกรณีใดๆ ทั้งสิ้น อีกทั้งห้ามมิให้ตัดแปลงเนื้อหาและต้องอ้างอิงถึงเจ้าของเอกสารทุกครั้งที่มีการนำไปใช้

โดยในโปรเจกต์นี้จะใช้ DC มอเตอร์ที่มีการกำหนดค่ากระแสไม่ให้เกินค่า 2 amp โดยในการกำหนดค่า D จาก M1-M4 ที่มีค่าเท่ากับ 7 จะได้ค่า LIMIT CURRENT เท่ากับ 2.1875 amp และถ้ากำหนดค่า D ที่มีค่าเท่ากับ 6 จะได้ค่า LIMIT CURRENT เท่ากับ 1.875 amp ดังนั้นเราจึงเลือกค่า LIMIT CURRENT อยู่ที่ 1.875 amp ได้ค่า D เท่ากับ 6 ดังนั้นเราจึงต่อขา M1 และ M4 ลงกราวด์และขา M2,M3 ขึ้นกับ 5 volts

6.3.2 วงจร DRIVE MOTOR LMD 18200

รายละเอียดของ IC เบอร์ LMD 18200 มีขาที่สำคัญๆ ดังต่อไปนี้

ขาที่ 1 เป็นขาที่ใช้ต่อกับ C-BOOTSTRAP

ขาที่ 2 เป็นขาที่ใช้ต่อเข้ากับมอเตอร์

ขาที่ 3 เป็นขาที่ใช้ในการกำหนดทิศทาง (ขา DIRECTION)

ขาที่ 4 เป็นขาที่ใช้ CONTROL BREAK

ขาที่ 5 เป็นขาที่ใช้ CONTROL PWM

ขาที่ 6 เป็นขาที่เป็น V_s Power Supply

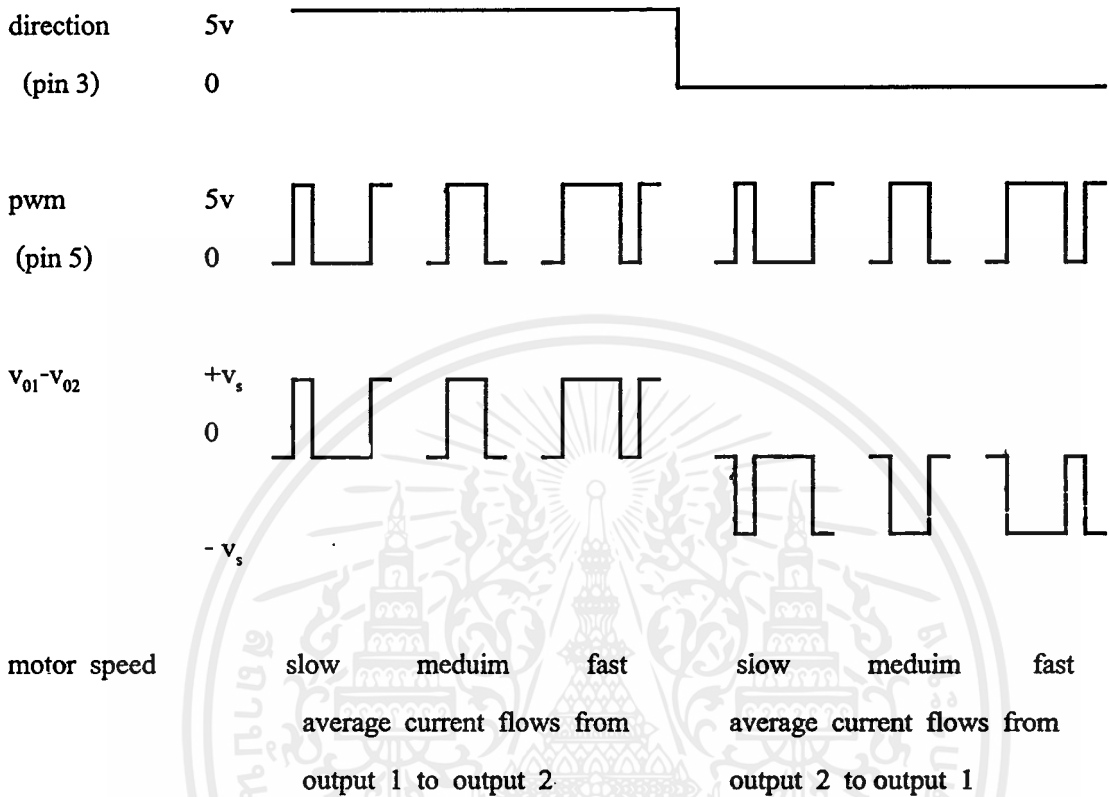
ขาที่ 7 เป็นขากราวด์

ขาที่ 10 เป็นขาที่ใช้ต่อเข้ากับมอเตอร์

ขาที่ 11 เป็นขาที่ใช้ต่อกับ C-BOOTSTRAP

อีกส่วนหนึ่งที่ได้นำมาใช้ในการทำงานก็คือส่วน PWM ซึ่งจะใช้การทำงานแบบ Sign/magnitude PWM ลักษณะสัญญาณต่างๆแสดงในรูปที่ 6.11

Sign/Magnitude PWM Control



รูปที่ 6.11 ลักษณะสัญญาณต่างๆ ในการทำงานแบบ Sign/Magnitude PWM

ลักษณะการทำงานของ PWM ในลักษณะนี้จะประกอบด้วย สัญญาณ direction(sign) และ สัญญาณ amplitude (magnitude) ที่แตกต่างกันซึ่งจะขึ้นอยู่กับกรป้อนแรงดันที่ output ที่แตกต่างกัน(ที่ขา direction ขา3)ทำให้มอเตอร์หมุนในทิศทางที่แตกต่างกันคือทางซ้ายและทางขวาเพราะ ฉะนั้นอัตราเร็วในการหมุนจึงขึ้นอยู่กับ % ของ duty cycle ดังแสดงในรูป (motor speed) แบ่ง เป็น slow ,medium, fast (ที่ขา 5 ขา PWM)

6.4 ส่วนโปรแกรมการควบคุม

ในส่วนของโปรแกรมการควบคุมของแขนกลนี้จะแบ่งเป็นส่วนหลักๆ ได้ 2 ส่วน คือ

1. ส่วนโปรแกรมแอสเซมบลี (โปรแกรม 8051)
2. ส่วนโปรแกรม DELPHI

6.4.1 ส่วนโปรแกรมแอสเซมบลี (โปรแกรม 8051)

เป็นส่วนหลักในการรับคำสั่งในการควบคุมแขนกลจากคอมพิวเตอร์ PC ซึ่งในการรับคำสั่งจะรับคำสั่งจาก serial port ในการรับคำสั่งแต่ละครั้งนั้นจะรับคำสั่งมาทีละ 2 byte ซึ่งในแต่ละไบต์จะมีหน้าที่ในการควบคุม output ของ 8255 ซึ่งติดต่อกับไมโครคอนโทรลเลอร์ 8051 ในการควบคุม motor ในแต่ละส่วนบนแขนกล ข้อมูลบนพอร์ตเหล่านี้มีผลต่อการเลือก drive motor ในชุดที่เราต้องการ ในส่วนหลักของโปรแกรมเราจะเขียนโปรแกรมในลักษณะของการรับ interrupt ของ serial port ในการรับข้อมูลและการติดต่อระหว่าง PC ของ โครงานั้น ในขั้นนี้เราจะติดต่อในลักษณะของ simplex

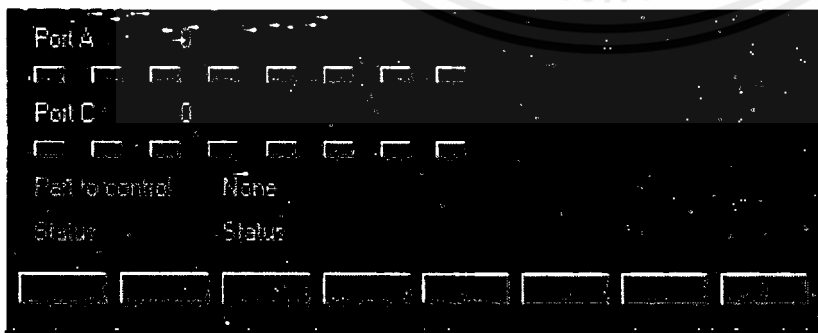
6.4.2 ส่วนโปรแกรม DELPHI

เป็นส่วนที่ใช้ทำหน้าที่ส่งคำสั่งไปควบคุมแขนกลโดยผ่านไมโครคอนโทรลเลอร์ 8051 ซึ่งในส่วนของการควบคุมจะแบ่งเป็น 2 ส่วนก็คือ

1. ส่วนที่ใช้ในการคอนโทรล DC MOTOR
2. ส่วนที่ใช้ในการคอนโทรล STEPPING MOTOR

6.4.2.1 ส่วนที่ใช้ในการคอนโทรล DC MOTOR

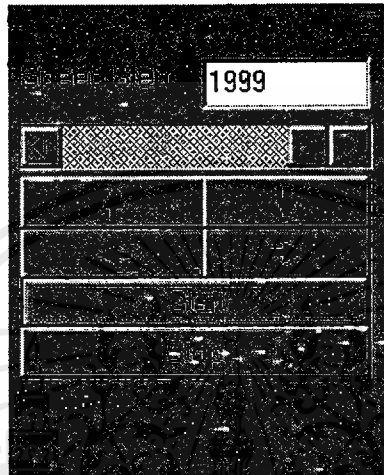
จะเป็นส่วนที่ใช้ในการ check ว่าเราจะควบคุม DC MOTOR ในส่วนใด และ ในทิศทางใด ก็จะส่งเป็นคำสั่งออกมาเป็นไบต์ที่หนึ่ง และ ในส่วนของการควบคุมแรงดันที่จะใช้ในการจ่ายให้กับ DC MOTOR จะอยู่ในบางบิตของคำสั่งควบคุมในไบต์ที่สอง



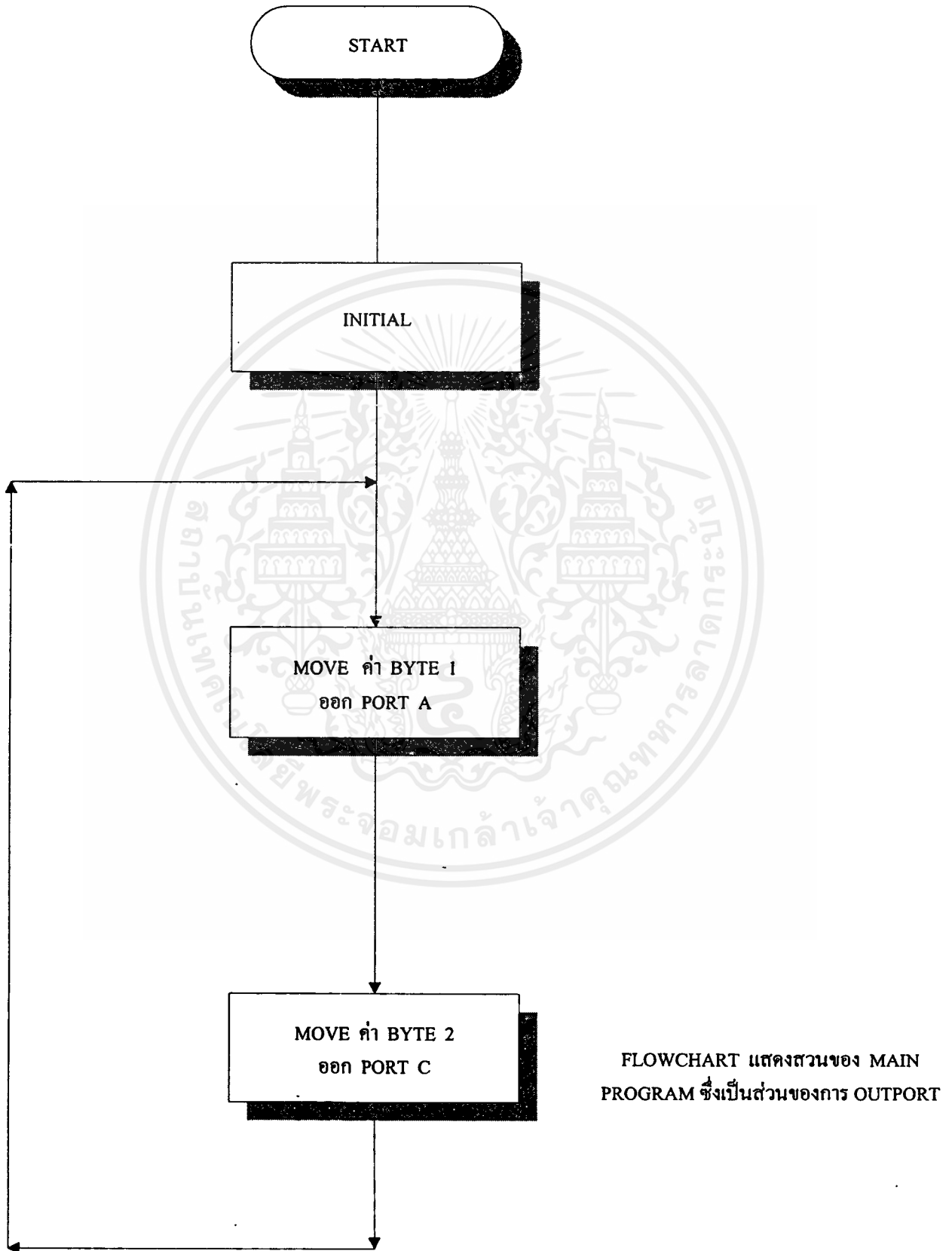
รูปที่ 6.12 รูปแสดงส่วนของโปรแกรม DELPHI บริเวณที่แสดงบิตข้อมูลที่ใช้ส่ง

6.4.2.2 ส่วนที่ใช้ในการคอนโทรลสเตปปีงมอเตอร์

เป็นส่วนที่ใช้ในการคอนโทรลสเตปปีงมอเตอร์ซึ่งมีอยู่ในตัวแกนกล 2 ตัว ในโปรแกรม ส่วนนี้จะเป็นส่วนที่ส่งสัญญาณกำเนิดเฟสในการคอนโทรลโดยการตั้ง timer ในการส่งเฟสเป็นระยะเวลาที่คงที่ซึ่งความเร็วในการเปลี่ยนแต่ละครั้งนั้นเราสามารถปรับเปลี่ยนได้ด้วย speedbar component ซึ่งผลของการเปลี่ยน speedbar component ที่ตำแหน่งต่างๆ จะทำให้ความเร็วในการหมุนของสเตปปีงมอเตอร์เปลี่ยนไป

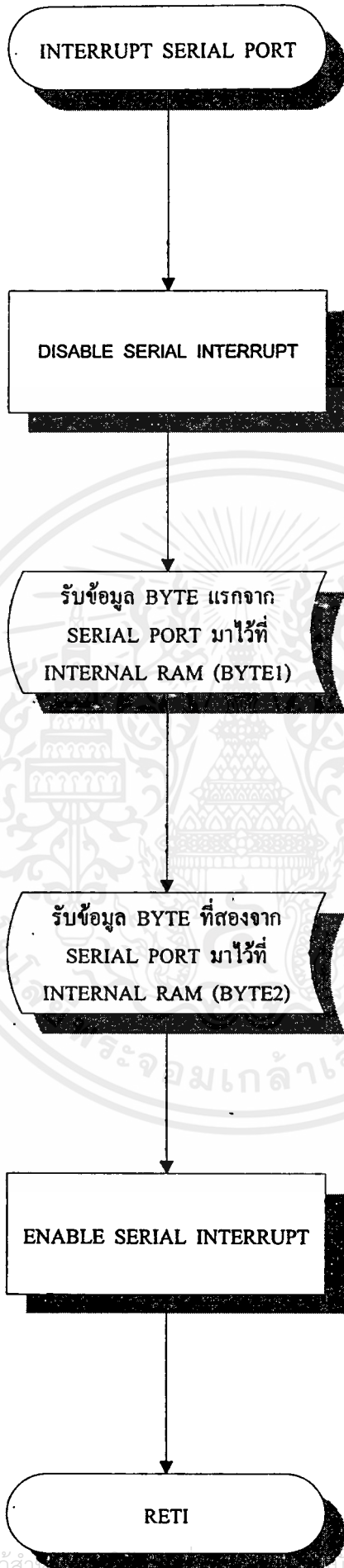


รูปที่ 6.13 รูปแสดงส่วนของโปรแกรม DELPHI ส่วนที่ใช้ปรับความเร็วสเตปปีงมอเตอร์

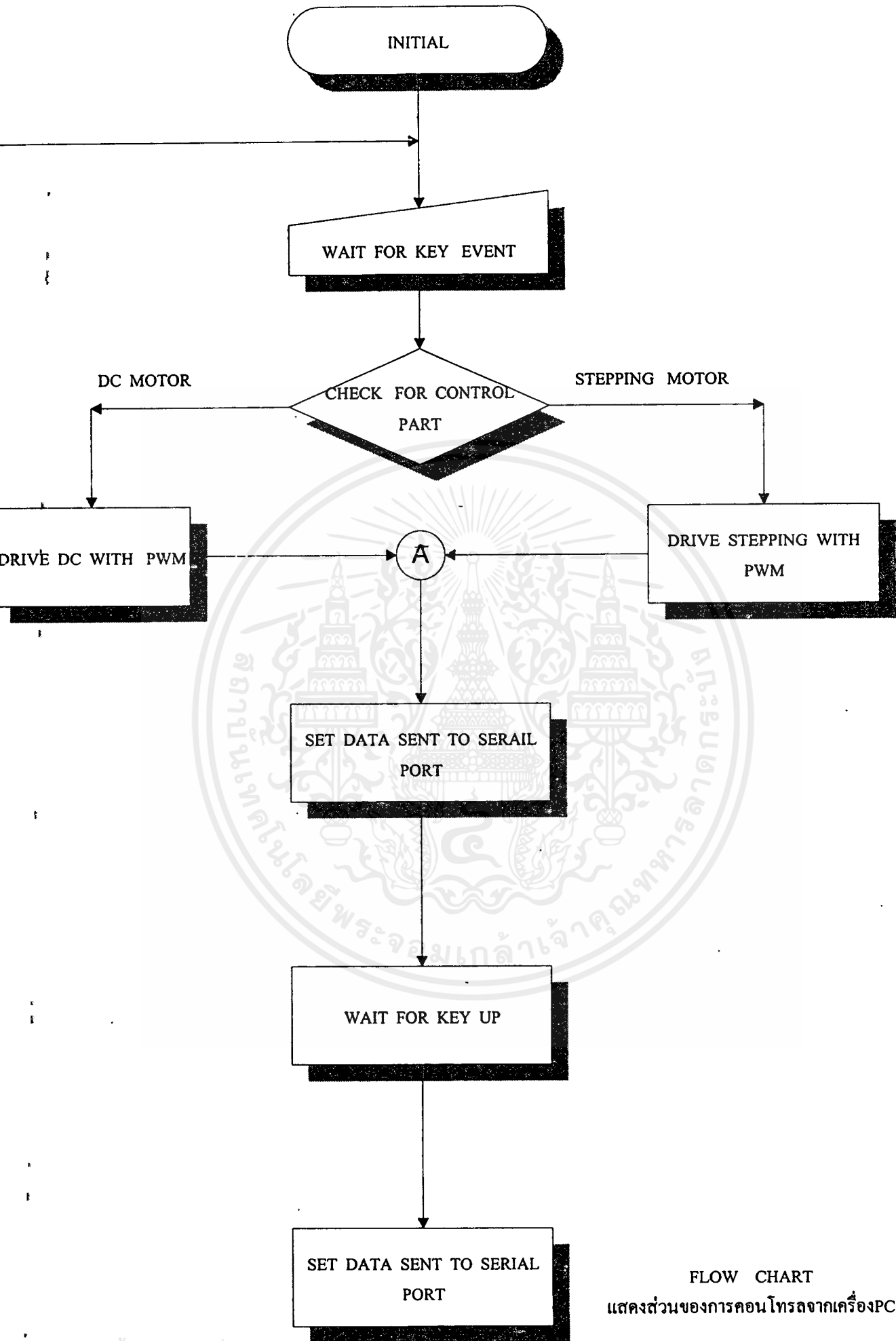


FLOWCHART แสดงส่วนของ MAIN PROGRAM ซึ่งเป็นส่วนของการ OUTPUT

เอกสารนี้เป็นเอกสารที่สงวนไว้สำหรับการใช้งานเพื่อการศึกษาเท่านั้น ไม่อนุญาตให้นำไปใช้ประโยชน์ด้านการค้า ไม่ว่ากรณีใดๆ ทั้งสิ้น อีกทั้งห้ามมิให้ดัดแปลงเนื้อหาและต้องอ้างอิงถึงเจ้าของเอกสารทุกครั้งที่มีการนำไปใช้



FLOW CHART แสดงส่วนของ INTERRUPT ROUTINE



FLOW CHART
แสดงส่วนของการคอนโทรลจากเครื่องPC

เอกสารนี้เป็นเอกสารที่สงวนไว้สำหรับการใช้งานเพื่อการศึกษาเท่านั้น ไม่อนุญาตให้นำไปใช้ประโยชน์ด้านการค้า
ไม่ว่ากรณีใดๆ ทั้งสิ้น อีกทั้งห้ามมิให้คัดแปลงเนื้อหาและต้องอ้างอิงถึงเจ้าของเอกสารทุกครั้งที่มีการนำไปใช้

บทที่ 7

วงจรและส่วนที่ใช้ในการควบคุม

7.1 วงจรสเตปปีงมอเตอร์ (STEPPING MOTOR)

เป็นส่วนที่ใช้ในการควบคุมการเคลื่อนที่ในส่วนที่เป็น สเตปปีงมอเตอร์ซึ่งมีอยู่ 2 ส่วน คือ ส่วนขั้วมือที่ใช้ในการหมุนขั้วมือหมุนขึ้นลง และ ส่วนขั้วมือที่ใช้ในการหมุนขั้วมือไปทางซ้ายและขวา(หมุนรอบขั้วมือ ได้ 360 องศา) และเราสามารถเลือกการทำงานได้ว่าจะให้ทำงานในส่วนใด(เนื่องจากมีวงจรสเตปปีงมอเตอร์ 2 วงจร) โดยจะใช้คำสั่งคำสั่งที่เป็นลอจิก 1 หรือ ลอจิก 0 ในการเลือก โดยจะผ่านพอร์ต C ของ 8255(ขา select) มายังส่วนวงจรเพื่อทำการเลือกส่วนในการทำงาน ซึ่งการทำงานของสเตปปีงมอเตอร์ที่ใช้ในครั้งนี้นั้นจะเป็นแบบ 2 เฟส คังได้อธิบายไว้แล้วในบทที่ 3 ซึ่งจะทำให้มอเตอร์มีกำลังมากขึ้น รูปที่ 7.1 แสดงวงจรส่วนสเตปปีงมอเตอร์

จากรูปที่ 7.1 สามารถอธิบายการทำงานของวงจรสเตปปีงมอเตอร์ ได้ดังนี้ คือ เรารับข้อมูลจาก พอร์ต C ของ 8255 มาเป็นลอจิก 0 หรือ ลอจิก 1 จำนวน 2 bit เพื่อทำการ drive stepping motor ให้ทำงานโดยจะผ่าน IC เบอร์ 74LS138 ซึ่งจะได้ output จำนวน 4 bit ออกมาแต่ยังไม่สามารถนำไป drive motor ได้ จึงต้องผ่านส่วนที่เป็นวงจรเกทก่อนเพื่อทำการแปลงข้อมูลให้เป็นข้อมูลที่สามารถทำให้มอเตอร์ทำงานได้

ลักษณะการทำงานตั้งแต่เมื่อ input(ลอจิก 0 หรือ 1 จำนวน 2 bit) ได้เข้ามาและผ่าน 74LS138 (output 4 bit), วงจรเกทจนได้ output (output 4 bit) ออกมาเป็นดังต่อไปนี้

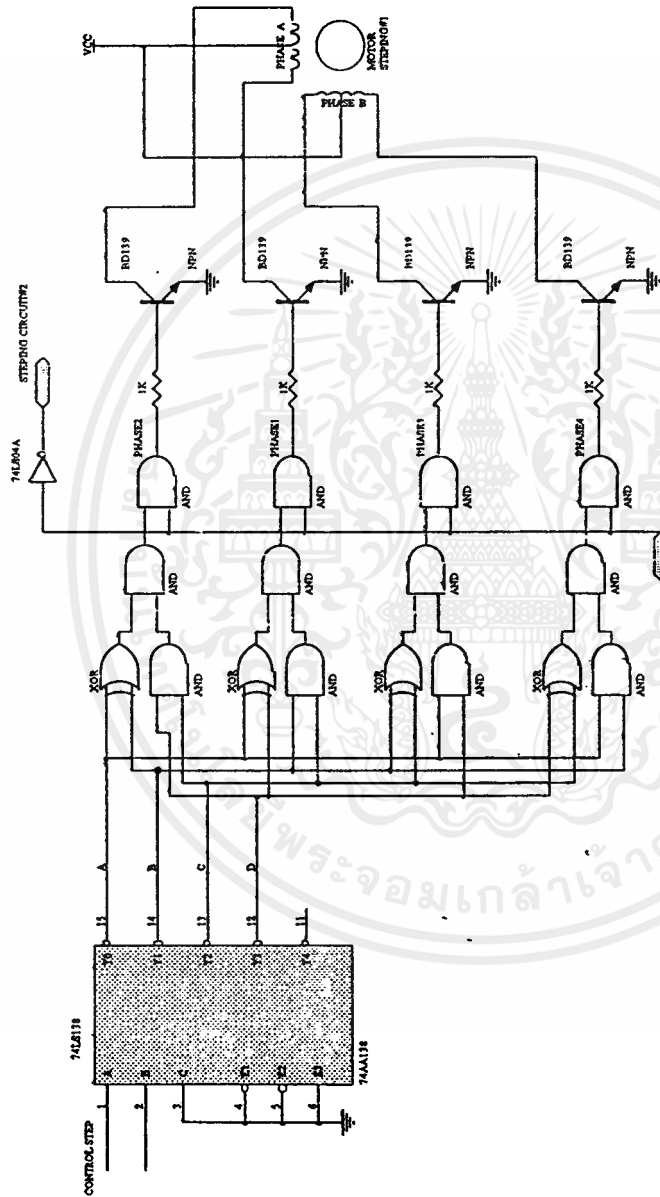
B	A	A	B	C	D	Y1	Y2	Y3	Y4
0	0	0	1	1	1	1	0	0	1
0	1	1	0	1	1	1	1	0	0
1	0	1	1	0	1	0	1	1	0
1	1	1	1	1	0	0	0	1	1

$$Y1 = CD (A \oplus B)$$

$$Y2 = AD (B \oplus C)$$

$$Y3 = AB (C \oplus D)$$

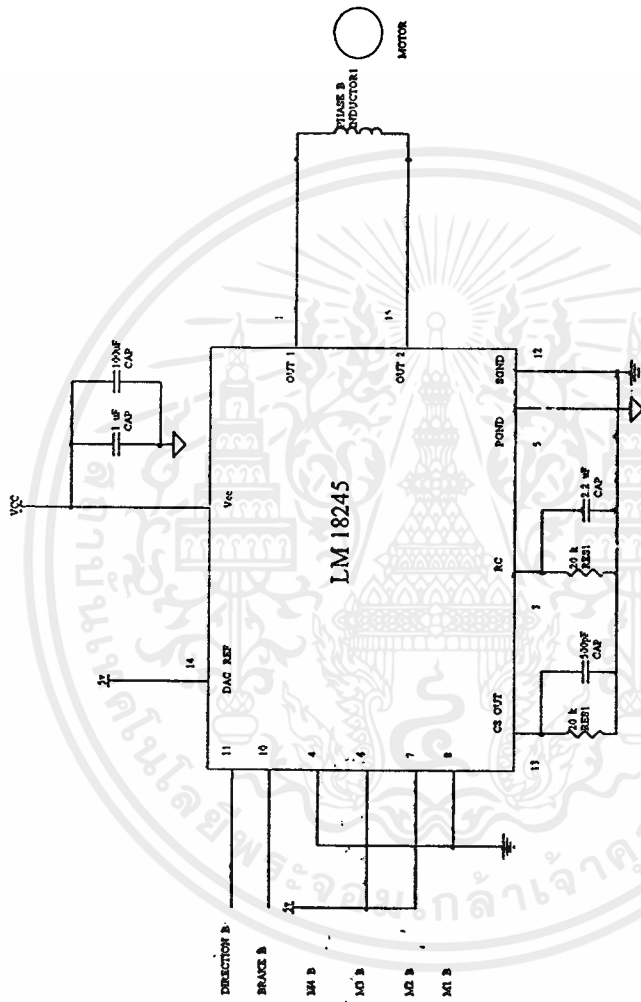
$$Y4 = CB (A \oplus D)$$



Title	
Size	Revision
Sheet	Sheet of
Drawn By	Drawn By
File	File

รูปที่ 7.1 รูปแสดงการต่อวงจรควบคุมสเตปป์ิงมอเตอร์

เอกสารนี้เป็นเอกสารที่สงวนไว้สำหรับการใช้งานเพื่อการศึกษาเท่านั้น ไม่อนุญาตให้นำไปใช้ประโยชน์ด้านการค้า
ไม่ว่ากรณีใดๆ ทั้งสิ้น อีกทั้งห้ามมิให้ตัดแปลงเนื้อหาและต้องอ้างอิงถึงเจ้าของเอกสารทุกครั้งที่มีการนำไปใช้



Title			
Sheet	Number	Revision	
DATE	20/02/1978	SHEET OF	
SITE	KVADON/ENGINEER/01	DRAWING	

รูปที่ 7.3 รูปแสดงการต่อวงจรควบคุม DC MOTOR โดยใช้ IC เบอร์ LMD 18245

เอกสารนี้เป็นเอกสารที่สงวนไว้สำหรับการใช้งานเพื่อการศึกษาเท่านั้น ไม่อนุญาตให้นำไปใช้ประโยชน์ด้านการค้า
ไม่ว่ากรณีใดๆทั้งสิ้น อีกทั้งห้ามมิให้ดัดแปลงเนื้อหาและต้องอ้างอิงถึงเจ้าของเอกสารทุกครั้งที่มีการนำไปใช้

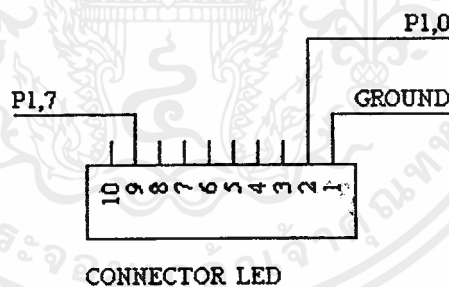
7.2 วงจรในส่วนมอเตอร์กระแสตรง (DC MOTOR)

ในส่วน DC MOTOR นี้จะประกอบด้วย 2 ส่วนหลักๆ ด้วยกันคือ ส่วนวงจร SUPPLY ที่ใช้เป็นตัวป้อนไฟลงที่เลี้ยงวงจร drive dc motor แสดงในรูปที่ 7.2 และ ส่วนที่สองก็คือส่วน dc motor ซึ่งส่วนใช้ dc motor เป็นส่วนควบคุมในการเคลื่อนที่นั้นจะมีอยู่ทั้งหมด 4 ส่วน คือ ส่วน base , ส่วน shoulder , ส่วน elbow ซึ่งใน 3 ส่วนนี้จะใช้ IC เบอร์ LMD 18200 ในการควบคุมการเคลื่อนที่เนื่องจากมีส่วนที่สามารถควบคุมความเร็วในการเคลื่อนที่ได้ (ส่วน PWM) และ ส่วนสุดท้ายคือ ส่วน gripper (ที่เป็นตัวจับวัตถุ) จะใช้ IC เบอร์ LMD 18245 ในการควบคุมการเคลื่อนที่เนื่องจากมีส่วนที่สามารถ ลิมิตกระแสได้ซึ่งจะใช้เป็นส่วนในการควบคุมการจับวัตถุโดยถ้ากระแสเกินที่เราลิมิตเอาไว้แล้วมันจะทำการลิมิตกระแสลงที่ไว้เท่ากับค่ากระแสที่ลิมิตไว้ วงจรของส่วน drive dc motor ของ IC เบอร์ LMD 18245 และ IC เบอร์ LMD 18200 แสดงไว้ในภาคผนวก และรูป ส่วนวงจรของ IC เบอร์ LMD 18245 และ LMD18200 แสดงในรูปที่ 7.3 และ 7.4 ตามลำดับ

7.3 ส่วนที่ใช้ในการเชื่อมต่อกับส่วนต่างๆ (CONNECTER BOARD)

จะประกอบด้วยส่วน connecter ต่าง ๆ ดังต่อไปนี้

7.3.1 ส่วน CONNECT LED



ขาที่ 1 เป็นขา ground

ขาที่ 2 เป็นขาติดต่อกับ led ตัวที่ 1

ขาที่ 3 เป็นขาติดต่อกับ led ตัวที่ 2

ขาที่ 4 เป็นขาติดต่อกับ led ตัวที่ 3

ขาที่ 5 เป็นขาติดต่อกับ led ตัวที่ 4

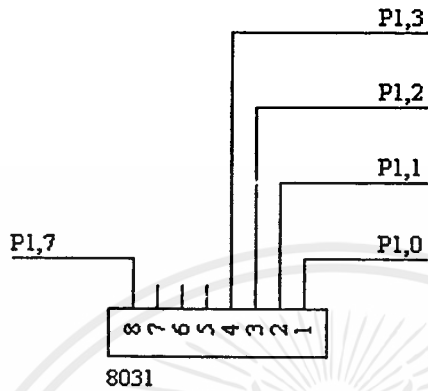
ขาที่ 6 เป็นขาติดต่อกับ led ตัวที่ 5

ขาที่ 7 เป็นขาติดต่อกับ led ตัวที่ 6

ขาที่ 8 เป็นขาคิดต่อกับ led ตัวที่ 7

ขาที่ 9 เป็นขาคิดต่อกับ led ตัวที่ 8

7.3.2 ส่วน CONNECT 8031



ส่วน connect ส่วนนี้จะนำไปต่อเข้ากับ IC เบอร์ 74LS 244 แล้วนำไปต่อเข้ากับส่วน connect led เพื่อติดต่อกับ led แต่ละตัว

ขาที่ 1 ติดต่อกับ connect led ขาที่ 2

ขาที่ 2 ติดต่อกับ connect led ขาที่ 3

ขาที่ 3 ติดต่อกับ connect led ขาที่ 4

ขาที่ 4 ติดต่อกับ connect led ขาที่ 5

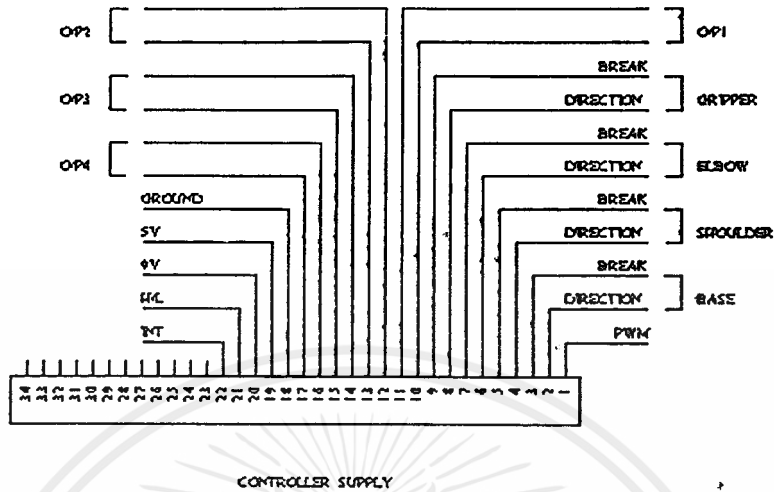
ขาที่ 5 ติดต่อกับ connect led ขาที่ 6

ขาที่ 6 ติดต่อกับ connect led ขาที่ 7

ขาที่ 7 ติดต่อกับ connect led ขาที่ 8

ขาที่ 8 ติดต่อกับ connect led ขาที่ 9

7.3.3 ส่วน CONNECT SUPPLY AND DC MOTOR



ขาที่ 1 เป็นขาที่ติดต่อกับส่วน PWM ในส่วน dc motor

ขาที่ 2 เป็นขาที่ติดต่อกับส่วน direction base

ขาที่ 3 เป็นขาที่ติดต่อกับส่วน break base

ขาที่ 4 เป็นขาที่ติดต่อกับส่วน direction shoulder

ขาที่ 5 เป็นขาที่ติดต่อกับส่วน break shoulder

ขาที่ 6 เป็นขาที่ติดต่อกับส่วน direction elbow

ขาที่ 7 เป็นขาที่ติดต่อกับส่วน break elbow

ขาที่ 8 เป็นขาที่ติดต่อกับส่วน direction gripper

ขาที่ 9 เป็นขาที่ติดต่อกับส่วน break gripper

ขาที่ 10 และ 11 เป็นขาที่ติดต่อกับส่วน output base ที่ต่อกับมอเตอร์ในส่วนฐาน

ขาที่ 12 และ 13 เป็นขาที่ติดต่อกับส่วน output shoulder ที่ต่อกับมอเตอร์ในส่วนหัวไหล่

ขาที่ 14 และ 15 เป็นขาที่ติดต่อกับส่วน output elbow ที่ติดต่อกับมอเตอร์ในส่วนข้อศอก

ขาที่ 16 และ 17 เป็นขาที่ติดต่อกับส่วน output gripper ที่ติดต่อกับมอเตอร์ในส่วนมือจับ

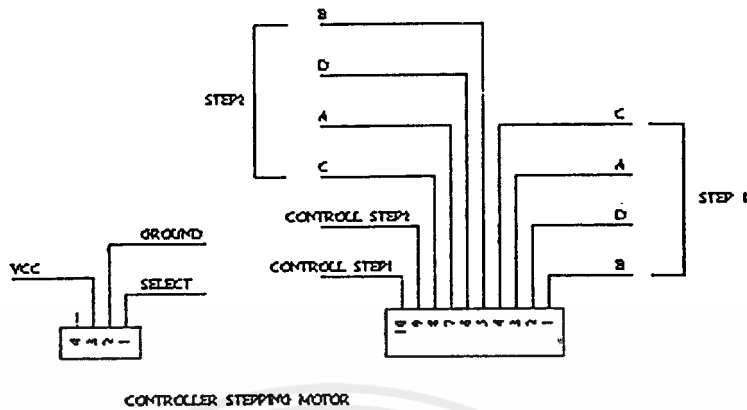
ขาที่ 18 เป็นขา ground

ขาที่ 19 เป็นขาไฟเลี้ยงคงที่ 5 v

ขาที่ 20 เป็นขาไฟเลี้ยงคงที่ 9 v

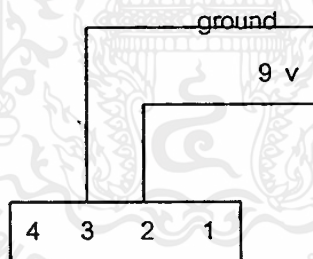
ขาที่ 21 เป็นขา H/L เป็นขาเลือก voltage ที่จะป้อนให้ส่วนควบคุม dc motor ซึ่งที่ high เท่ากับ 12 v และ ที่ low เท่ากับ 6 v

7.3.4 ส่วน CONNECT STEPPING MOTOR



ขาที่ 1 ถึง 4 เป็นขา output stepping motor ในส่วนหมุนข้อมือ ซ้าย-ขวา
ขาที่ 5 ถึง 8 เป็นขา output stepping motor ในส่วนหมุนข้อมือ ขึ้น-ลง
ขาที่ 9 และ 10 เป็นขา input ที่ติดต่อกับส่วนวงจรควบคุม stepping motor ซึ่งจะรับข้อมูลเป็นลอจิก

7.3.5 ส่วน CONNECT SUPPLY MICROCONTROLLER



ขาที่ 2 เป็นขาไฟเลี้ยงบอร์ด ไมโครคอนโทรลเลอร์ 9 v

ขาที่ 3 เป็นขา ground

7.3.6 ส่วน CONNECT ROBOT ARM

13	12	11	10	9	8	7	6	5	4	3	2	1
	25	24	23	22	21	20	19	18	17	16	15	14

- ขาที่ 1 ถึง ขาที่ 6 เป็นส่วนติดต่อกับส่วน stepping motor ที่ใช้หมุนข้อมือไปทางซ้ายและขวา
- ขาที่ 7 ถึง ขาที่ 8 เป็นส่วนติดต่อกับส่วน elbow
- ขาที่ 9 ถึง ขาที่ 10 เป็นส่วนติดต่อกับส่วน base
- ขาที่ 11 ถึง ขาที่ 12 เป็นส่วนติดต่อกับส่วน gripper
- ขาที่ 13 และขาที่ 25 เป็นส่วนติดต่อกับส่วน shoulder
- ขาที่ 19 ถึง ขาที่ 24 เป็นส่วนติดต่อกับส่วน stepping motor ที่ใช้หมุนข้อมือขึ้น - ลง

7.3.7 ส่วน CONNECT SENSOR

13	12	11	10	9	8	7	6	5	4	3	2	1
	25	24	23	22	21	20	19	18	17	16	15	14

- ขาที่ 1 เป็นขาไฟเลี้ยงวงจร 5 volts
- ขาที่ 2 เป็นขา ground
- ขาที่ 3 เป็นขา home base
- ขาที่ 4 เป็นขา home shoulder
- ขาที่ 5 เป็นขา home elbow
- ขาที่ 6 เป็นขา home hand connector up- down
- ขาที่ 7 เป็นขา home hand connector left-right
- ขาที่ 8 เป็นขา pulse base
- ขาที่ 9 เป็นขา pulse shoulder
- ขาที่ 10 เป็นขา pulse elbow

บทที่ 8

ผลการทดลอง

8.1 ด้าน mechanic

ส่วนของฐานแขนกลสามารถหมุนได้ 360 องศาและสามารถรับน้ำหนักของแขนกลทั้งหมดได้เนื่องจากมอเตอร์กระแสตรงที่ใช้มีกำลังในการขับพอที่จะทำให้ส่วนฐานสามารถที่จะหมุนได้ และเนื่องจากมีการใช้เฟืองเป็นตัวทวนซึ่งที่ส่วนฐานจะใช้เฟืองซึ่งมีขนาดใหญ่และทวนกำลังจากเฟืองซึ่งมีซี่เฟืองน้อย ไปซึ่งซี่เฟืองมากทำให้มีกำลังในการหมุนเพียงพอ

ส่วนของหัวไหล่สามารถเคลื่อนที่ขึ้นลงได้ตามปกติโดยไม่ติดขัด โดยการใช้มอเตอร์กระแสตรงในการขับให้ส่วนหัวไหล่สามารถเคลื่อนที่ได้และมีแรงพอที่จะรับโหลดในท่อนบนได้และใช้เฟืองเป็นตัวทวนกำลังเช่นเดียวกัน

ส่วนของ ข้อศอกสามารถเคลื่อนที่ขึ้นลงได้แต่ถ้าเคลื่อนลงมากเกินไปจะไม่สามารถยกวัตถุขึ้นได้เนื่องจากเฟืองที่ใช้ทวนกำลังมีแรงไม่พอทำให้เมื่อยกแขนขึ้นจะเกิดการ slip ของซี่สายพาน ซึ่งควรจะหาสายพานที่มีขนาดใหญ่มาเปลี่ยนหรือออกแบบให้แขนท่อนบนมีน้ำหนักที่น้อยลง

ส่วนข้อมือในส่วนนี้จะใช้ stepping motor ในการหมุนข้อมือไปทางซ้ายและขวาและหมุนข้อมือขึ้นลงซึ่งจากการทดลองก็สามารถหมุนได้แต่จะมีการติดขัดในบางจังหวะเนื่องจากการออกแบบทางด้าน mechanic และกำลังของสเต็ปปีงมอเตอร์ซึ่งยังน้อยอยู่ไม่สามารถที่จะหมุนได้อย่างต่อเนื่อง

ส่วนมือจับ สามารถจับวัตถุได้ตามต้องการ โดยสามารถอำมือจับและบีบจับวัตถุได้ โดยในส่วนนี้ได้ใช้ มอเตอร์กระแสตรงในการควบคุมการเคลื่อนที่โดยใช้ ic เบอร์ LMD 18245 เป็นตัวควบคุมในการกำจัดกระแสเพื่อใช้ในการบีบจับวัตถุ

8.2 ด้าน HARDWARE

ประกอบด้วย 3 ส่วนคือ

1. ส่วนข้อมือใช้สเต็ปปีงมอเตอร์ควบคุมในการหมุนข้อมือ ไปทางซ้ายและขวาและหมุนข้อมือขึ้นลง

จากการทดลองในส่วนนี้ก็พบว่าสามารถหมุนข้อมือได้ตามปกติแต่ก็มีติดขัดบ้างซึ่งไม่ได้เกิดจากส่วนวงจรสเต็ปปีงมอเตอร์และวงจรนี้ก็สามารถทำงานได้ตามที่ต้องการ โดยเมื่อป้อนลอจิกเข้าไปตามที่อธิบายไว้ในบทที่ 7 ก็พบว่าสามารถให้ผลลัพธ์ที่ถูกต้องคือสามารถขับให้มอเตอร์หมุนไปในทิศทางที่ถูกต้องตามที่ได้คำนวณไว้

2. ส่วนมือจับใช้มอเตอร์กระแสตรงและ IC เบอร์ LMD 18245 ในการควบคุมการเคลื่อนที่ของส่วนมือจับและการจับวัตถุ

จากการทดลองวงจรซึ่งใช้ LMD 18245 ในการควบคุมการบีบจับวัตถุนั้นสามารถทำให้มือจับสามารถทำการจับวัตถุได้เป็นอย่างดีสามารถทำงานตามที่โปรแกรมไว้ได้อย่างถูกต้อง

3. ส่วนที่เคลื่อนที่โดยใช้ IC เบอร์ LMD 18200 ในการควบคุมการเคลื่อนที่

ซึ่งส่วนที่ใช้ควบคุมได้แก่ส่วนฐาน ส่วนหัวไหล่ ส่วนข้อศอก ซึ่งวงจรที่ใช้ LMD 18200 ในการควบคุมการเคลื่อนที่ของมอเตอร์ได้ผลตามต้องการคือสามารถบังคับให้มอเตอร์หมุนในทิศทางที่ต้องการได้ตามคำสั่งไม่มีปัญหาใดๆ

8.3 ด้าน SOFTWARE

ได้ใช้โปรแกรมการควบคุมโดยใช้โปรแกรมแอสเซมบลีและโปรแกรมเซลล์ไฟในการควบคุมแขนกลให้ทำงานตามต้องการ โดยในขณะที่ทำการทดลองควบคุมแขนกลนั้นพบว่าไม่มีข้อผิดพลาดเกิดขึ้นเมื่อทำการตั้งก็สามารถเคลื่อนที่ในส่วนต่างๆ ได้ตามคำสั่งที่สั่งลงไป แต่เนื่องจากยังมีประสบการณ์ในการเขียนโปรแกรมทางด้านนี้จึงยังไม่สามารถเขียนโปรแกรมในลักษณะของ full duplex ได้



บทที่ 9

สรุปและวิจารณ์

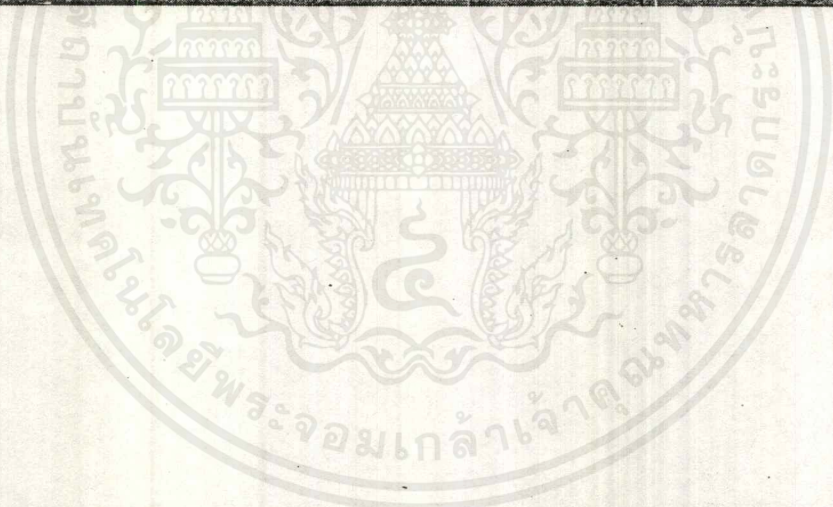
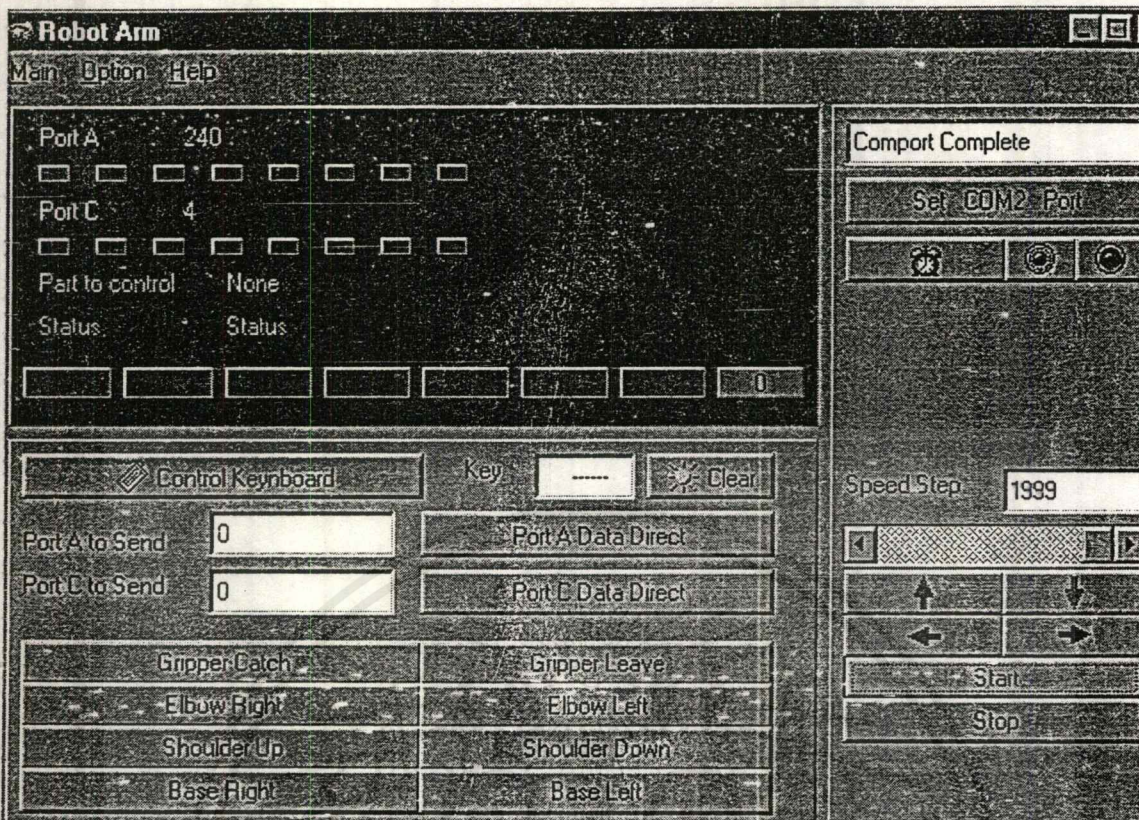
การทำปริญญานิพนธ์ในครั้งนี้ก็นำมาซึ่งความต้องการที่จะศึกษาการทำงานของแขนกลเบื้องต้นซึ่งสามารถนำความรู้ที่ได้จากการศึกษานี้ไปใช้ในการประยุกต์ใช้กับการควบคุมการทำงานของเครื่องจักรกลที่มีลักษณะคล้ายกันได้บ้างโดยนำความรู้ในด้านการส่งข้อมูลทั้งแบบอนุกรมและขนานได้ ซึ่งเป็นการเขียนโปรแกรมในรูปของการ interface กับ hardware และการควบคุมการขับเคลื่อนของทั้งสเตปป์มอเตอร์และมอเตอร์กระแสตรงได้โดยใช้ความสามารถของ IC เบอร์ LMD18245 และ 18200 ซึ่งจากการศึกษาในครั้งนี้ค้นพบว่าควรทำการป้อนกลับข้อมูลเพื่อควบคุมตำแหน่งในการจับวัตถุได้ถูกต้องและแม่นยำมากขึ้น

วิจารณ์

เนื่องจากในปัจจุบันนี้ความเจริญก้าวหน้าทางเทคโนโลยีได้มีการพัฒนาอย่างรวดเร็วซึ่งจะเห็นว่าในปัจจุบันนี้นั้นการใช้หุ่นยนต์เข้ามาทำงานแทนมนุษย์นั้นมีมากขึ้น ฉะนั้นกลุ่มของข้าพเจ้าจึงคิดว่าการศึกษาการควบคุมการทำงานของแขนกลนั้นคงจะพอเป็นประโยชน์กับผู้สนใจศึกษาในด้านนี้บ้างไม่มากนัก



เอกสารนี้เป็นเอกสารที่สงวนไว้สำหรับการใช้งานเพื่อการศึกษาเท่านั้น ไม่อนุญาตให้นำไปใช้ประโยชน์ด้านการค้า
ไม่ว่ากรณีใดๆ ทั้งสิ้น อีกทั้งห้ามมิให้ตัดแปลงเนื้อหาและต้องอ้างอิงถึงเจ้าของเอกสารทุกครั้งที่มีการนำไปใช้



เอกสารนี้เป็นเอกสารที่สงวนไว้สำหรับการใช้งานเพื่อการศึกษาเท่านั้น ไม่อนุญาตให้นำไปใช้ประโยชน์ด้านการค้า
ไม่ว่ากรณีใดๆ ทั้งสิ้น อีกทั้งห้ามมิให้ดัดแปลงเนื้อหาและต้องอ้างอิงถึงเจ้าของเอกสารทุกครั้งที่มีการนำไปใช้



เอกสารนี้เป็นเอกสารที่สงวนไว้สำหรับการใช้งานเพื่อการศึกษาเท่านั้น ไม่อนุญาตให้นำไปใช้ประโยชน์ด้านการค้า
ไม่ว่ากรณีใดๆ ทั้งสิ้น อีกทั้งห้ามมิให้ตัดแปลงเนื้อหาและต้องอ้างอิงถึงเจ้าของเอกสารทุกครั้งที่มีการนำไปใช้

unit Urobot;

interface

uses

Windows, Messages, SysUtils, Classes, Graphics, Controls, Forms, Dialogs,
StdCtrls, ExtCtrls, Menus, Buttons;

type

Tmain = class(TForm)

MainMenu1: TMainMenu;

Main1: TMenuItem;

Exit1: TMenuItem;

Option1: TMenuItem;

Testport1: TMenuItem;

Help1: TMenuItem;

Panel1: TPanel;

monitor: TPanel;

Label1: TLabel;

a7: TPanel;

a6: TPanel;

a5: TPanel;

a4: TPanel;

a3: TPanel;

a2: TPanel;

a1: TPanel;

a0: TPanel;

Label2: TLabel;

c7: TPanel;

c6: TPanel;

c5: TPanel;

c4: TPanel;

c3: TPanel;

c2: TPanel;

```

Application.MessageBox('GetCommTimeOuts','Error Initialize',MB_OK);
halt;
end;
with CommTimeOuts do
begin
WriteTotalTimeoutMultiplier:=10;
WriteTotalTimeoutConstant:=35;
end;
If SetCommTimeouts(Comport,CommTimeouts)=False then
begin
MessageBeep(MB_ICONEXCLAMATION);
Application.MessageBox('SetCommTimeOuts','Error Initialize',MB_OK);
end;
i:=inbuffer[1];
Edit1.text:='Comport Complete';
send;
display_a;
display_c;
end;
procedure Tmain.Outserial(COM:THandle;Data:DWORD);
const dwtowrite:DWORD=5;
var dwwritten:DWORD;
bcheck :BOOL;

begin outbuffer[1]:=data;
dwwritten:=0;
bcheck:=WriteFile(COM,outbuffer,1,dwwritten,nil);
IF (bCheck=False) then
begin
MessageBeep(MB_ICONEXCLAMATION);
Application.MessageBox('Can't Out to Comport','Error',MB_OK);
end;

```

c1: TPanel;
c0: TPanel;
Edit1: TEdit;
Button1: TButton;
data_a: TLabel;
data_c: TLabel;
Label4: TLabel;
status: TLabel;
dattime7: TPanel;
dattime6: TPanel;
dattime5: TPanel;
dattime4: TPanel;
dattime3: TPanel;
dattime2: TPanel;
dattime1: TPanel;
dattime0: TPanel;
Panel27: TPanel;
BitBtn1: TBitBtn;
BitBtn2: TBitBtn;
BitBtn3: TBitBtn;
Button5: TButton;
Button6: TButton;
BitBtn4: TBitBtn;
BitBtn5: TBitBtn;
speedstep: TScrollBar;
BitBtn6: TBitBtn;
BitBtn7: TBitBtn;
Edit2: TEdit;
Label5: TLabel;
Timer1: TTimer;
BitBtn8: TBitBtn;
BitBtn9: TBitBtn;
Edit3: TEdit;
BitBtn10: TBitBtn;

```
Button7: TButton;
Button8: TButton;
directa: TEdit;
Label6: TLabel;
Label7: TLabel;
Button9: TButton;
Button10: TButton;
Button11: TButton;
Button12: TButton;
Button13: TButton;
Button14: TButton;
Label3: TLabel;
Part: TLabel;
Label8: TLabel;
directc: TEdit;
Button2: TButton;
procedure Outserial(COM:THandle;Data:DWORD);
procedure Button1Click(Sender: TObject);
procedure FormCreate(Sender: TObject);
procedure Exit1Click(Sender: TObject);
procedure BitBtn1MouseDown(Sender: TObject; Button: TMouseButton;
  Shift: TShiftState; X, Y: Integer);
procedure BitBtn1MouseUp(Sender: TObject; Button: TMouseButton;
  Shift: TShiftState; X, Y: Integer);
procedure BitBtn2Click(Sender: TObject);
procedure BitBtn3Click(Sender: TObject);
procedure BitBtn8KeyDown(Sender: TObject; var Key: Word;
  Shift: TShiftState);
procedure BitBtn8KeyUp(Sender: TObject; var Key: Word;
  Shift: TShiftState);
procedure BitBtn9Click(Sender: TObject);
procedure BitBtn10Click(Sender: TObject);
procedure Button2Click(Sender: TObject);
procedure Button7MouseDown(Sender: TObject; Button: TMouseButton;
```

```
Shift: TShiftState; X, Y: Integer);
procedure Button9MouseDown(Sender: TObject; Button: TMouseButton;
Shift: TShiftState; X, Y: Integer);
procedure Button11MouseDown(Sender: TObject; Button: TMouseButton;
Shift: TShiftState; X, Y: Integer);
procedure Button13MouseDown(Sender: TObject; Button: TMouseButton;
Shift: TShiftState; X, Y: Integer);
procedure Button8MouseDown(Sender: TObject; Button: TMouseButton;
Shift: TShiftState; X, Y: Integer);
procedure Button10MouseDown(Sender: TObject; Button: TMouseButton;
Shift: TShiftState; X, Y: Integer);
procedure Button12MouseDown(Sender: TObject; Button: TMouseButton;
Shift: TShiftState; X, Y: Integer);
procedure Button14MouseDown(Sender: TObject; Button: TMouseButton;
Shift: TShiftState; X, Y: Integer);
procedure Button7MouseUp(Sender: TObject; Button: TMouseButton;
Shift: TShiftState; X, Y: Integer);
procedure Button9MouseUp(Sender: TObject; Button: TMouseButton;
Shift: TShiftState; X, Y: Integer);
procedure Button11MouseUp(Sender: TObject; Button: TMouseButton;
Shift: TShiftState; X, Y: Integer);
procedure Button13MouseUp(Sender: TObject; Button: TMouseButton;
Shift: TShiftState; X, Y: Integer);
procedure Button8MouseUp(Sender: TObject; Button: TMouseButton;
Shift: TShiftState; X, Y: Integer);
procedure Button10MouseUp(Sender: TObject; Button: TMouseButton;
Shift: TShiftState; X, Y: Integer);
procedure Button12MouseUp(Sender: TObject; Button: TMouseButton;
Shift: TShiftState; X, Y: Integer);
procedure Button14MouseUp(Sender: TObject; Button: TMouseButton;
Shift: TShiftState; X, Y: Integer);
procedure Button5Click(Sender: TObject);
procedure Button6Click(Sender: TObject);
procedure Timer1Timer(Sender: TObject);
```

```

procedure speedstepChange(Sender: TObject);
procedure BitBtn6MouseDown(Sender: TObject; Button: TMouseButton;
  Shift: TShiftState; X, Y: Integer);
procedure BitBtn7MouseDown(Sender: TObject; Button: TMouseButton;
  Shift: TShiftState; X, Y: Integer);
procedure BitBtn4MouseDown(Sender: TObject; Button: TMouseButton;
  Shift: TShiftState; X, Y: Integer);
procedure BitBtn5MouseDown(Sender: TObject; Button: TMouseButton;
  Shift: TShiftState; X, Y: Integer);
procedure BitBtn6MouseUp(Sender: TObject; Button: TMouseButton;
  Shift: TShiftState; X, Y: Integer);
procedure BitBtn7MouseUp(Sender: TObject; Button: TMouseButton;
  Shift: TShiftState; X, Y: Integer);
procedure BitBtn4MouseUp(Sender: TObject; Button: TMouseButton;
  Shift: TShiftState; X, Y: Integer);
procedure BitBtn5MouseUp(Sender: TObject; Button: TMouseButton;
  Shift: TShiftState; X, Y: Integer);
private
  { Private declarations }
public
  { Public declarations }
end;

var
  main: Tmain;
  Comport:THandle;

implementation
VAR
  ComDCB:TDCB;
  Comname:PChar;
  Commtimeouts:TCommtimeOuts;
  outbuffer:array [1..5]of integer;
  inbuffer:array[1..5]of integer;

```

```

porta,portc:integer;
temp:integer;
time:integer;
LEDOn,LEDOff:integer;
lighton:integer;
delaytime:integer;
tempstep:integer;
{$R *.DFM}
procedure Display_a;
begin
temp:= porta and $01;
if temp<>0 then main.a0.color:=LEDOn
else main.a0.color:=LEDOff;
temp:= porta and $02;
if temp<> 0 then main.a1.color:=LEDOn
else main.a1.color:=LEDOff;
temp:= porta and $04;
if temp<> 0 then main.a2.color:=LEDOn
else main.a2.color:=LEDOff;
temp:= porta and $08;
if temp<> 0 then main.a3.color:=LEDOn
else main.a3.color:=LEDOff;
temp:= porta and $10;
if temp<> 0 then main.a4.color:=LEDOn
else main.a4.color:=LEDOff;
temp:= porta and $20;
if temp<> 0 then main.a5.color:=LEDOn
else main.a5.color:=LEDOff;
temp:= porta and $40;
if temp<> 0 then main.a6.color:=LEDOn
else main.a6.color:=LEDOff;
temp:= porta and $80;
if temp<> 0 then main.a7.color:=LEDOn
else main.a7.color:=LEDOff;
main.data_a.caption:=inttostr(porta);

```

```

end;

procedure Display_c;
begin
  temp:= portc and $01;
  if temp<> 0 then main.c0.color:=LEDOn
  else main.c0.color:=LEDOff;
  temp:= portc and $02;
  if temp<> 0 then main.c1.color:=LEDOn
  else main.c1.color:=LEDOff;
  temp:= portc and $04;
  if temp<> 0 then main.c2.color:=LEDOn
  else main.c2.color:=LEDOff;
  temp:= portc and $08;
  if temp<> 0 then main.c3.color:=LEDOn
  else main.c3.color:=LEDOff;
  temp:= portc and $10;
  if temp<> 0 then main.c4.color:=LEDOn
  else main.c4.color:=LEDOff;
  temp:= portc and $20;
  if temp<> 0 then main.c5.color:=LEDOn
  else main.c5.color:=LEDOff;
  temp:= portc and $40;
  if temp<> 0 then main.c6.color:=LEDOn
  else main.c6.color:=LEDOff;
  temp:= portc and $80;
  if temp<> 0 then main.c7.color:=LEDOn
  else main.c7.color:=LEDOff;
  main.data_c.caption:=inttostr(portc);

```

```

end;

```

```

procedure send;

```

```

begin
  main.Outserial(comport,porta);
  display_a;
  main.outserial(comport,portc);
  display_c;

```

```

end;
procedure forw;
begin main.datetime0.caption:='0';
      main.datetime1.caption:='1';
      main.datetime2.caption:='2';
      main.datetime3.caption:='3';
      main.datetime4.caption:='0';
      main.datetime5.caption:='1';
      main.datetime6.caption:='2';
      main.datetime7.caption:='3';
end;
procedure rew;
begin main.datetime0.caption:='3';
      main.datetime1.caption:='2';
      main.datetime2.caption:='1';
      main.datetime3.caption:='0';
      main.datetime4.caption:='3';
      main.datetime5.caption:='2';
      main.datetime6.caption:='1';
      main.datetime7.caption:='0';
end;
procedure clrporta;
begin  porta:=$F0; //break all dc motor
      send;
      main.part.caption:=' None ';
      main.Status.caption:=' Stop ';
end;
procedure Tmain.Button1Click(Sender: TObject);
var i:integer;
      bresult:BOOL;
      ByteRead:DWORD;
      lap:array [1..5]of integer;

```

```

begin for i:=1 to 5 do
  begin
    outbuffer[i]:=0;
  end;
  Comport:=CreateFile(Comname,GENERIC_WRITE ,FILE_SHARE_WRITE,nil,
    OPEN_EXISTING,FILE_ATTRIBUTE_NORMAL,0);
  If Comport<=0 then
    begin
      MessageBeep(MB_ICONEXCLAMATION);
      Application.MessageBox('CreateFile','Error Initialize',MB_OK);
      halt;
    end;
  If GetCommState(Comport,ComDCB)=False then
    begin
      MessageBeep(MB_ICONEXCLAMATION);
      Application.MessageBox('GetCommState','Error initialize',MB_OK);
      halt;
    end;
  with ComDCB do
    begin
      BaudRate:=CBR_9600;
      ByteSize:=8;
      StopBits:=0; // 1 STOP BIT
      Parity:=0; //no parity
    end;
  If SetCommState(Comport,ComDCB)=False then
    begin
      MessageBeep(MB_ICONEXCLAMATION);
      Application.MessageBox('SetCommstate','Error Initialize',MB_OK);
      halt;
    end;
  If GetCommTimeOuts(Comport,CommTimeOuts)=False then
    begin
      MessageBeep(MB_ICONEXCLAMATION);

```

```
end;
procedure Tmain.FormCreate(Sender: TObject);
var i:integer;
begin  Comname:='COM2';
      porta:=$F0;
      portc:=$14;//SET HIGH VOLTAGE PWM=1
      LEDon:=$0000FF;
      LEDoff:=$00404080;
      a0.color:=Ledoff;
      a1.color:=ledoff;
      a2.color:=ledoff;
      a3.color:=ledoff;
      a4.color:=ledoff;
      a5.color:=ledoff;
      a6.color:=ledoff;
      a7.color:=ledoff;
      c0.color:=ledoff;
      c1.color:=ledoff;
      c2.color:=ledoff;
      c3.color:=ledoff;
      c4.color:=ledoff;
      c5.color:=ledoff;
      c6.color:=ledoff;
      c7.color:=ledoff;
      timer1.enabled:=false;
      time:=$01;
      delaytime:=1;
end;
```

```
end;
```

```
procedure Tmain.Exit1Click(Sender: TObject);
```

```
begin  close;
```

end;

```
procedure Tmain.BitBtn1MouseDown(Sender: TObject; Button: TMouseButton;
```

```
  Shift: TShiftState; X, Y: Integer);
```

```
begin portc:=portc or $20;
```

```
  send;
```

end;

```
procedure Tmain.BitBtn1MouseUp(Sender: TObject; Button: TMouseButton;
```

```
  Shift: TShiftState; X, Y: Integer);
```

```
begin portc:=portc and $DF;
```

```
  send;
```

end;

```
procedure Tmain.BitBtn2Click(Sender: TObject);
```

```
begin portc:=portc or $10;
```

```
  send;
```

end;

```
procedure Tmain.BitBtn3Click(Sender: TObject);
```

```
begin portc:=portc and $EF;
```

```
  send;
```

end;

```
procedure Tmain.BitBtn8KeyDown(Sender: TObject; var Key: Word;
```

```
  Shift: TShiftState);
```

```
var numkey:integer;
```

```
begin numkey:=ord(key);
```

```
  Edit3.text:=inttostr(numkey);
```

```
  case (numkey) of
```

```
97,65: begin //key a
    porta:=porta and $77;
    send;
    Part.caption:=' Gripper ';
    Status.caption:=' Catch ';
    end;
```

```
115,83:begin //key s
    porta:=porta and $BB;
    send;
    Part.caption:=' Elbow ';
    Status.caption:=' Right ';
    end;
```

```
100,68:begin //key d
    porta:=porta and $DD;
    send;
    Part.caption:='Shoulder';
    Status.caption:=' Up ';
    end;
```

```
102,70:begin //key f
    porta:=porta and $EE;
    send;
    Part.caption:=' Base ';
    status.caption:=' Right ';
    end;
```

```
106,74:begin //key j
    porta:=porta and $7F;
    porta:=porta or $08;
    send;
    Part.caption:=' Gripper ';
    status.caption:=' Leave ';
    end;
```

```
107,75:begin //key k
    porta:=porta and $BF;
    porta:=porta or $04;
```

```

send;

Part.caption:=' Elbow';
status.caption:=' Left ';
end;

108,76:begin //key l
    porta:=porta and $DF;
    porta:=porta or $02;
    send;
    part.caption:='Shoulder';
    status.caption:='Down';
    end;

59,186 :begin //key ;
    porta:=porta and $EF;
    porta:=porta or $01;
    send;
    part.caption:='Base';
    status.caption:='Left';
    end;

103,71:begin // key g
    timer1.enabled:=true;
    end;
end;//case

end;

procedure Tmain.BitBtn8KeyUp(Sender: TObject; var Key: Word;
    Shift: TShiftState);
begin
    porta:=$F0; //break all dc motor
    send;
    part.caption:=' None ';
    Status.caption:=' Stop ';
end;

```

```
procedure Tmain.BitBtn9Click(Sender: TObject);
begin
  porta:=$F0;
  send;
end;
```

```
procedure Tmain.BitBtn10Click(Sender: TObject);
begin
  porta:=strtoint(directa.text);
  send;
end;
```

```
procedure Tmain.Button2Click(Sender: TObject);
begin
  portc:=strtoint(directc.text);
  send;
end;
```

```
procedure Tmain.Button7MouseDown(Sender: TObject; Button: TMouseButton;
  Shift: TShiftState; X, Y: Integer);
begin
  porta:=porta and $77;
  send;
  Part.caption:=' Gripper ';
  Status.caption:=' Catch ';
end;
```

```
procedure Tmain.Button9MouseDown(Sender: TObject; Button: TMouseButton;
  Shift: TShiftState; X, Y: Integer);
begin
  porta:=porta and $BB;
  send;
  Part.caption:=' Elbow ';
  Status.caption:=' Right ';
```

end;

```
procedure Tmain.Button11MouseDown(Sender: TObject; Button: TMouseButton;
```

```
  Shift: TShiftState; X, Y: Integer);
```

```
begin  porta:=porta and $DD;
```

```
  send;
```

```
  Part.caption:='Shoulder';
```

```
  Status.caption:=' Up ';
```

end;

```
procedure Tmain.Button13MouseDown(Sender: TObject; Button: TMouseButton;
```

```
  Shift: TShiftState; X, Y: Integer);
```

```
begin  porta:=porta and $EE;
```

```
  send;
```

```
  Part.caption:=' Base ';
```

```
  status.caption:=' Right ';
```

end;

```
procedure Tmain.Button8MouseDown(Sender: TObject; Button: TMouseButton;
```

```
  Shift: TShiftState; X, Y: Integer);
```

```
begin  porta:=porta and $7F;
```

```
  porta:=porta or $08;
```

```
  send;
```

```
  Part.caption:=' Gripper ';
```

```
  status.caption:=' Leave ';
```

end;

```
procedure Tmain.Button10MouseDown(Sender: TObject; Button: TMouseButton;
```

```
  Shift: TShiftState; X, Y: Integer);
```

```
begin  porta:=porta and $BF;
```

```
  porta:=porta or $04;
```

```
send;
Part.caption:=' Elbow';
status.caption:=' Left ';
end;
```

```
procedure Tmain.Button12MouseDown(Sender: TObject; Button: TMouseButton;
Shift: TShiftState; X, Y: Integer);
```

```
begin  porta:=porta and $DF;
```

```
    porta:=porta or $02;
```

```
    send;
```

```
    part.caption:='Shoulder';
```

```
    status.caption:='Down';
```

```
end;
```

```
procedure Tmain.Button14MouseDown(Sender: TObject; Button: TMouseButton;
Shift: TShiftState; X, Y: Integer);
```

```
begin  porta:=porta and $EF;
```

```
    porta:=porta or $01;
```

```
    send;
```

```
    part.caption:='Base';
```

```
    status.caption:='Left';
```

```
end;
```

```
procedure Tmain.Button7MouseUp(Sender: TObject; Button: TMouseButton;
```

```
Shift: TShiftState; X, Y: Integer);
```

```
begin  clrporta;
```

```
end;
```

```
procedure Tmain.Button9MouseUp(Sender: TObject; Button: TMouseButton;
```

```
Shift: TShiftState; X, Y: Integer);
```

```
begin  clrporta;
```

end;

```
procedure Tmain.Button11MouseUp(Sender: TObject; Button: TMouseButton;
```

```
  Shift: TShiftState; X, Y: Integer);
```

```
begin clrporta;
```

end;

```
procedure Tmain.Button13MouseUp(Sender: TObject; Button: TMouseButton;
```

```
  Shift: TShiftState; X, Y: Integer);
```

```
begin clrporta;
```

end;

```
procedure Tmain.Button8MouseUp(Sender: TObject; Button: TMouseButton;
```

```
  Shift: TShiftState; X, Y: Integer);
```

```
begin clrporta;
```

end;

```
procedure Tmain.Button10MouseUp(Sender: TObject; Button: TMouseButton;
```

```
  Shift: TShiftState; X, Y: Integer);
```

```
begin clrporta;
```

end;

```
procedure Tmain.Button12MouseUp(Sender: TObject; Button: TMouseButton;
```

```
  Shift: TShiftState; X, Y: Integer);
```

```
begin clrporta;
```

end;

```
procedure Tmain.Button14MouseUp(Sender: TObject; Button: TMouseButton;
```

```

Shift: TShiftState; X, Y: Integer);

begin clrporta;

end;

procedure Tmain.Button5Click(Sender: TObject);
begin timer1.enabled:=true;
      portc:=portc and $EF; //stop high voltage
              //choose low voltage for step
end;

procedure Tmain.Button6Click(Sender: TObject);
begin timer1.enabled:=false;

end;

procedure Tmain.Timer1Timer(Sender: TObject);
begin case time of
      1:time:=2;
      2:time:=3;
      3:time:=4;
      4:time:=5;
      5:time:=6;
      6:time:=7;
      7:time:=8;
      8:time:=1;
end;//case
case time of
1:begin tempstep:=strtoint(datetime0.caption);
      datetime0.color:=$00d7a2;
      datetime7.color:=clgreen;
end;
2:begin tempstep:=strtoint(datetime1.caption);
      datetime1.color:=$00d7a2;

```

```

    datetime0.color:=clgreen;
end;
3:begin tempstep:=strtoint(datetime2.caption);
    datetime2.color:=$00d7a2;
    datetime1.color:=clgreen;
end;
4:begin tempstep:=strtoint(datetime3.caption);
    datetime3.color:=$00d7a2;
    datetime2.color:=clgreen;
end;
5:begin tempstep:=strtoint(datetime4.caption);
    datetime4.color:=$00d7a2;
    datetime3.color:=clgreen;
end;
6:begin tempstep:=strtoint(datetime5.caption);
    datetime5.color:=$00d7a2;
    datetime4.color:=clgreen;
end;
7:begin tempstep:=strtoint(datetime6.caption);
    datetime6.color:=$00d7a2;
    datetime5.color:=clgreen;
end;
8:begin tempstep:=strtoint(datetime7.caption);
    datetime7.color:=$00d7a2;
    datetime6.color:=clgreen;
end;
end;
portc:=portc and $FC;
portc:=portc or tempstep;
send;

end;

```

เอกสารนี้เป็นเอกสารที่สงวนไว้สำหรับการใช้งานเพื่อการศึกษาเท่านั้น ไม่อนุญาตให้นำไปใช้ประโยชน์ด้านการค้า
ไม่ว่ากรณีใดๆ ทั้งสิ้น อีกทั้งห้ามมิให้ตัดแปลงเนื้อหาและต้องอ้างอิงถึงเจ้าของเอกสารทุกครั้งที่มีการนำไปใช้

```

procedure Tmain.speedstepChange(Sender: TObject);
begin timer1.interval:=2000-speedstep.position;
      Edit2.text:=inttostr(speedstep.position);
end;

procedure Tmain.BitBtn6MouseDown(Sender: TObject; Button: TMouseButton;
Shift: TShiftState; X, Y: Integer);
begin forw; //set direction up
      portc:=portc or $08; //choose step motor1
      portc:=portc or $40; //enable voltage step

end;

procedure Tmain.BitBtn7MouseDown(Sender: TObject; Button: TMouseButton;
Shift: TShiftState; X, Y: Integer);
begin rew; // set direction down
      portc:=portc or $08; //choose step motor1
      portc:=portc or $40; //enable voltage step
end;

procedure Tmain.BitBtn4MouseDown(Sender: TObject; Button: TMouseButton;
Shift: TShiftState; X, Y: Integer);
begin forw; //set direction
      portc:=portc and $F7;//choose step step2
      portc:=portc or $40; //enable step voltage
end;

procedure Tmain.BitBtn5MouseDown(Sender: TObject; Button: TMouseButton;
Shift: TShiftState; X, Y: Integer);
begin rew; // set direction right
      portc:=portc and $F7; //choose step motor2
      portc:=portc or $40; //enable step voltage
end;

```

```
procedure Tmain.BitBtn6MouseUp(Sender: TObject; Button: TMouseButton;  
  Shift: TShiftState; X, Y: Integer);  
begin  portc:=portc and $BF; //disable stepping motor voltage
```

```
end;
```

```
procedure Tmain.BitBtn7MouseUp(Sender: TObject; Button: TMouseButton;  
  Shift: TShiftState; X, Y: Integer);  
begin  portc:=portc and $BF;
```

```
end;
```

```
procedure Tmain.BitBtn4MouseUp(Sender: TObject; Button: TMouseButton;  
  Shift: TShiftState; X, Y: Integer);  
begin  portc:=portc and $BF;
```

```
end;
```

```
procedure Tmain.BitBtn5MouseUp(Sender: TObject; Button: TMouseButton;  
  Shift: TShiftState; X, Y: Integer);  
begin  portc:=portc and $BF;
```

```
end;
```

```
end.
```



เอกสารนี้เป็นเอกสารที่สงวนไว้สำหรับการใช้งานเพื่อการศึกษาเท่านั้น ไม่อนุญาตให้นำไปใช้ประโยชน์ด้านการค้า
ไม่ว่ากรณีใดๆ ทั้งสิ้น อีกทั้งห้ามมิให้ดัดแปลงเนื้อหาและต้องอ้างอิงถึงเจ้าของเอกสารทุกครั้งที่มีการนำไปใช้

Absolute Maximum Ratings (Note 1)

If Military/Aerospace specified devices are required, please contact the National Semiconductor Sales Office/Distributors for availability and specifications.

DC Voltage at:	
OUT 1, V _{CC} , and OUT 2	+60V
COMP OUT, RC, M4, M3, M2, M1, BRAKE, DIRECTION, CS OUT, and DAC REF	+12V
DC Voltage PGND to SGND	±400mV
Continuous Load Current	3A
Peak Load Current (Note 2)	6A
Junction Temperature (T _{J(max)})	+150°C
Power Dissipation (Note 3):	
TO-220 (T _A = 25°C, Infinite Heatsink)	25W
TO-220 (T _A = 25°C, Free Air)	3.5W

ESD Susceptibility (Note 4)	1500V
Storage Temperature Range (T _S)	-40°C to +150°C
Lead Temperature (Soldering, 10 seconds)	300°C

Operating Conditions (Note 1)

Temperature Range (T _J) (Note 3)	-40°C to +125°C
Supply Voltage Range (V _{CC})	+12V to +55V
CS OUT Voltage Range	0V to +5V
DAC REF Voltage Range	0V to +5V
MONOSTABLE Pulse Range	10 μs to 100 ms

Electrical Characteristics The following specifications apply for V_{CC} = +42V, unless otherwise stated. **Bold-face limits apply over the operating temperature range, -40°C ≤ T_J ≤ +125°C.** All other limits apply for T_A = T_J = 25°C. (Note 2)

Symbol	Parameter	Conditions	Typical (Note 5)	Limit (Note 5)	Units (Limits)
I _{CC}	Quiescent Supply Current	DAC REF = 0V, V _{CC} = +20V	8	15	mA mA (max)
POWER OUTPUT STAGE					
R _{DS(ON)}	Switch ON Resistance	I _{LOAD} = 3A	0.3	0.4 0.6	Ω (max) Ω (max)
		I _{LOAD} = 6A	0.3	0.4 0.6	Ω (max) Ω (max)
V _{DIODE}	Body Diode Forward Voltage	I _{DIODE} = 3A	1.0	1.5	V V(max)
T _{rr}	Diode Reverse Recovery Time	I _{DIODE} = 1A	80		ns
Q _{rr}	Diode Reverse Recovery Charge	I _{DIODE} = 1A	40		nC
t _{d(ON)}	Output Turn ON Delay Time	Sourcing Outputs I _{LOAD} = 3A	5		μs
		Sinking Outputs I _{LOAD} = 3A	900		ns
t _{d(OFF)}	Output Turn OFF Delay Time	Sourcing Outputs I _{LOAD} = 3A	600		ns
		Sinking Outputs I _{LOAD} = 3A	400		ns
t _{ON}	Output Turn ON Switching Time	Sourcing Outputs I _{LOAD} = 3A	40		μs
		Sinking Outputs I _{LOAD} = 3A	1		μs
t _{OFF}	Output Turn OFF Switching Time	Sourcing Outputs I _{LOAD} = 3A	200		ns
		Sinking Outputs I _{LOAD} = 3A	80		ns
t _{pw}	Minimum Input Pulse Width	Pins 10 and 11	2		μs
t _{db}	Minimum Dead Band	∞ (Note 6)	40		ns

Electrical Characteristics The following specifications apply for $V_{CC} = +42V$, unless otherwise stated. **Bold-face limits apply over the operating temperature range, $-40^{\circ}C \leq T_J \leq +125^{\circ}C$.** All other limits apply for $T_A = T_J = 25^{\circ}C$. (Note 2) (Continued)

Symbol	Parameter	Conditions	Typical (Note 5)	Limit (Note 5)	Units (Limits)
CURRENT SENSE AMPLIFIER					
	Current Sense Output	$I_{LOAD} = 1A$ (Note 7)	250	200 175 300 325	μA (min) μA (min) μA (max) μA (max)
	Current Sense Linearity Error	$0.5A \leq I_{LOAD} \leq 3A$ (Note 7)	± 6	± 9	% %(max)
	Current Sense Offset	$I_{LOAD} = 0A$	5	20	μA μA (max)
DIGITAL-TO-ANALOG CONVERTER (DAC)					
	Resolution			4	Bits (min)
	Monotonicity			4	Bits (min)
	Total Unadjusted Error		0.125	0.25 0.5	LSB (max) LSB (max)
	Propagation Delay		50		ns
I_{REF}	DAC REF Input Current	DAC REF = +5V	-0.5	± 10	μA μA (max)
COMPARATOR AND MONOSTABLE					
	Comparator High Output Level		6.27		V
	Comparator Low Output Level		88		mV
	Comparator Output Current		0.2		mA
	Source		3.2		mA
t_{DELAY}	Monostable Turn OFF Delay	(Note 8)	1.2	2.0	μs μs (max)
PROTECTION AND PACKAGE THERMAL RESISTANCES					
	Undervoltage Lockout, V_{CC}			5 8	V (min) V (max)
T_{JSD}	Shutdown Temperature, T_J		155		$^{\circ}C$
θ_{JC}	Package Thermal Resistances				$^{\circ}C/W$
	Junction-to-Case, TO-220		1.5		$^{\circ}C/W$
θ_{JA}	Junction-to-Ambient, TO-220		35		$^{\circ}C/W$
LOGIC INPUTS					
V_{IL}	Low Level Input Voltage			-0.1 0.8	V (min) V (max)
V_{IH}	High Level Input Voltage			2 12	V (min) V (max)
I_{IN}	Input Current	$V_{IN} = 0V$ or $12V$		± 10	μA (max)

Electrical Characteristics The following specifications apply for $V_{CC} = +42V$, unless otherwise stated. **Bold-face limits apply over the operating temperature range, $-40^{\circ}C \leq T_J \leq +125^{\circ}C$.** All other limits apply for $T_A = T_J = 25^{\circ}C$. (Note 2) (Continued)

Note 1: Absolute Maximum Ratings indicate limits beyond which damage to the device may occur. Electrical specifications do not apply when operating the device outside the rated Operating Conditions.

Note 2: Unless otherwise stated, load currents are pulses with widths less than 2 ms and duty cycles less than 5%.

Note 3: The maximum allowable power dissipation at any ambient temperature is $P_{Max} = (125 - T_A)/\theta_{JA}$, where $125^{\circ}C$ is the maximum junction temperature for operation, T_A is the ambient temperature in $^{\circ}C$, and θ_{JA} is the junction-to-ambient thermal resistance in $^{\circ}C/W$. Exceeding P_{Max} voids the Electrical Specifications by forcing T_J above $125^{\circ}C$. If the junction temperature exceeds $155^{\circ}C$, internal circuitry disables the power bridge. When a heatsink is used, θ_{JA} is the sum of the junction-to-case thermal resistance of the package, θ_{JC} , and the case-to-ambient thermal resistance of the heatsink.

Note 4: ESD rating is based on the human body model of 100 pF discharged through a 1.5 k Ω resistor. M1, M2, M3 and M4, pins 8, 7, 6 and 4 are protected to 800V.

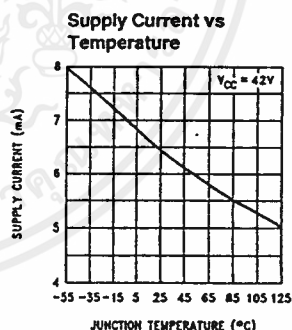
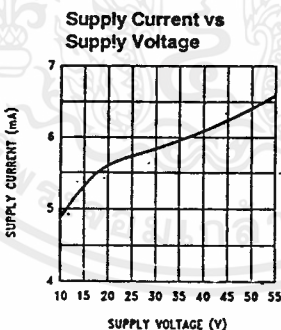
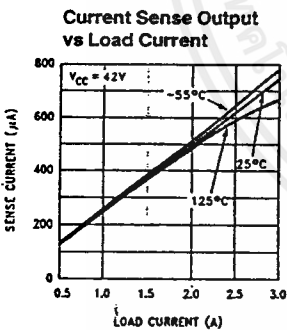
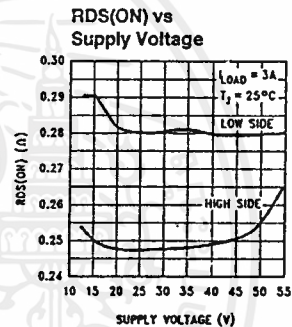
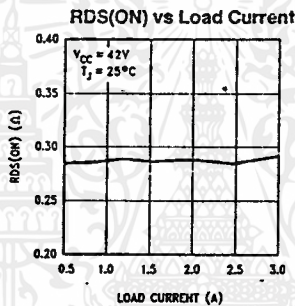
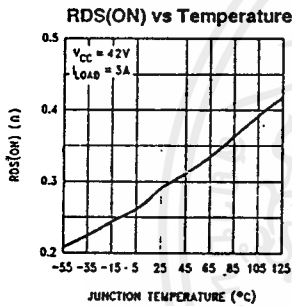
Note 5: All limits are 100% production tested at $25^{\circ}C$. Temperature extreme limits are guaranteed via correlation using accepted SQC (Statistical Quality Control) methods. All limits are used to calculate AOQL (Average Outgoing Quality Level). Typical values are at $T_J = 25^{\circ}C$ and represent the most likely parametric norm.

Note 6: Asymmetric turn OFF and ON delay times and switching times ensure a switch turns OFF before the other switch in the same half H-bridge begins to turn ON (preventing momentary short circuits between the power supply and ground). The transitional period during which both switches are OFF is commonly referred to as the dead band.

Note 7: (I_{LOAD} , I_{SENSE}) data points are taken for load currents of 0.5A, 1A, 2A and 3A. The current sense gain is specified as I_{SENSE}/I_{LOAD} for the 1A data point. The current sense linearity is specified as the slope of the line between the 0.5A and 1A data points minus the slope of the line between the 2A and 3A data points all divided by the slope of the line between the 0.5A and 1A data points.

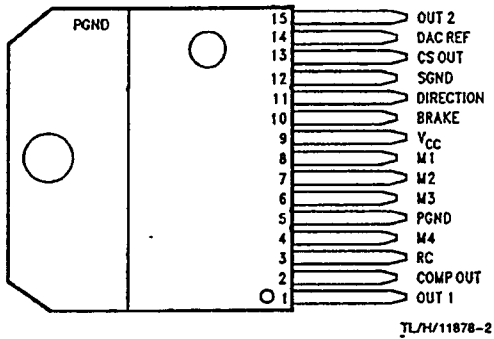
Note 8: Turn OFF delay, t_{DELAY} , is defined as the time from the voltage at the output of the current sense amplifier reaching the DAC output voltage to the lower DMOS switch beginning to turn OFF. With $V_{CC} = 32V$, DIRECTION high, and 200 Ω connected between OUT1 and V_{CC} , the voltage at RC is increased from 0V to 5V at 1.2V/ μs , and t_{DELAY} is measured as the time from the voltage at RC reaching 2V to the time the voltage at OUT 1 reaches 3V.

Typical Performance Characteristics



TL/H/11878-27

Connection Diagram



Top View

15-Lead TO-220 Molded Power Package
Order Number LMD18245T
See NS Package Number TA15A

Pinout Descriptions (See Functional Block and Connection Diagrams)

- Pin 1, OUT 1:** Output node of the first half H-bridge.
- Pin 2, COMP OUT:** Output of the comparator. If the voltage at CS OUT exceeds that provided by the DAC, the comparator triggers the monostable.
- Pin 3, RC:** Monostable timing node. A parallel resistor-capacitor network connected between this node and ground sets the monostable timing pulse at about $.1 RC$ seconds.
- Pin 5, PGND:** Ground return node of the power bridge. Bond wires (internal) connect PGND to the tab of the TO-220 package.
- Pins 4 and 6 through 8, M4 through M1:** Digital inputs of the DAC. These inputs make up a four-bit binary number with M4 as the most significant bit or MSB. The DAC provides an analog voltage directly proportional to the binary number applied at M4 through M1.
- Pin 9, V_{CC}:** Power supply node.
- Pin 10, BRAKE:** Brake logic input. Pulling the BRAKE input logic-high activates both sourcing switches of the power bridge—effectively shorting the load. See Table I. Shorting the load in this manner forces the load current to recirculate and decay to zero.
- Pin 11, DIRECTION:** Direction logic input. The logic level at this input dictates the direction of current flow in the load. See Table I.
- Pin 12, SGND:** Ground return node of all signal level circuits.

Pin 13, CS OUT: Output of the current sense amplifier. The current sense amplifier sources 250 μA (typical) per ampere of total forward current conducted by the upper two switches of the power bridge.

Pin 14, DAC REF: Voltage reference input of the DAC. The DAC provides an analog voltage equal to $V_{DAC REF} \times D/16$, where D is the decimal equivalent (0–15) of the binary number applied at M4 through M1.

Pin 15, OUT 2: Output node of the second half H-bridge.

TABLE I. Switch Control Logic Truth Table

BRAKE	DIRECTION	MONO	Active Switches
H	X	X	Source 1, Source 2
L	H	L	Source 2
L	H	H	Source 2, Sink 1
L	L	L	Source 1
L	L	H	Source 1, Sink 2

X = don't care

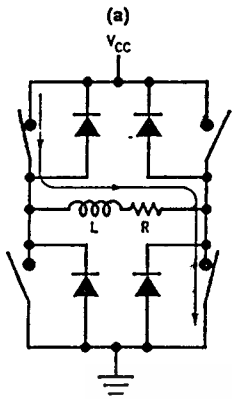
MONO is the output of the monostable.

Functional Descriptions

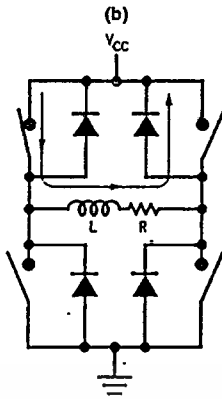
TYPICAL OPERATION OF A CHOPPER AMPLIFIER

Chopper amplifiers employ feedback driven switching of a power bridge to control and limit current in the winding of a motor (Figure 1). The bridge consists of four solid state power switches and four diodes connected in an H configuration. Control circuitry (not shown) monitors the winding current and compares it to a threshold. While the winding current remains less than the threshold, a source switch and a sink switch in opposite halves of the bridge force the supply voltage across the winding, and the winding current increases rapidly towards V_{CC}/R (Figures 1a and 1d). As the winding current surpasses the threshold, the control circuitry turns OFF the sink switch for a fixed period or off-time. During the off-time, the source switch and the opposite upper diode short the winding, and the winding current recirculates and decays slowly towards zero (Figures 1b and 1e). At the end of the off-time, the control circuitry turns back ON the sink switch, and the winding current again increases rapidly towards V_{CC}/R (Figures 1a and 1d again). The above sequence repeats to provide a current chopping action that limits the winding current to the threshold (Figure 1g). Chopping only occurs if the winding current reaches the threshold. During a change in the direction of the winding current, the diodes provide a decay path for the initial winding current (Figures 1c and 1f). Since the bridge shorts the winding for a fixed period, this type of chopper amplifier is commonly referred to as a *fixed off-time chopper*.

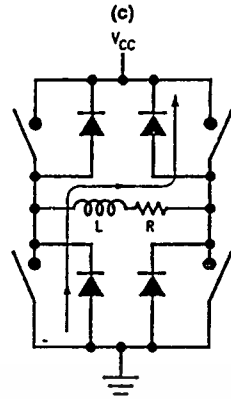
Functional Descriptions (Continued)



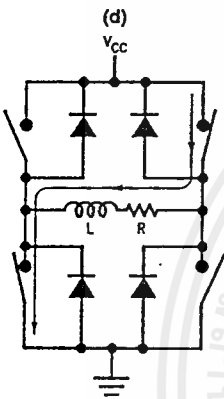
TL/H/11878-3



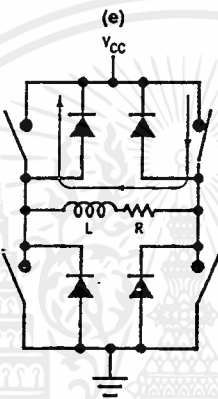
TL/H/11878-4



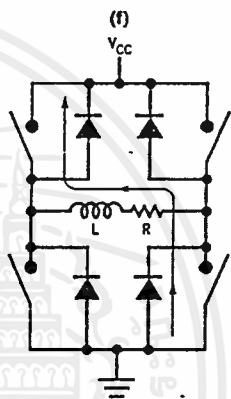
TL/H/11878-5



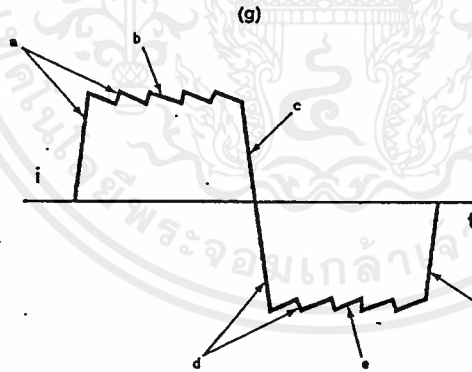
TL/H/11878-6



TL/H/11878-7



TL/H/11878-8



TL/H/11878-9

FIGURE 1. Chopper Amplifier Chopping States: Full V_{CC} Applied Across the Winding (a) and (d), Shorted Winding (b) and (e), Winding Current Decays During a Change in the Direction of the Winding Current (c) and (f), and the Chopped Winding Current (g)

เอกสารนี้เป็นเอกสารที่สงวนไว้สำหรับการใช้งานเพื่อการศึกษาเท่านั้น ไม่อนุญาตให้นำไปใช้ประโยชน์ด้านการค้า
ไม่ว่ากรณีใดๆ ทั้งสิ้น อีกทั้งห้ามมิให้ดัดแปลงเนื้อหาและต้องอ้างอิงถึงเจ้าของเอกสารทุกครั้งที่มีการนำไปใช้

Functional Descriptions (Continued)

THE LMD18245 CHOPPER AMPLIFIER

The LMD18245 incorporates all the circuit blocks needed to implement a fixed off-time chopper amplifier. These blocks include: an all DMOS, full H-bridge with clamp diodes, an amplifier for sensing the load current, a comparator, a monostable, and a DAC for digital control of the chopping threshold. Also incorporated are logic, level shifting and drive blocks for digital control of the direction of the load current and braking.

THE H-BRIDGE

The power stage consists of four DMOS power switches and associated body diodes connected in an H-bridge configuration (Figure 2). Turning ON a source switch and a sink

switch in opposite halves of the bridge forces the full supply voltage less the switch drops across the motor winding. While the bridge remains in this state, the winding current increases exponentially towards a limit dictated by the supply voltage, the switch drops, and the winding resistance. Subsequently turning OFF the sink switch causes a voltage transient that forward biases the body diode of the other source switch. The diode clamps the transient at one diode drop above the supply voltage and provides an alternative current path. While the bridge remains in this state, it essentially shorts the winding and the winding current recirculates and decays exponentially towards zero. During a change in the direction of the winding current, both the switches and the body diodes provide a decay path for the initial winding current (Figure 3).

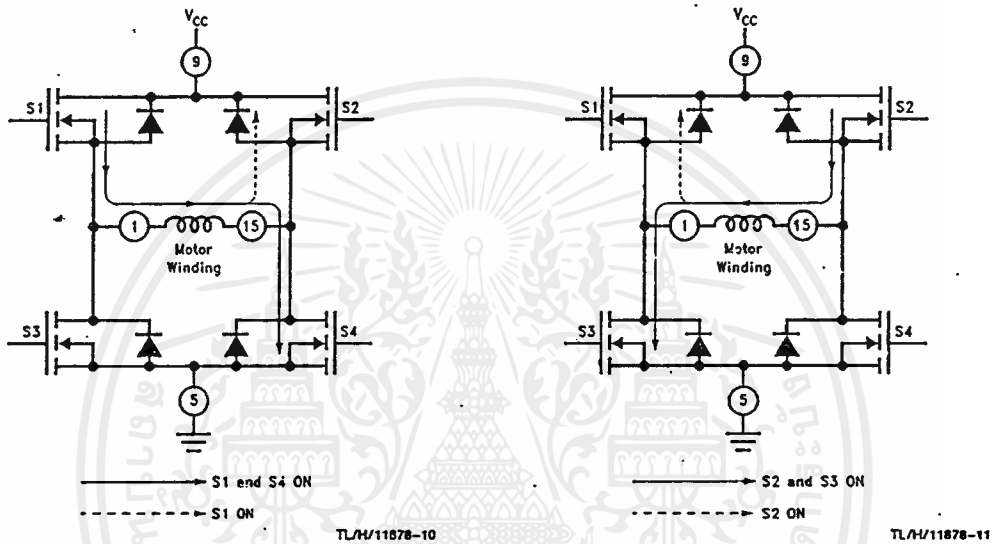


FIGURE 2. The DMOS H-Bridge

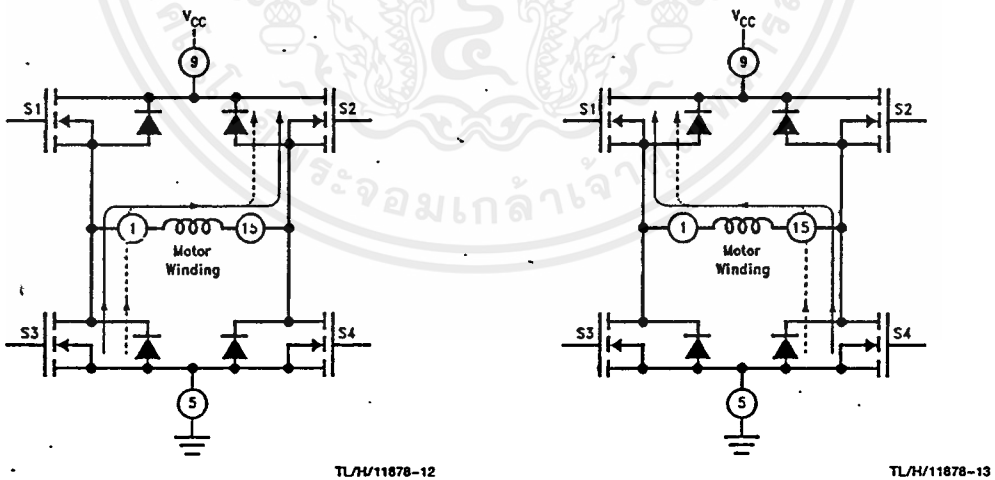


FIGURE 3. Decay Paths for Initial Winding Current During a Change in the Direction of the Winding Current

Applications Information

POWER SUPPLY BYPASSING

Step changes in current drawn from the power supply occur repeatedly during normal operation and may cause large voltage spikes across inductance in the power supply line. Care must be taken to limit voltage spikes at V_{CC} to less than the 60V Absolute Maximum Rating. At a change in the direction of the load current, the initial load current tends to raise the voltage at the power supply rail (Figure 3 again). Current transients caused by the reverse recovery of the clamp diodes tend to pull down the voltage at the power supply rail.

Bypassing the power supply line at V_{CC} is required to protect the device and minimize the adverse effects of normal operation on the power supply rail. Using both a 1 μF high frequency ceramic capacitor and a large-value aluminum electrolytic capacitor is highly recommended. A value of 100 μF per ampere of load current usually suffices for the aluminum electrolytic capacitor. Both capacitors should have short leads and be located within one half inch of V_{CC} .

OVERCURRENT PROTECTION

If the forward current in either source switch exceeds a 12A threshold, internal circuitry disables both source switches, forcing a rapid decay of the fault current (Figure 5). Approximately 3 μs after the fault current reaches zero, the device restarts. Automatic restart allows an immediate return to normal operation once the fault condition has been removed. If the fault persists, the device will begin cycling into and out of thermal shutdown. Switching large fault currents may cause potentially destructive voltage spikes across inductance in the power supply line; therefore, the power

supply line must be properly bypassed at V_{CC} for the motor driver to survive an extended overcurrent fault.

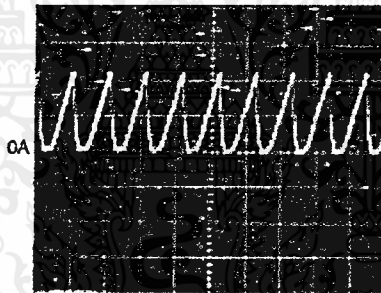
In the case of a locked rotor, the inductance of the winding tends to limit the rate of change of the fault current to a value easily handled by the protection circuitry. In the case of a low inductance short from either output to ground or between outputs, the fault current could surge past the 12A shutdown threshold, forcing the device to dissipate a substantial amount of power for the brief period required to disable the source switches. Because the fault power must be dissipated by only one source switch, a short from output to ground represents the worst case fault. Any overcurrent fault is potentially destructive, especially while operating with high supply voltages ($\geq 30\text{V}$), so precautions are in order. Sinking V_{CC} for heat with 1 square inch of 1 ounce copper on the printed circuit board is highly recommended. The sink switches are not internally protected against shorts to V_{CC} .

THERMAL SHUTDOWN

Internal circuitry senses the junction temperature near the power bridge and disables the bridge if the junction temperature exceeds about 155°C. When the junction temperature cools past the shutdown threshold (lowered by a slight hysteresis), the device automatically restarts.

UNDERVOLTAGE LOCKOUT

Internal circuitry disables the power bridge if the power supply voltage drops below a rough threshold between 8V and 5V. Should the power supply voltage then exceed the threshold, the device automatically restarts.



Trace: Fault Current at 5A/div
Horizontal: 20 $\mu\text{s}/\text{div}$

TL/H/11876-15

FIGURE 5. Fault Current with $V_{CC} = 30\text{V}$, OUT 1 Shorted to OUT 2, and CS OUT Grounded

The Typical Application

Figure 6 shows the typical application, the power stage of a chopper drive for bipolar stepper motors. The 20 k Ω resistor and 2.2 nF capacitor connected between RC and ground set the off-time at about 48 μ s, and the 20 k Ω resistor connected between CS OUT and ground sets the gain at about

200 mA per volt of the threshold for chopping. Digital signals control the thresholds for chopping, the directions of the winding currents, and, by extension, the drive type (full step, half step, etc.). A μ processor or μ controller usually provides the digital control signals.

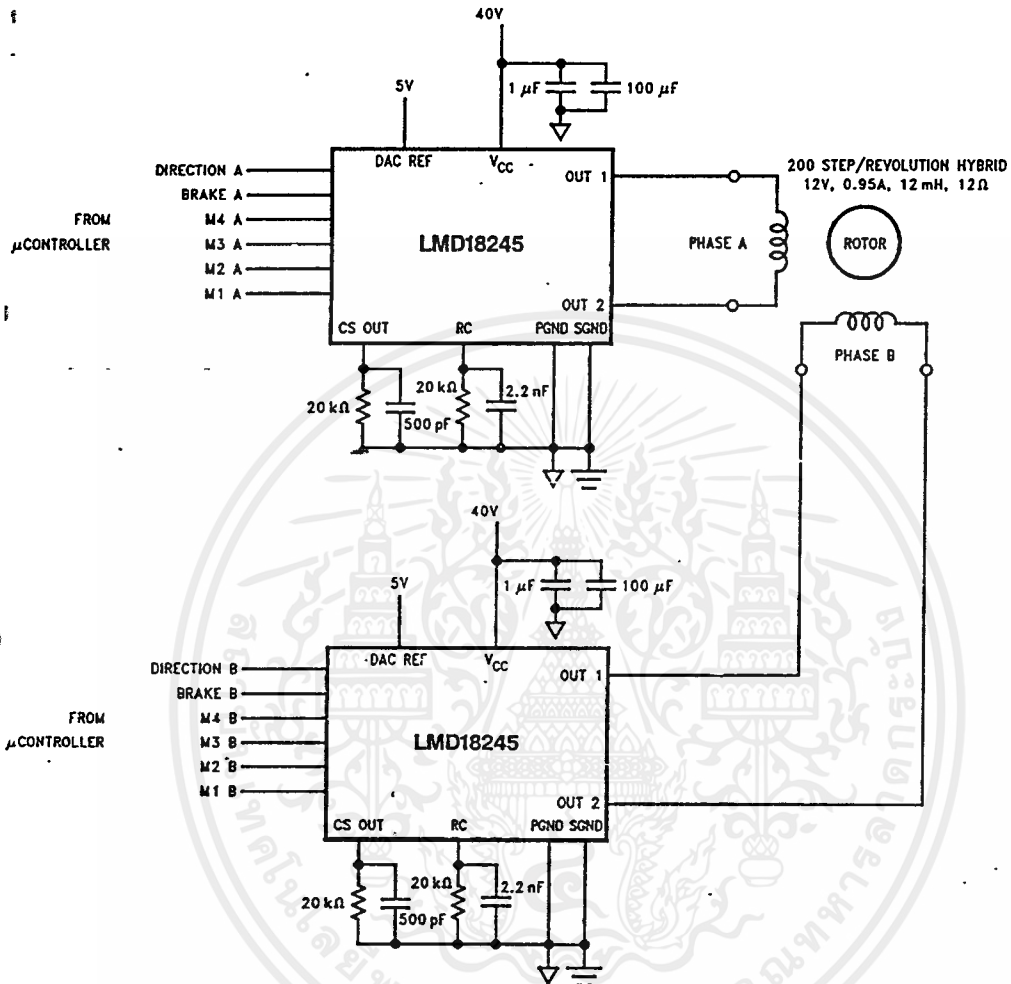


FIGURE 6. Typical Application Circuit for Driving Bipolar Stepper Motors

TL/H/11878-16

The Typical Application (Continued)

ONE-PHASE-ON FULL STEP DRIVE (WAVE DRIVE)

To make the motor take full steps, windings A and B can be energized in the sequence

$$A \rightarrow B \rightarrow A^* \rightarrow B^* \rightarrow A \rightarrow \dots$$

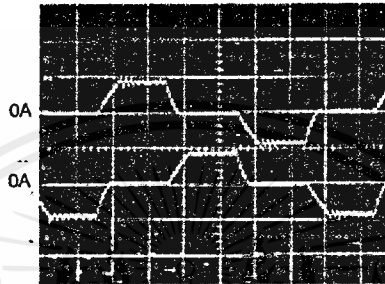
where A represents winding A energized with current in one direction and A* represents winding A energized with current in the opposite direction. The motor takes one full step each time one winding is de-energized and the other is energized. To make the motor step in the opposite direction, the order of the above sequence must be reversed. *Figure 7* shows the winding currents and digital control signals for a wave drive application of the typical application circuit.

TWO-PHASE-ON FULL STEP DRIVE

To make the motor take full steps, windings A and B can also be energized in the sequence

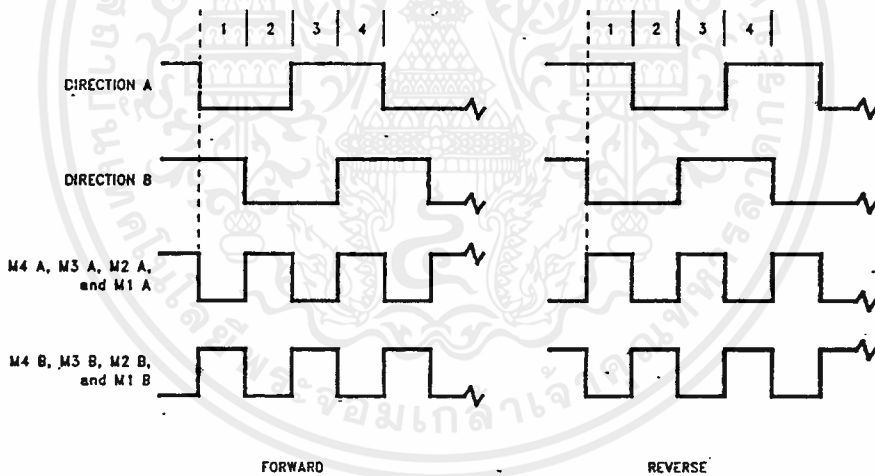
$$AB \rightarrow A^*B \rightarrow A^*B^* \rightarrow AB^* \rightarrow AB \rightarrow \dots$$

and because both windings are energized at all times, this sequence produces more torque than that produced with wave drive. The motor takes one full step at each change of direction of either winding current. *Figure 8* shows the winding currents and digital control signals for this application of the typical application circuit, and *Figure 9* shows, for a single phase, the winding current and voltage at the output of the associated current sense amplifier.



TU/H/11878-17

Top Trace: Phase A Winding Current at 1A/div
Bottom Trace: Phase B Winding Current at 1A/div
Horizontal: 1 ms/div
*500 steps/second



FORWARD

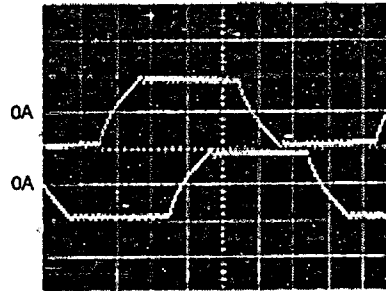
REVERSE

BRAKE A = BRAKE B = 0

TU/H/11878-18

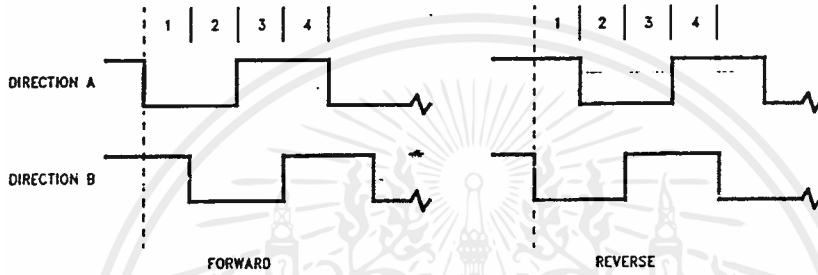
FIGURE 7. Winding Currents and Digital Control Signals for One-Phase-On Drive (Wave Drive)

The Typical Application (Continued)



TL/H/11878-19

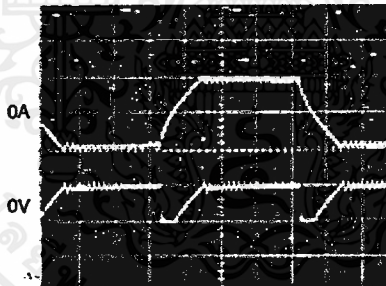
Top Trace: Phase A Winding Current at 1A/div
 Bottom Trace: Phase B Winding Current at 1A/div
 Horizontal: 1 ms/div
 *500 steps/second



TL/H/11878-20

M4 A through M1 A = M4 B through M1 B = 1
 BRAKE A = BRAKE B = 0

FIGURE 8. Winding Currents and Digital Control Signals for Two-Phase-On Drive



TL/H/11878-21

Top Trace: Phase A Winding Current at 1A/div
 Bottom Trace: Phase A Sense Voltage at 5V/div
 Horizontal: 1 ms/div
 *500 steps/second

FIGURE 9. Winding Current and Voltage at the Output of the Associated Current Sense Amplifier

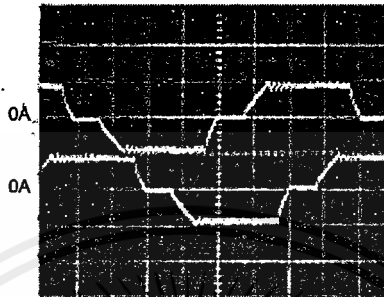
The Typical Application (Continued)

HALF STEP DRIVE WITHOUT TORQUE COMPENSATION

To make the motor take half steps, windings A and B can be energized in the sequence

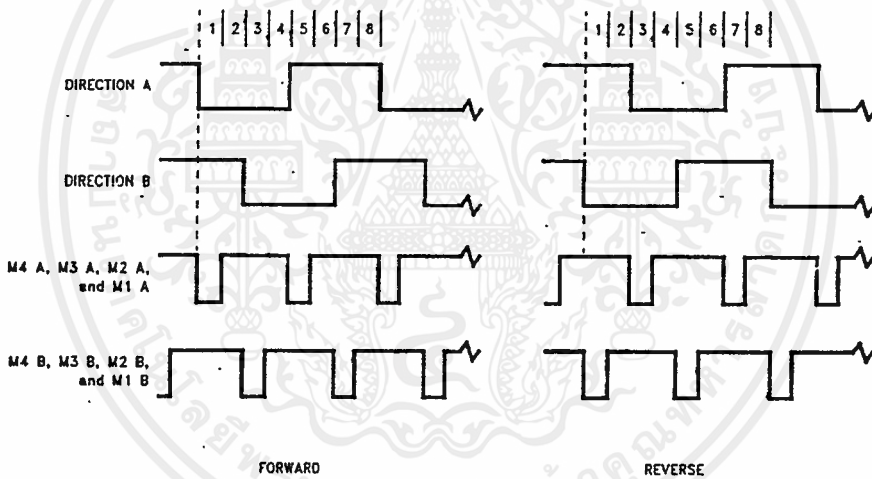
A → AB → B → A*B → A* →
A*B* → B* → AB* → A → ...

The motor takes one half step each time the number of energized windings changes. It is important to note that although half stepping doubles the step resolution, changing the number of energized windings from two to one decreases (one to two increases) torque by about 40%, resulting in significant torque ripple and possibly noisy operation. *Figure 10* shows the winding currents and digital control signals for this half step application of the typical application circuit.



TL/H/11878-22

Top Trace: Phase A Winding Current at 1A/div
Bottom Trace: Phase B Winding Current at 1A/div
Horizontal: 1 ms/div
*500 steps/second



TL/H/11878-23

BRAKE A = BRAKE B = 0

FIGURE 10. Winding Currents and Digital Control Signals for Half Step Drive without Torque Compensation

The Typical Application (Continued)

HALF STEP DRIVE WITH TORQUE COMPENSATION

To make the motor take half steps, the windings can also be energized with sinusoidal currents (Figure 11). Controlling the winding currents in the fashion shown doubles the step resolution without the significant torque ripple of the prior drive technique. The motor takes one half step each time the level of either winding current changes. Half step drive with torque compensation is microstepping drive. Along with the obvious advantage of increased step resolution, microstepping reduces both full step oscillations and resonances that occur as the motor and load combination is driven at its natural resonant frequency or subharmonics thereof. Both

of these advantages are obtained by replacing full steps with bursts of microsteps. When compared to full step drive, the motor runs smoother and quieter.

Figure 12 shows the lookup table for this application of the typical application circuit. Dividing 90° electrical per full step by two microsteps per full step yields 45° electrical per microstep. α , therefore, increases from 0 to 315° in increments of 45° . Each full 360° cycle comprises eight half steps. Rounding $|\cos \alpha|$ to four bits gives D A, the decimal equivalent of the binary number applied at M4 A through M1 A. DIRECTION A controls the polarity of the current in winding A. Figure 11 shows the sinusoidal winding currents.

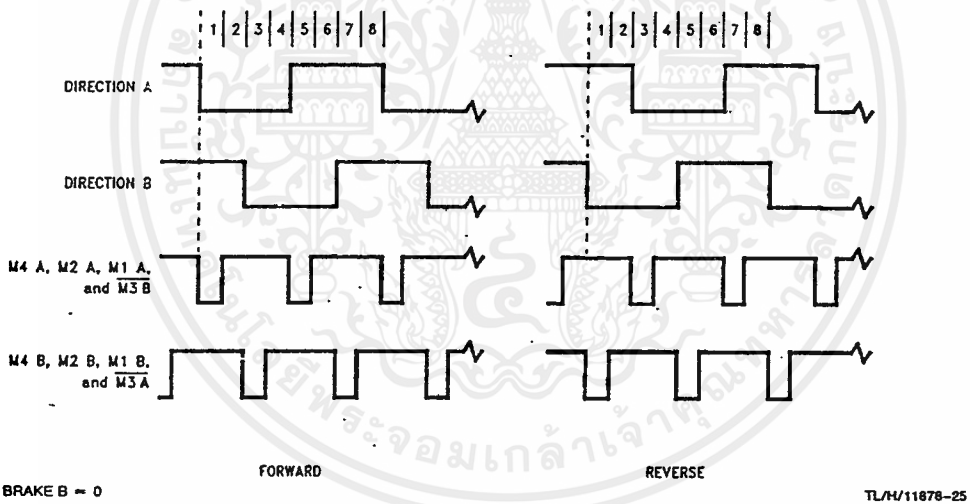
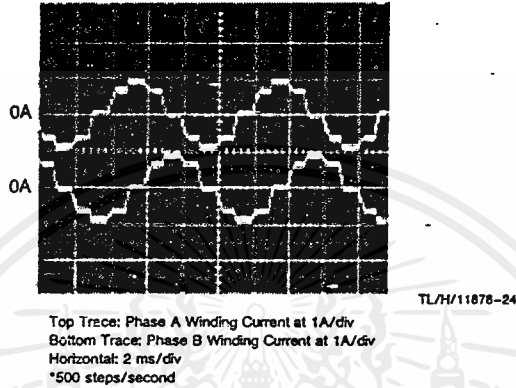


FIGURE 11. Winding Currents and Digital Control Signals for Half Step Drive with Torque Compensation

The Typical Application (Continued)

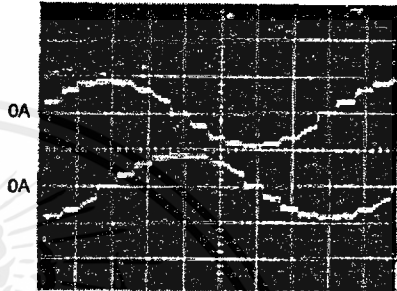
90° ELECTRICAL/FULL STEP + 2 MICROSTEPS/FULL STEP = 45° ELECTRICAL/MICROSTEP

	α	$ \cos(\alpha) $	D A	DIRECTION A	$ \sin(\alpha) $	D B	DIRECTION B
	0	1	15	1	0	0	1
FORWARD	45	0.707	11	1	0.707	11	1
↓	90	0	0	0	1	15	1
	135	0.707	11	0	0.707	11	1
↑	180	1	15	0	0	0	0
REVERSE	225	0.707	11	0	0.707	11	0
	270	0	0	1	1	15	0
	315	0.707	11	1	0.707	11	0
	REPEAT						

FIGURE 12. Lookup Table for Half Step Drive with Torque Compensation

QUARTER STEP DRIVE WITH TORQUE COMPENSATION

Figure 13 shows the winding currents and lookup table for a quarter step drive (four microsteps per full step) with torque compensation.



TL/H/11878-26

Top Trace: Phase A Winding Current at 1A/div
Bottom Trace: Phase B Winding Current at 1A/div
Horizontal: 2ms/div
*250 steps/second

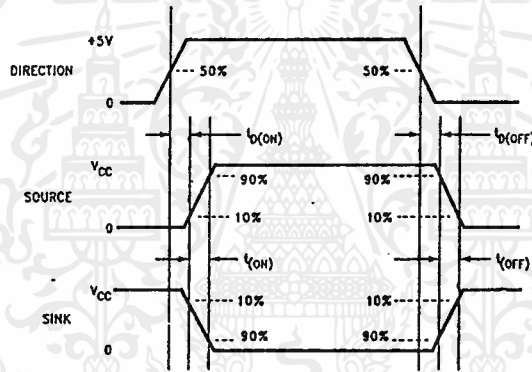
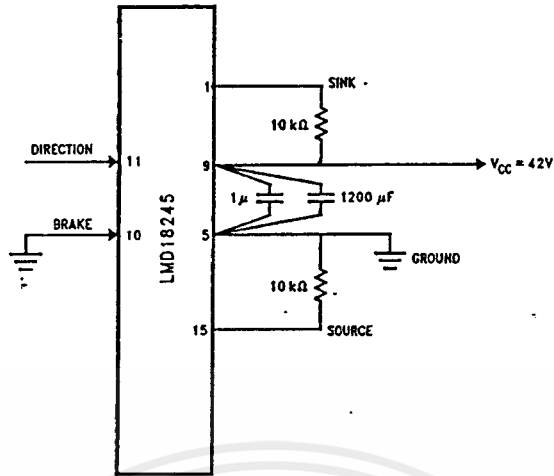
90° ELECTRICAL/FULL STEP + 4 MICROSTEPS/FULL STEP = 22.5° ELECTRICAL/MICROSTEP

	α	$ \cos(\alpha) $	D A	DIRECTION A	$ \sin(\alpha) $	D B	DIRECTION B
	0	1	15	1	0	0	1
	22.5	0.924	14	1	0.383	6	1
FORWARD	45	0.707	11	1	0.707	11	1
	67.5	0.383	6	1	0.924	14	1
↓	90	0	0	0	1	15	1
	112.5	0.383	6	0	0.924	14	1
	135	0.707	11	0	0.707	11	1
REVERSE	157.5	0.924	14	0	0.383	6	1
	180	1	15	0	0	0	0
	202.5	0.924	14	0	0.383	6	0
	225	0.707	11	0	0.707	11	0
	247.5	0.383	6	0	0.924	14	0
	270	0	0	1	1	15	0
	292.5	0.383	6	1	0.924	14	0
	315	0.707	11	1	0.707	11	0
	337.5	0.924	14	1	0.383	6	0
	REPEAT						

BRAKE A = BRAKE B = 0

FIGURE 13. Winding Currents and Lookup Table for Quarter Step Drive with Torque Compensation

Test Circuit and Switching Time Definitions



TL/H/11878-28

Absolute Maximum Ratings (Note 1)

If Military/Aerospace specified devices are required, please contact the National Semiconductor Sales Office/Distributors for availability and specifications.

Total Supply Voltage (V_S , Pin 6)	60V
Voltage at Pins 3, 4, 5, 8 and 9	12V
Voltage at Bootstrap Pins (Pins 1 and 11)	$V_{OUT} + 16V$
Peak Output Current (200 ms)	6A
Continuous Output Current (Note 2)	3A
Power Dissipation (Note 3)	25W

Power Dissipation ($T_A = 25^\circ\text{C}$, Free Air)	3W
Junction Temperature, $T_{J(\text{max})}$	150°C
ESD Susceptibility (Note 4)	1500V
Storage Temperature, T_{STG}	-40°C to +150°C
Lead Temperature (Soldering, 10 sec.)	300°C

Operating Ratings (Note 1)

Junction Temperature, T_J	-40°C to +125°C
V_S Supply Voltage	+12V to +55V

Electrical Characteristics

The following specifications apply for $V_S = 42V$, unless otherwise specified. Boldface limits apply over the entire operating temperature range, $-40^\circ\text{C} \leq T_J \leq +125^\circ\text{C}$, all other limits are for $T_A = T_J = 25^\circ\text{C}$. (Note 5)

Symbol	Parameter	Conditions	Typ	Limit	Units
$R_{DS(ON)}$	Switch ON Resistance	Output Current = 3A (Note 6)	0.33	0.4/0.6	Ω (max)
$R_{DS(ON)}$	Switch ON Resistance	Output Current = 6A (Note 6)	0.33	0.4/0.6	Ω (max)
V_{CLAMP}	Clamp Diode Forward Drop	Clamp Current = 3A (Note 6)	1.2	1.5	V (max)
V_{IL}	Logic Low Input Voltage	Pins 3, 4, 5		-0.1 0.8	V (min) V (max)
I_{IL}	Logic Low Input Current	$V_{IN} = -0.1V$, Pins = 3, 4, 5		-10	μA (max)
V_{IH}	Logic High Input Voltage	Pins 3, 4, 5		2 12	V (min) V (max)
I_{IH}	Logic High Input Current	$V_{IN} = 12V$, Pins = 3, 4, 5		10	μA (max)
	Current Sense Output	$I_{OUT} = 1A$ (Note 8)	377	325/300 425/450	μA (min) μA (max)
	Current Sense Linearity	$1A \leq I_{OUT} \leq 3A$ (Note 7)	± 6	± 9	%
	Undervoltage Lockout	Outputs turn OFF		9 11	V (min) V (max)
T_{JW}	Warning Flag Temperature	Pin 9 $\leq 0.8V$, $I_L = 2\text{mA}$	145		$^\circ\text{C}$
$V_F(ON)$	Flag Output Saturation Voltage	$T_J = T_{JW}$, $I_L = 2\text{mA}$	0.15		V
$I_F(OFF)$	Flag Output Leakage	$V_F = 12V$	0.2	10	μA (max)
T_{JSD}	Shutdown Temperature	Outputs Turn OFF	170		$^\circ\text{C}$
I_S	Quiescent Supply Current	All Logic Inputs Low	13	25	mA (max)
t_{Don}	Output Turn-On Delay Time	Sourcing Outputs, $I_{OUT} = 3A$ Sinking Outputs, $I_{OUT} = 3A$	300 300		ns ns
t_{on}	Output Turn-On Switching Time	Bootstrap Capacitor = 10 nF Sourcing Outputs, $I_{OUT} = 3A$ Sinking Outputs, $I_{OUT} = 3A$	100 80		ns ns
t_{Doff}	Output Turn-Off Delay Times	Sourcing Outputs, $I_{OUT} = 3A$ Sinking Outputs, $I_{OUT} = 3A$	200 200		ns ns
t_{off}	Output Turn-Off Switching Times	Bootstrap Capacitor = 10 nF Sourcing Outputs, $I_{OUT} = 3A$ Sinking Outputs, $I_{OUT} = 3A$	75 70		ns ns
t_{pw}	Minimum Input Pulse Width	Pins 3, 4 and 5	1		μs
t_{cpr}	Charge Pump Rise Time	No Bootstrap Capacitor	20		μs

Electrical Characteristics Notes

Note 1: Absolute Maximum Ratings indicate limits beyond which damage to the device may occur. DC and AC electrical specifications do not apply when operating the device beyond its rated operating conditions.

Note 2: See Application Information for details regarding current limiting.

Note 3: The maximum power dissipation must be derated at elevated temperatures and is a function of $T_{J(max)}$, θ_{JA} , and T_A . The maximum allowable power dissipation at any temperature is $P_{D(max)} = (T_{J(max)} - T_A)/\theta_{JA}$, or the number given in the Absolute Ratings, whichever is lower. The typical thermal resistance from junction to case (θ_{JC}) is 1.0°C/W and from junction to ambient (θ_{JA}) is 30°C/W. For guaranteed operation $T_{J(max)} = 125^\circ\text{C}$.

Note 4: Human-body model, 100 pF discharged through a 1.5 kΩ resistor. Except Bootstrap pins (pins 1 and 11) which are protected to 1000V of ESD.

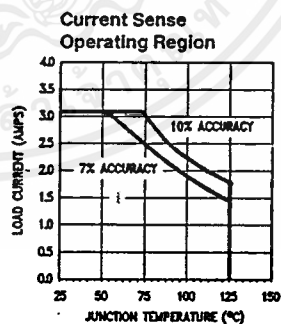
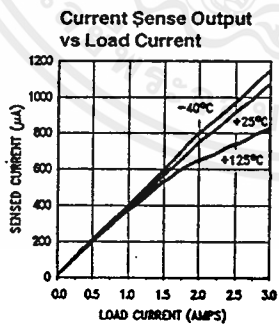
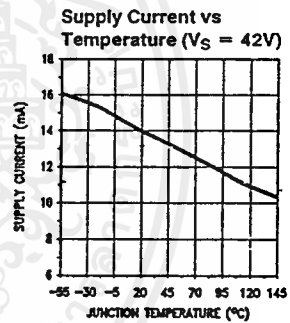
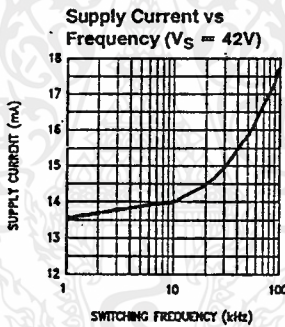
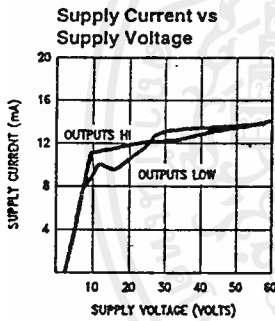
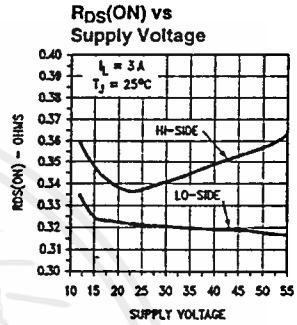
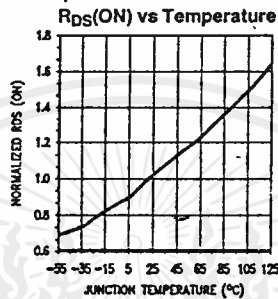
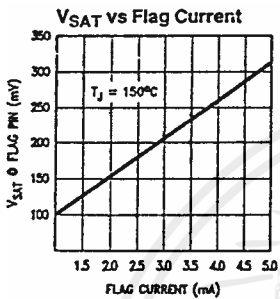
Note 5: All limits are 100% production tested at 25°C. Temperature extreme limits are guaranteed via correlation using accepted SQC (Statistical Quality Control) methods. All limits are used to calculate AOQL, (Average Outgoing Quality Level).

Note 6: Output currents are pulsed ($t_W < 2$ ms, Duty Cycle $< 5\%$).

Note 7: Regulation is calculated relative to the current sense output value with a 1A load.

Note 8: Selections for tighter tolerance are available. Contact factory.

Typical Performance Characteristics



TLH/10568-3

Pinout Description (See Connection Diagram)

Pin 1, BOOTSTRAP 1 Input: Bootstrap capacitor pin for half H-bridge number 1. The recommended capacitor (10 nF) is connected between pins 1 and 2.

Pin 2, OUTPUT 1: Half H-bridge number 1 output.

Pin 3, DIRECTION Input: See Table I. This input controls the direction of current flow between OUTPUT 1 and OUTPUT 2 (pins 2 and 10) and, therefore, the direction of rotation of a motor load.

Pin 4, BRAKE Input: See Table I. This input is used to brake a motor by effectively shorting its terminals. When braking is desired, this input is taken to a logic high level and it is also necessary to apply logic high to PWM input, pin 5. The drivers that short the motor are determined by the logic level at the DIRECTION input (Pin 3): with Pin 3 logic high, both current sourcing output transistors are ON; with Pin 3 logic low, both current sinking output transistors are ON. All output transistors can be turned OFF by applying a logic high to Pin 4 and a logic low to PWM input Pin 5; in this case only a small bias current (approximately -1.5 mA) exists at each output pin.

Pin 5, PWM Input: See Table I. How this input (and DIRECTION input, Pin 3) is used is determined by the format of the PWM signal.

Pin 6, V_S Power Supply

Pin 7, GROUND Connection: This pin is the ground return, and is internally connected to the mounting tab.

Pin 8, CURRENT SENSE Output: This pin provides the sourcing current sensing output signal, which is typically $377 \mu\text{A/A}$.

Pin 9, THERMAL FLAG Output: This pin provides the thermal warning flag output signal. Pin 9 becomes active-low at 145°C (junction temperature). However the chip will not shut itself down until 170°C is reached at the junction.

Pin 10, OUTPUT 2: Half H-bridge number 2 output.

Pin 11, BOOTSTRAP 2 Input: Bootstrap capacitor pin for Half H-bridge number 2. The recommended capacitor (10 nF) is connected between pins 10 and 11.

TABLE I. Logic Truth Table

PWM	Dir	Brake	Active Output Drivers
H	H	L	Source 1, Sink 2
H	L	L	Sink 1, Source 2
L	X	L	Source 1, Source 2
H	H	H	Source 1, Source 2
H	L	H	Sink 1, Sink 2
L	X	H	NONE

Application Information

TYPES OF PWM SIGNALS

The LMD18200 readily interfaces with different forms of PWM signals. Use of the part with two of the more popular forms of PWM is described in the following paragraphs.

Simple, locked anti-phase PWM consists of a single, variable duty-cycle signal in which is encoded both direction and amplitude information. A 50% duty-cycle PWM signal represents zero drive, since the net value of voltage (integrated over one period) delivered to the load is zero. For the LMD18200, the PWM signal drives the direction input (pin 3) and the PWM input (pin 5) is tied to logic high.

Sign/magnitude PWM consists of separate direction (sign) and amplitude (magnitude) signals. The (absolute) magnitude signal is duty-cycle modulated, and the absence of a pulse signal (a continuous logic low level) represents zero drive. Current delivered to the load is proportional to pulse width. For the LMD18200, the DIRECTION input (pin 3) is driven by the sign signal and the PWM input (pin 5) is driven by the magnitude signal.

USING THE CURRENT SENSE OUTPUT

The CURRENT SENSE output (pin 8) has a sensitivity of $377 \mu\text{A}$ per ampere of output current. For optimal accuracy and linearity of this signal, the value of voltage generating resistor between pin 8 and ground should be chosen to limit the maximum voltage developed at pin 8 to 5V, or less. The maximum voltage compliance is 12V.

It should be noted that the recirculating currents (free wheeling currents) are ignored by the current sense circuitry. Therefore, only the currents in the upper sourcing outputs are sensed.

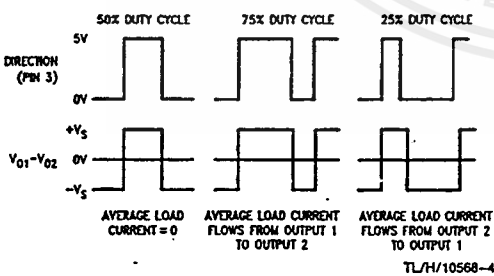
USING THE THERMAL WARNING FLAG

The THERMAL FLAG output (pin 9) is an open collector transistor. This permits a wired OR connection of thermal warning flag outputs from multiple LMD18200's, and allows the user to set the logic high level of the output signal swing to match system requirements. This output typically drives the interrupt input of a system controller. The interrupt service routine would then be designed to take appropriate steps, such as reducing load currents or initiating an orderly system shutdown. The maximum voltage compliance on the flag pin is 12V.

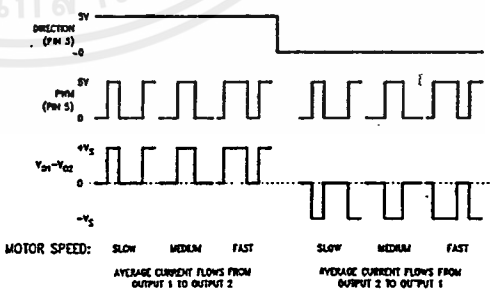
SUPPLY BYPASSING

During switching transitions the levels of fast current changes experienced may cause troublesome voltage transients across system stray inductance.

Locked Anti-Phase PWM Control



Sign/Magnitude PWM Control



Application Information (Continued)

It is normally necessary to bypass the supply rail with a high quality capacitor(s) connected as close as possible to the V_S Power Supply (Pin 6) and GROUND (Pin 7). A 1 μF high-frequency ceramic capacitor is recommended. Care should be taken to limit the transients on the supply pin below the Absolute Maximum Rating of the device. When operating the chip at supply voltages above 40V a voltage suppressor (transorb) such as P6KE62A is recommended from supply to ground. Typically the ceramic capacitor can be eliminated in the presence of the voltage suppressor. Note that when driving high load currents a greater amount of supply bypass capacitance (in general at least 100 μF per Amp of load current) is required to absorb the recirculating currents of the inductive loads.

CURRENT LIMITING

Current limiting protection circuitry has been incorporated into the design of the LMD18200. With any power device it is important to consider the effects of the substantial surge currents through the device that may occur as a result of shorted loads. The protection circuitry monitors this increase in current (the threshold is set to approximately 10 Amps) and shuts off the power device as quickly as possible in the event of an overload condition. In a typical motor driving application the most common overloads are caused by shorted motor windings and locked rotors. Under these conditions the inductance of the motor (as well as any series inductance in the V_{CC} supply line) serves to reduce the magnitude of a current surge to a safe level for the LMD18200. Once the device is shut down, the control circuitry will periodically try to turn the power device back on. This feature allows the immediate return to normal operation in the event that the fault condition has been removed. While the fault remains however, the device will cycle in and out of thermal shutdown. This can create voltage transients on the V_{CC} supply line and therefore proper supply bypassing techniques are required.

The most severe condition for any power device is a direct, hard-wired ("screwdriver") long term short from an output to ground. This condition can generate a surge of current through the power device on the order of 15 Amps and require the die and package to dissipate up to 500 Watts of power for the short time required for the protection circuitry to shut off the power device. This energy can be destructive, particularly at higher operating voltages (>30V) so

some precautions are in order. Proper heat sink design is essential and it is normally necessary to heat sink the V_{CC} supply pin (pin 6) with 1 square inch of copper on the PCB.

INTERNAL CHARGE PUMP AND USE OF BOOTSTRAP CAPACITORS

To turn on the high-side (sourcing) DMOS power devices, the gate of each device must be driven approximately 8V more positive than the supply voltage. To achieve this an internal charge pump is used to provide the gate drive voltage. As shown in *Figure 1*, an internal capacitor is alternately switched to ground and charged to about 14V, then switched to V supply thereby providing a gate drive voltage greater than V supply. This switching action is controlled by a continuously running internal 300 kHz oscillator. The rise time of this drive voltage is typically 20 μs which is suitable for operating frequencies up to 1 kHz.

For higher switching frequencies, the LMD18200 provides for the use of external bootstrap capacitors. The bootstrap principle is in essence a second charge pump whereby a large value capacitor is used which has enough energy to quickly charge the parasitic gate input capacitance of the power device resulting in much faster rise times. The switching action is accomplished by the power switches themselves (*Figure 2*). External 10 nF capacitors, connected from the outputs to the bootstrap pins of each high-side switch provide typically less than 100 ns rise times allowing switching frequencies up to 500 kHz.

INTERNAL PROTECTION DIODES

A major consideration when switching current through inductive loads is protection of the switching power devices from the large voltage transients that occur. Each of the four switches in the LMD18200 have a built-in protection diode to clamp transient voltages exceeding the positive supply or ground to a safe diode voltage drop across the switch.

The reverse recovery characteristics of these diodes, once the transient has subsided, is important. These diodes must come out of conduction quickly and the power switches must be able to conduct the additional reverse recovery current of the diodes. The reverse recovery time of the diodes protecting the sourcing power devices is typically only 70 ns with a reverse recovery current of 1A when tested with a full 6A of forward current through the diode. For the sinking devices the recovery time is typically 100 ns with 4A of reverse current under the same conditions.

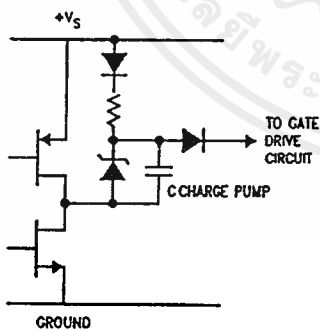


FIGURE 1. Internal Charge Pump Circuitry

TL/H/10568-6

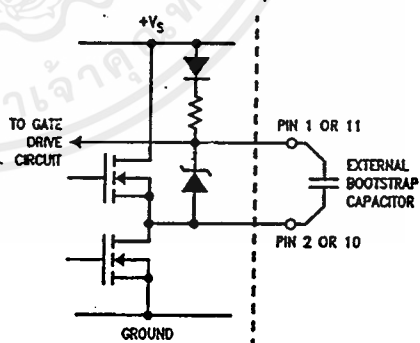
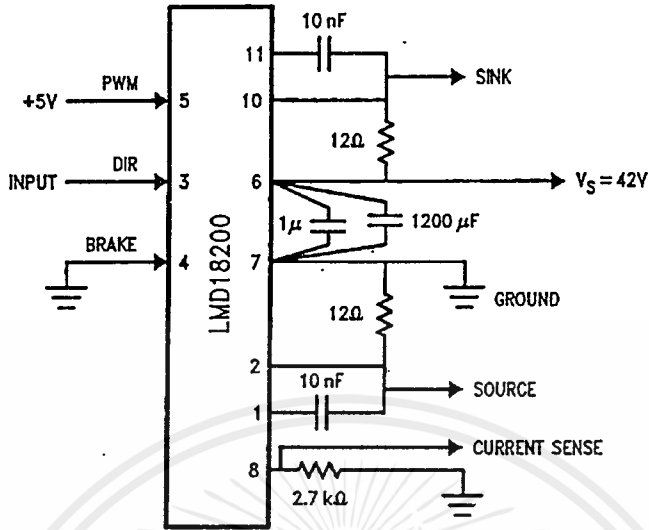


FIGURE 2. Bootstrap Circuitry

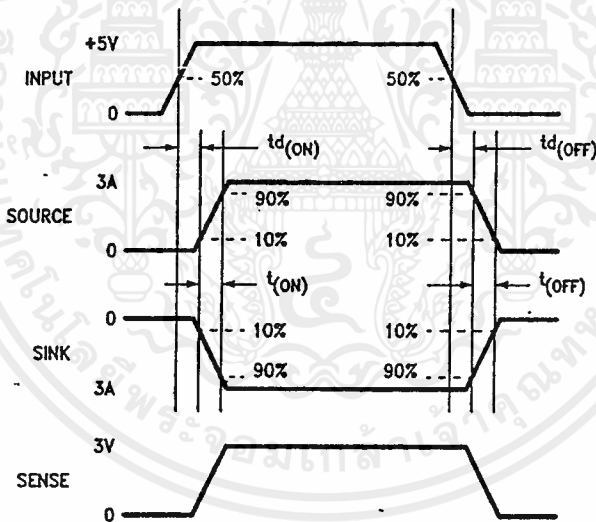
TL/H/10568-7

Test Circuit



TL/H/10568-8

Switching Time Definitions

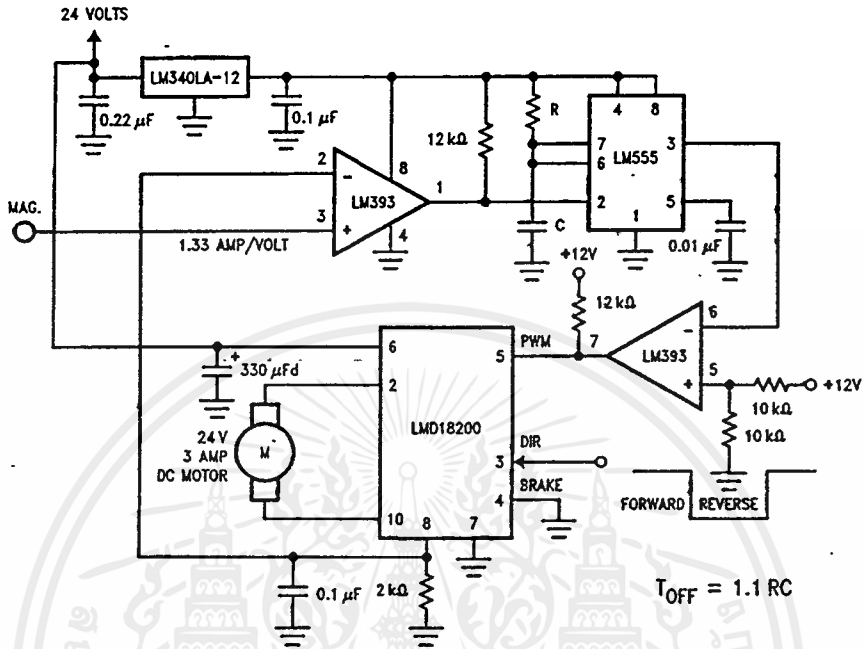


TL/H/10568-9

Typical Applications

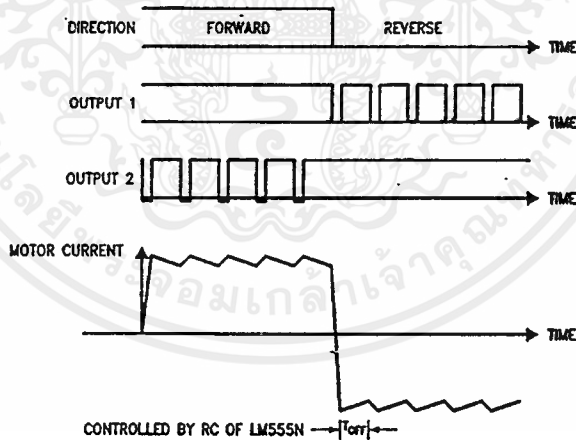
Fixed Off-Time Control: This circuit controls the current through the motor by applying an average voltage equal to zero to the motor terminals for a fixed period of time, whenever the current through the motor exceeds the commanded current. This action causes the motor current to vary

slightly about an externally controlled average level. The duration of the Off-period is adjusted by the resistor and capacitor combination of the LM555. In this circuit the Sign/Magnitude mode of operation is implemented (see Types of PWM Signals).



TL/H/10568-10

Switching Waveforms

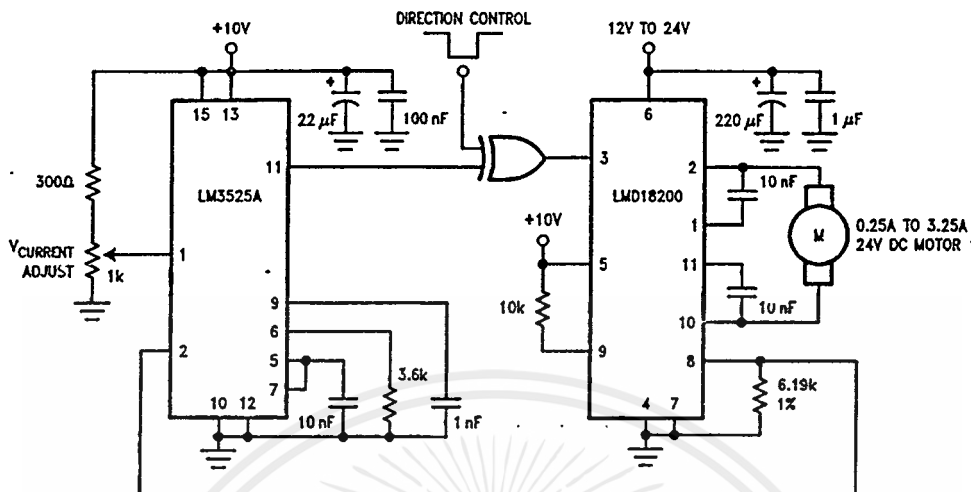


TL/H/10568-11

Typical Applications (Continued)

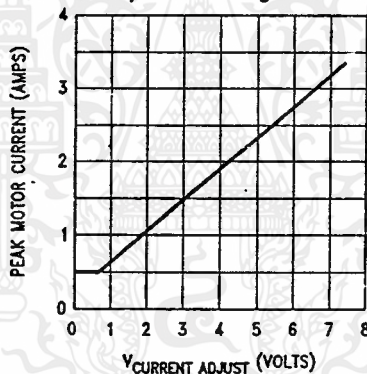
TORQUE REGULATION

Locked Anti-Phase Control of a brushed DC motor. Current sense output of the LMD18200 provides load sensing. The LM3525A is a general purpose PWM controller.



TL/H/10568-12

Peak Motor Current vs Adjustment Voltage

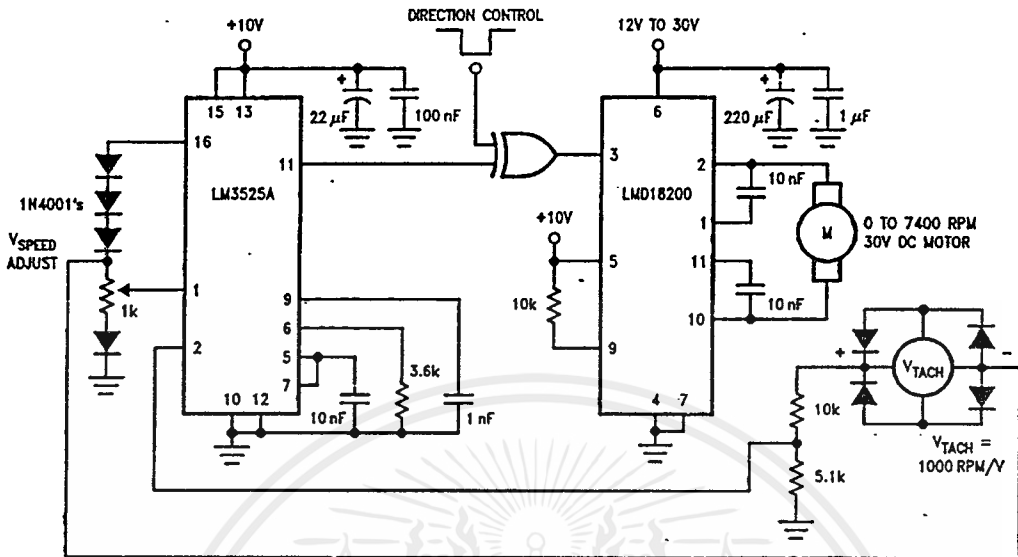


TL/H/10568-13

Typical Applications (Continued)

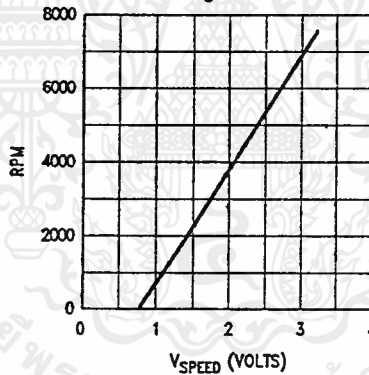
VELOCITY REGULATION

Utilizes tachometer output from the motor to sense motor speed for a locked anti-phase control loop.



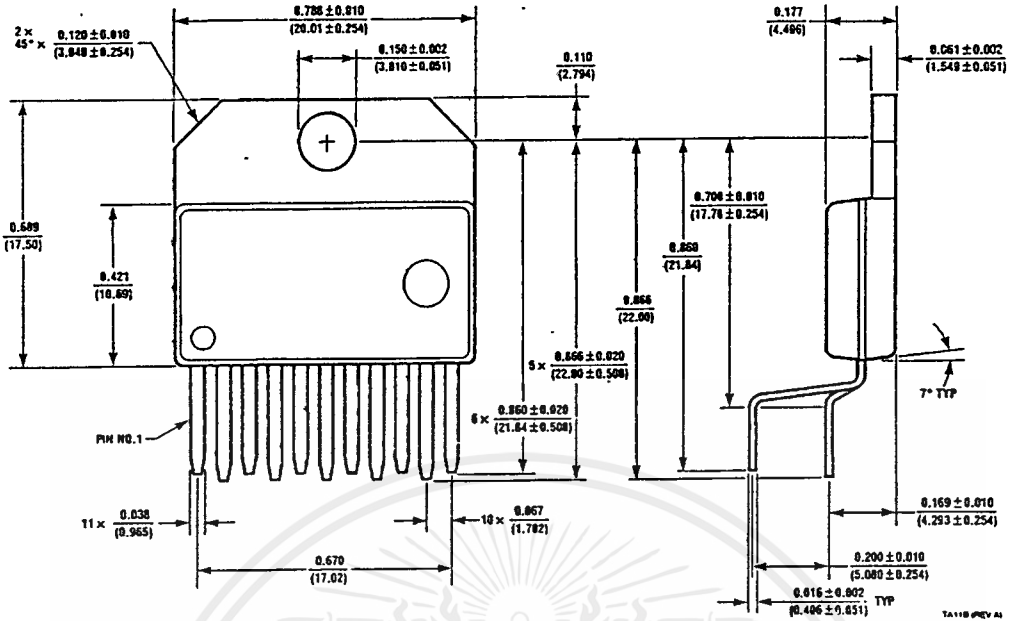
TL/H/10568-14

Motor Speed vs
Control Voltage



TL/H/10568-15

Physical Dimensions Inches (millimeters) unless otherwise noted



11-Lead TO-220 Power Package (T)
Order Number LMD18200T
NS Package Number TA11B

LIFE SUPPORT POLICY

NATIONAL'S PRODUCTS ARE NOT AUTHORIZED FOR USE AS CRITICAL COMPONENTS IN LIFE SUPPORT DEVICES OR SYSTEMS WITHOUT THE EXPRESS WRITTEN APPROVAL OF THE PRESIDENT OF NATIONAL SEMICONDUCTOR CORPORATION. As used herein:

1. Life support devices or systems are devices or systems which, (a) are intended for surgical implant into the body, or (b) support or sustain life, and whose failure to perform, when properly used in accordance with instructions for use provided in the labeling, can be reasonably expected to result in a significant injury to the user.
2. A critical component is any component of a life support device or system whose failure to perform can be reasonably expected to cause the failure of the life support device or system, or to affect its safety or effectiveness.



National Semiconductor Corporation
1111 West Bardin Road
Arlington, TX 76017
Tel: 1(800) 272-9959
Fax: 1(800) 737-7018

<http://www.national.com>

National Semiconductor Europe
Fax: +49 (0) 180-530 85 86
Email: europe.support@nsc.com
Deutsch Tel: +49 (0) 180-530 85 85
English Tel: +49 (0) 180-532 78 32
Français Tel: +49 (0) 180-532 83 58
Italiano Tel: +49 (0) 180-534 18 80

National Semiconductor Hong Kong Ltd.
13th Floor, Straight Block,
Ocean Centre, 5 Canton Rd.
Tsimshatsui, Kowloon
Hong Kong
Tel: (852) 2737-1800
Fax: (852) 2736-9860

National Semiconductor Japan Ltd.
Tel: 81-043-299-2308
Fax: 81-043-299-2408

National does not assume any responsibility for use of any circuitry described, no circuit patent licenses are implied and National reserves the right at any time without notice to change said circuitry and specifications.



1 รายงานการประยุกต์วงจรถืออิเล็กทรอนิกส์ เรื่องการวัดแรงดันข้อมูลแบบ RS-232

2.K CARR-BRION,Moisure Sensors in Process Control,ELSEVIER SCIENCE Publisher

3. National Power IC's Databook



เอกสารนี้เป็นเอกสารที่สงวนไว้สำหรับการใช้งานเพื่อการศึกษาเท่านั้น ไม่อนุญาตให้นำไปใช้ประโยชน์ด้านการค้า
ไม่ว่ากรณีใดๆ ทั้งสิ้น อีกทั้งห้ามมิให้ตัดแปลงเนื้อหาและต้องอ้างอิงถึงเจ้าของเอกสารทุกครั้งที่มีการนำไปใช้